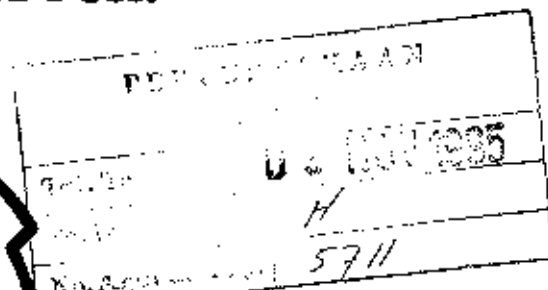
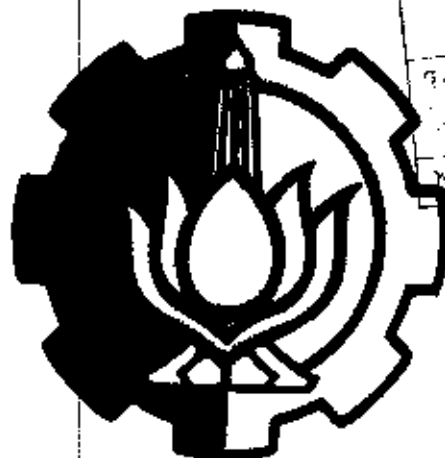


3100096007699

# TUGAS AKHIR

## PENURUNAN KANDUNGAN NITROGEN AMMONIA DALAM LIMBAH BUATAN DENGAN SISTEM BIOFILM AEROBIK PADA MEDIA BERBUTIR

RSS  
628.168  
Aist  
P-1  
1994



Oleh:

INDRIATI DWI ASTUTI

NRP. 389 330 0182

PROGRAM STUDI TEKNIK LINGKUNGAN  
FAKULTAS TEKNIK SIPIL DAN PERENCANAAN  
INSTITUT TEKNOLOGI SEPULUH NOPEMBER  
SURABAYA

1994

**PENURUNAN KANDUNGAN NITROGEN AMMONIA  
DALAM LIMBAH BUATAN  
DENGAN SISTEM BIOFILM AEROBIK  
PADA MEDIA BERBUTIR**

**TUGAS AKHIR**

Diajukan Guna Memenuhi Sebagian Persyaratan  
Untuk Memperoleh Gelar  
Sarjana Teknik Lingkungan  
Pada  
Program Studi Teknik Lingkungan  
Fakultas Teknik Sipil dan Perencanaan  
Institut Teknologi Sepuluh Nopember  
Surabaya

**Mengetahui / Menyetujui**

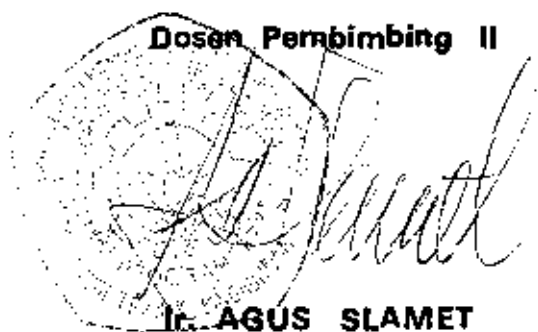
**Dosen Pembimbing I**

  
\_\_\_\_\_  
\_\_\_\_\_  
*Hartati*

Ir. ATI HARTATI, M.Sc.

NIP. 131 407 590

**Dosen Pembimbing II**

  
\_\_\_\_\_  
*Slamet*

Ir. AGUS SLAMET

NIP. 131 851 692

**S U R A B A Y A  
O K T O B E R , 1 9 9 4**

## ABSTRAK

Kehadiran senyawa nitrogen yang berlebih di dalam badan air penerima dapat menimbulkan dampak negatif pada lingkungan perairan tersebut. Dampak negatif senyawa nitrogen antara lain yaitu penurunan kandungan oksigen terlarut dan bersifat toksik. Banyak teknik pengolahan air limbah yang dapat mengurangi kandungan nitrogen dalam bentuk ammonia, salah satu di antaranya adalah dengan menggunakan sistem attached growth (biofilm).

Penelitian ini dilaksanakan dengan tujuan untuk mengetahui penurunan kandungan nitrogen ammonia dalam limbah buatan menggunakan sistem biofilm pada media berbutir dengan penambahan udara. Guna untuk mengetahui penurunan nitrogen ammonia dalam model reaktor biofilm ini maka dilakukan penelitian dengan variasi BOD/N antara 2 sampai 20, konsentrasi BOD antara 200 sampai 500 mg/l dan hidrolik loading 5 sampai 10  $\text{m}^3/(\text{m}^2 \cdot \text{hari})$ .

Reaktor pada penelitian ini menggunakan sistem aliran upflow continuous dengan reaktor berbentuk tabung berdiameter 20 cm dan media yang digunakan adalah kerikil berdiameter 1 cm setinggi 180 cm. Serta debit udara yang dialirkan sebesar 2,2 l/menit.

Dari hasil penelitian, efisiensi terbesar yaitu 96,4% dicapai pada hidrolik loading 5  $\text{m}^3/(\text{m}^2 \cdot \text{hari})$  dan perbandingan BOD/N sama dengan 5, dengan konsentrasi BOD dan konsentrasi N-NH<sub>4</sub><sup>+</sup> masing-masing sebesar 225,89 mg/l dan 43,35 mg/l.

## KATA PENGANTAR

Pertama-tama saya mengucapkan puji syukur atas karunia Allah SWT sehingga dapat menyelesaikan Tugas Akhir (LI 1703). Tugas Akhir ini merupakan syarat untuk memperoleh gelar kesarjanaan di Jurusan Teknik Lingkungan, Institut Teknologi Sepuluh Nopember Surabaya.

Tugas Akhir dengan judul "Penurunan Kandungan Nitrogen Ammonia Dalam Limbah Buatan Dengan Sistem Biofilm Aerobik Pada Media Berbutir" merupakan hasil penelitian yang dilaksanakan di Laboratorium Teknik Lingkungan ITS.

Pada kesempatan ini saya menyampaikan rasa terima kasih yang tulus kepada:

1. Bapak dan Ibu yang senantiasa memberikan doa restu,
2. Ibu Ir. Ati Hartati, MSc. sebagai dosen Pembimbing,
3. Bapak Ir. Agus Slamet sebagai co pembimbing,
4. Bapak Ir. Gogh MSc. serta Bapak Ir Eddy Soedjono MSc. yang telah memberikan pengetahuan dan saran pada penelitian ini.
5. Bapak Dr. Ir. Wahyono Hadi, MSc. sebagai Ketua Program Studidan Ibu Ir. Nieke K. selaku Sekretaris Jurusan, juga kepada seluruh bapak ibu dosen yang telah

memberikan ilmu pengetahuan selama kuliah.

6. Karyawan laboratorium Teknik Lingkungan ITS yang telah banyak membantu kelancaran penelitian.
7. Kepada rekanku Evy terima kasih atas kerjasamanya dan bantuannya dalam mengerjakan Tugas Akhir ini. Dan buat rekan Winda, Frida, Dewi, Fithri, Susi, serta rekannya TL lainnya (khususnya 89) atas kebersamaannya selama ini.

Akhirnya, semoga buku ini bermanfaat, khususnya yang mempunyai minat pada masalah ini. Segala kritik dan saran pada Tugas Akhir ini sangat berguna untuk memperbaikinya.

Surabaya, September 1994

Penulis

## DAFTAR SIMBOL

$\mu$	kecepatan pertumbuhan spesifik mikroorganisma
$\hat{\mu}$	kecepatan pertumbuhan spesifik maksimum mikroorganisma
K*	konsentrasi substrat pada saat kecepatan pertumbuhan setengah dari maksimum
S	konsentrasi substrat
$q_N$	kecepatan oksidasi ammonia
$\hat{q}_N$	kecepatan maksimum oksidasi ammonia
$Y_N$	koefisien yield mikroorganisma
$\mu_N$	kecepatan pertumbuhan spesifik <i>Nitrosomonas</i>
$\hat{\mu}_N$	kecepatan pertumbuhan spesifik maksimum <i>Nitrosomonas</i>
DO	oksigen terlarut
KO <sub>2</sub>	konsentrasi oksigen pada saat kecepatan pertumbuhan setengah dari maksimum
P	tekanan parsial
K <sub>la</sub>	koefisien overall gas transfer
C*	konsentrasi kejemuhan oksigen
C	konsentrasi oksigen aktual
t	waktu

## DAFTAR ISI

	halaman
KATA PENGANTAR .....	i
ABSTRAK .....	iii
DAFTAR ISI .....	iv
DAFTAR TABEL .....	vii
DAFTAR GAMBAR .....	viii
DAFTAR SIMBOL .....	x
DAFTAR LAMPIRAN .....	xi
BAB I PENDAHULUAN	
1.1 LATAR BELAKANG .....	1
1.2 IDE STUDI .....	3
1.3 TUJUAN PENELITIAN .....	4
1.4 RUANG LINGKUP .....	4
BAB II TIJAUAN PUSTAKA	
2.1 UMUM .....	6
2.2 KARAKTERISTIK AIR LIMBAH .....	7
2.3 PROSES BIOLOGIS PADA REAKTOR BIOFILM	8
2.4 SIKLUS NITROGEN .....	11
2.5 NITRIFIKASI .....	16
2.5.1 Bakteri Nitrifikasi .....	16

2.5.2 Hubungan Antara Energi dan Sintesa sel .....	18
2.5.3 Kinetika Nitrifikasi .....	22
2.5.3.1 Pengaruh Konsentrasi Ammonia .....	22
2.5.3.2 Hubungan Pertumbuhan Bakteri dengan kecepatan oksidasi .....	24
2.5.3.3 Pengaruh Temperatur .....	25
2.5.3.4 Pengaruh Oksigen Terlarut .....	27
2.5.3.5 Pengaruh pH .....	29
2.5.3.6 Pengaruh Beban Hidrolik .....	31
2.5.3.7 Pengaruh Inhibitor .....	31
2.6 GAS TRANSFER .....	34
BAB III METODOLOGI PENELITIAN	
3.1 UMUM .....	38
3.2 KERANGKA PENELITIAN .....	38
3.3 MODEL INSTALASI PENGOLAHAN .....	41
3.4 KOMPOSISI AIR YANG AKAN DIOLAH .....	45
3.5 PELAKSANAAN PENELITIAN .....	46
3.5.1 Seeding (Pembenihan) .....	46
3.5.2 Pengoperasian Model Instalasi Pengolahan .....	47
3.5.3 Parameter Yang Dikontrol .....	49
3.5.4 Parameter Yang Dianalisa .....	50
3.5.4.1 Permanganat Value (PV) .....	50

3.5.4.2 BOD (Biological Oxygen Demand) ....	50
3.5.4.3 Analisa Ammonium .....	51
3.5.4.3 Analisa Nitrit dan Nitrat .....	51
3.5.4.4 Analisa MLVSS .....	52
3.6 METODA SAMPLING .....	52
3.7 ANALITICAL QUALITY CONTROL .....	57
BAB IV HASIL PENELITIAN DAN PEMBAHASAN	
4.1 UMUM .....	55
4.2 PENGARUH PERBANDINGAN BOD/N TERHADAP REMOVAL N-NH <sub>4</sub> <sup>+</sup> .....	57
4.3 PENGARUH KONSENTRASI BOD TERHADAP REMOVAL N-NH <sub>4</sub> <sup>+</sup> .....	65
4.4 PENGARUH HIDROLIK LOADING TERHADAP REMOVAL N-NH <sub>4</sub> <sup>+</sup> .....	72
BAB V KESIMPULAN DAN SARAN	
5.1 KESIMPULAN .....	79
5.2 SARAN .....	80
DAFTAR PUSTAKA .....	81
LAMPIRAN .....	84

## DAFTAR TABEL

Tabel	halaman
2.1 Modifikasi Reaksi Oksidasi dan Pertumbuhan Dalam Nitrifikasi Yang Berhubungan Dengan Sistem Asam Carbonat .....	21
2.2 Harga Tipikal Parameter Monod Untuk Oksida- si Ammonia dan Nitrit .....	23
2.3 Senyawa-Senyawa Inhibitor Terhadap Bakteri Nitrifikasi .....	32
3.1 Karakteristik Instalasi Pengolahan .....	45
3.2 Komposisi Air Limbah Yang Diolah .....	48
3.3 Kondisi Operasional .....	48
4.1 Pengaruh Antara BOD/N Dengan Removal $N-NH_4^+$ .....	62
4.2 Pengaruh Antara Konsentrasi BOD Dengan Removal $N-NH_4^+$ .....	68
4.3 Pengaruh Antara Hidrolik Loading Dengan Removal $N-NH_4^+$ .....	74

## DAFTAR GAMBAR

Gambar	halaman
2.1 Skema Proses Biologis Dalam Media Filter ..	10
2.2 Siklus Nitrogen di Alam .....	13
2.3 Pengaruh Konsentrasi Substrat Terhadap La- ju Pertumbuhan Bakteri Nitrifikasi .....	24
2.4 Pengaruh Temperatur Pada Nitrifikasi .....	27
2.5 Hubungan Sisa Ammonium dan Oksigen Terlarut	28
2.6 Pengaruh pH Terhadap Aktivitas bakteri Ni- trosomonas dan Nitrobacter Pada Proses Ni- trifikasi .....	29
2.8 Sketsa Mekanisme Perpindahan Gas .....	35
3.1 Kerangka Penelitian .....	39
3.2 Model Instalasi Pengolahan .....	44
3.3 Kurva Keadaan Steady State .....	53
4.1 Hubungan Antara BOD/N Dengan Removal N-NH <sub>4</sub> <sup>+</sup> Pada Hidrolik Loading 5 m <sup>3</sup> /(m <sup>2</sup> .hari) .....	63
4.2 Hubungan Antara BOD/N Dengan Removal N-NH <sub>4</sub> <sup>+</sup> Pada Hidrolik Loading 7 m <sup>3</sup> /(m <sup>2</sup> .hari) .....	64
4.3 Hubungan Antara BOD/N Dengan Removal N-NH <sub>4</sub> <sup>+</sup> Pada Hidrolik Loading 10 m <sup>3</sup> /(m <sup>2</sup> .hari) .....	65
4.4 Hubungan Antara Konsentrasi BOD Dengan Removal N-NH <sub>4</sub> <sup>+</sup> Pada Hidrolik Loading 5 m <sup>3</sup> /(m <sup>2</sup> .hari) .....	68

4.5	Hubungan Antara Konsentrasi BOD Dengan Removal N-NH <sub>4</sub> <sup>+</sup> Pada Hidrolik Loading 7 m <sup>3</sup> /(m <sup>2</sup> .hari) .....	70
4.6	Hubungan Antara Konsentrasi BOD Dengan Removal N-NH <sub>4</sub> <sup>+</sup> Pada Hidrolik Loading 10 m <sup>3</sup> /(m <sup>2</sup> .hari) .....	71
4.7	Hubungan Antara Hidrolik Loading Dengan Removal N-NH <sub>4</sub> <sup>+</sup> Pada BOD/N = 2 .....	75
4.8	Hubungan Antara Hidrolik Loading Dengan Removal N-NH <sub>4</sub> <sup>+</sup> Pada BOD/N = 5 .....	76
4.9	Hubungan Antara Hidrolik Loading Dengan Removal N-NH <sub>4</sub> <sup>+</sup> Pada BOD/N = 10 .....	77
4.10	Hubungan Antara Hidrolik Loading Dengan Removal N-NH <sub>4</sub> <sup>+</sup> Pada BOD/N = 20.....	78

DAFTAR LAMPIRAN

hālāman

2	Analisa Ammonium ( $\text{NH}_4^+$ ) .....	85
3	Analisa Nitrogen Nitrate ( $\text{N}-\text{NO}_3^-$ ) .....	88
4	Analisa Nitrogen Nitrite ( $\text{N}-\text{NO}_2^-$ ) .....	91
5	Analisa Permananganat Value (PV) .....	94
6	Analisa Biologicasal Oxygen Demand .....	96
7	Analisa MLLS dan MLSS .....	98
8	Analitikal Quality Control $\text{NH}_4^+$ .....	100
9	Analitikal Quality Control N-NOS .....	104
10	Analitikal Quality Control N-NO <sub>2</sub> .....	108
11	Analitikal Quality Control PV .....	112
12	Analitikal Quality Control BOD .....	116
13	Kalibrasi Rotameter .....	120
14	Data Hasil Penelitian .....	123
15	Gantang Perhitungan Kebutuhan Udara .....	126

## B A B I

### PENDAHULUAN

#### 1.1 LATAR BELAKANG

Aktivitas manusia banyak memberikan pengaruh pada lingkungan. Penurunan kualitas dari badan air adalah merupakan salah satu akibat dari aktivitas manusia. Pencemaran lingkungan adalah suatu hal yang harus dicegah karena itu hal-hal yang mendukung pencemaran harus selalu dipantau dan dikendalikan termasuk di dalamnya kadar karbon maupun nitrogen pada limbah. Penanganan air limbah yang hanya ditujukan untuk mengurangi kandungan senyawa karbon saja tidak cukup untuk menjamin terpeliharanya kualitas badan air. Sehingga sistem pengolahan air limbah saat ini tidak untuk mengurangi kandungan karbon saja, tetapi juga untuk menurunkan kadar nitrogen.

Dampak negatif yang ditimbulkan oleh kehadiran senyawa nitrogen tergantung bentuk senyawa tersebut dalam air. Kehadiran senyawa dalam bentuk ammonia berlebih selain akan menyebabkan penurunan kandungan oksigen dalam air juga bersifat toksik pada kehidupan ikan. Standart yang ditetapkan untuk sungai yang digunakan oleh environmental Protection Agency and Euperean island Fisheries Advisory

Commission untuk nitrogen ammonia adalah 0,02 mg/l. Sedangkan kehadiran senyawa nitrogen dalam bentuk nitrat dan nitrit yang berlebih dalam badan air yang diperuntukan untuk air minum dapat menyebabkan gangguan kesehatan pada bayi yaitu gejala methamoglobinemia. Batas maksimum konsentrasi nitrat yang ditetapkan oleh Depkes bagi perairan untuk air minum 10 mg/l.

Sumber senyawa nitrogen umumnya berasal dari industri kimia, pabrik makanan, buangan manusia dan hewan. Alternatif untuk menurunkan konsentrasi senyawa nitrogen yaitu secara kimia, fisik dan biologis. Dari ketiga cara tersebut yang paling sering digunakan untuk proses pengolahan air limbah adalah cara biologis karena lebih ekonomis, yaitu dengan memanfaatkan mikroorganisme dalam proses pengolahan. Proses nitrifikasi adalah suatu fenomena biologis dalam menurunkan kandungan nitrogen ammonia. Pada proses ini nitrogen ammonia diubah menjadi nitrogen nitrit dan kemudian menjadi nitrogen nitrat dengan bantuan dari bakteri Nitrifikasi. Bakteri nitrifikasi yang paling umum dikenal adalah *Nitrosomonas* dan *Nitrobacter*.

Didasarkan cara tumbuh mikroba terhadap air limbah yang diolah, maka sistem pengolahan limbah secara biologis di-

bedakan menjadi dua, yaitu suspended growth dan attached growth (biofilm). Proses nitrifikasi dapat terjadi pada sistem suspended growth maupun sistem biofilm.

Pada penelitian ini, dilakukan pengolahan air limbah untuk menurunkan kandungan senyawa nitrogen ammonia menggunakan sistem biofilm pada media berbutir. Dengan demikian dapat dilihat sejauh mana proses nitrifikasi berlangsung pada sistem pengolahan biologis ini.

## 1.2 IDE STUDI

Proses pengolahan air limbah ditujukan agar tidak timbul pencemaran dalam badan air penerima. Salah satu parameter dalam air limbah yang dapat menimbulkan masalah yaitu nitrogen ammonia.

Mekanisme penurunan nitrogen ammonia dapat berlangsung dengan proses nitrifikasi, yaitu suatu proses yang memanfaatkan aktivitas biologis dari mikroba. Proses nitrifikasi selain terjadi pada sistem attached growth (biofilm), juga dapat terjadi pada sistem suspended growth dimana masing-masing sistem tersebut mempunyai kelebihan dan kekurangan. Pada penelitian ini penurunan kandungan nitrogen ammonia dilakukan dengan menggunakan sistem biofilm.

Salah satu kelebihan sistem biofilm ini yaitu sistem pengoperasiannya lebih sederhana karena sistem ini tidak meresirkulasi lumpur dari bak pengendap. Sedangkan pada sistem suspended growth diperlukan resirkulasi lumpur dari bak pengendap sehingga apabila terjadi gangguan pada tangki aerasi yang mempengaruhi proses pengendapan lumpur, dapat mengganggu sistem resirkulasi dan selanjutnya akan mempengaruhi pula proses dalam tangki aerasi. Karena dalam sistem suspended growth antara tangki aerasi dan tangki sedimentasi saling berhubungan.

Pada penelitian ini penambahan udara dimaksudkan agar dapat meningkatkan transfer oksigen sehingga ketebalan zona aerobik pada biofilm semakin dalam. Dengan demikian diharapkan proses nitrifikasi dapat berlangsung dengan baik. Guna untuk mengetahui removal (penurunan) kandungan senyawa nitrogen ammonia diperlukan suatu penelitian terhadap model reaktor yang ada dengan variasi perbandingan BOD/N, konsentrasi BOD serta variasi hidrolik loading.

### 1.3 TUJUAN PENELITIAN

Penelitian ini bertujuan untuk mengetahui penurunan kandungan nitrogen ammonia menggunakan sistem biofilm pada media berbutir dengan penambahan udara.

#### 1.4 RUANG LINGKUP

Ruang lingkup penelitian tugas akhir ini sebagai berikut:

1. Penelitian ini dilakukan dalam skala laboratorium yang terdiri dari rangkaian reaktor biofilm dengan media kerikil berdiameter 1 cm.
2. Pembenihan, yang bertujuan untuk memperoleh mikro-organisme yang berupa lapisan lendir/slime pada media kerikil.
3. Air limbah buatan dan udara dialirkkan secara bersama-sama dan terus-menerus dari bawah ke atas (co current).
4. Debit udara yang dialirkkan ke dalam reaktor konstan yaitu 2,2 l/menit.
5. Mengoperasikan instalasi yang ada dengan menggunakan limbah buatan dengan variasi konsentrasi BOD antara 200 sampai 500 mg/l, perbandingan BOD/N antara 20 sampai 2 dan hidrolik loading antara 5 sampai 10  $\text{m}^3/(\text{m}^2 \cdot \text{hari})$ .

## B A B II

### TINJAUAN PUSTAKA

#### 2.1 UMUM

Berdasarkan cara tumbuh mikroba terhadap air limbah yang diolah, maka sistem pengolahan limbah secara biologis dibedakan menjadi dua yaitu suspended growth dan attached growth (reaktor biofilm). Pada sistem suspended growth, mikroba pengurai tumbuh tersuspensi pada limbah yang diolah. Sedang pada reaktor biofilm , mikroba pengurai tumbuh menempel pada media penyangga dengan membentuk suatu lapisan lendir/slime.

Contoh reaktor biofilm yaitu antara lain trickling filter, rotating biological filter dan activated biofilter. Pada penelitian ini digunakan media kerikil sebagai tempat tumbuh mikroorganisma dan kebutuhan udara disuplai dari kompressor.

Pada bab ini berisikan teori-teori yang menunjang penelitian ini, antara lain tentang karakteristik air limbah, proses biologis pada reaktor biofilm, siklus nitrogen, nitrifikasi dan mekanisme gas transfer.

## 2.2 KARAKTERISTIK AIR LIMBAH

Karakteristik air limbah pada dasarnya meliputi karakteristik fisik, kimiawi dan biologis (Metcalf, 1979). Karakteristik yang terdapat dalam air limbah ini merupakan sumber pencemar yang penting untuk diperhatikan. Oleh karena itu proses pengolahan dalam hal ini sangat diperlukan. Standard pengolahan kedua (secondary treatment) untuk air limbah ditujukan untuk menurunkan kandungan organik yang mudah diuraikan secara biologis (biodegradable), suspended solid dan kandungan bibit penyakit (pathogen). Kemudian standard ini berkembang yaitu juga untuk penurunan kandungan nutrien terutama kandungan nitrogen dan phospor dalam air limbah.

Karakteristik fisik dari air limbah meliputi padatan (solid), bau, temperatur dan warna. Total solid meliputi suspended solid dan filterable solid. Karakteristik kimiawi dalam air limbah meliputi kandungan organik, kandungan anorganik dan gas. Pada umumnya zat organik berisi kombinasi dari karbon, hidrogen dan oksigen bersama-sama dengan nitrogen. Elemen lainnya yang penting seperti belerang, fosfor dan besi bisa juga ditemukan. Bahan organik yang lain termasuk detergen, phenol, pestisida dan lain-lain. Pengukuran kandungan organik dalam

air limbah meliputi biological oxygen demand (BOD), chemical oxygen demand (COD) dan total oxygen demand (TOD). Kandungan anorganik dalam limbah meliputi kandungan ion hidrogen (pH), chloride, alkalinity, kandungan nitrogen, phosphor, sulfur, kandungan yang bersifat toksik serta kandungan logam berat. Kandungan yang bersifat toksik antara lain seperti tembaga, timbal, perak, cromium, arsenik dan boron. Sedangkan kandungan logam berat antara lain nikel, mangan, timbal, cromium, kadmium, seng, tembaga, besi dan mercury.

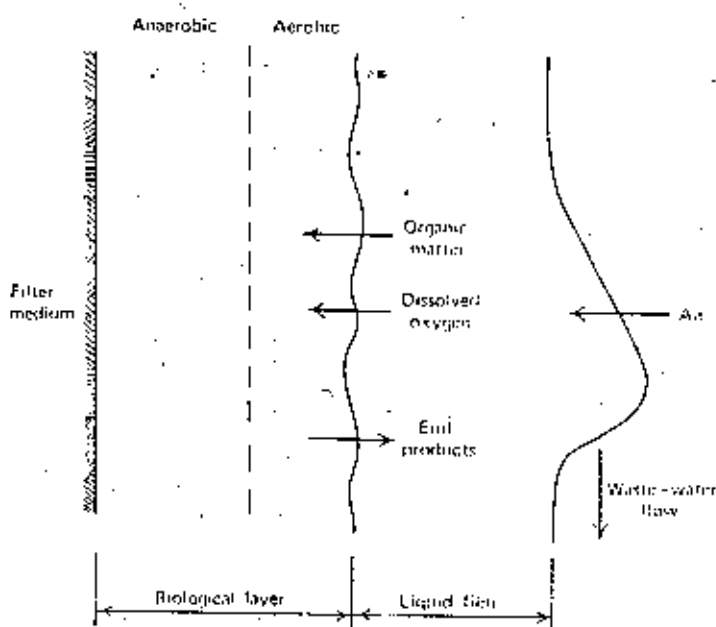
Pada setiap jenis limbah kuantitas dan kualitasnya berbeda-beda. Sehingga setiap jenis limbah belum tentu proses pengolahannya sama tergantung karakteristiknya. Untuk air limbah yang mengandung komponen nitrogen terdapat beberapa jenis pengolahan yaitu nitrifikasi-denitrifikasi, ion exchange, ammonia stripping dan breakpoint chlorination. Proses nitrifikasi-denitrifikasi dapat terjadi pada sistem suspended growth maupun sistem attached growth (biofilm).

### 2.3 PROSES BIOLOGIS PADA REAKTOR BIOFILM

Pada reaktor biofilm, proses pengolahan biologis berlangsung dengan memanfaatkan lapisan film yang melekat

pada suatu media. Lapisan yang berbentuk lendir ini merupakan suatu kumpulan mikroorganisma yang terutama terdiri dari bakteri, protozoa dan jamur yang memakan zat-zat organik dalam limbah. Selain mikroorganisma di atas, mungkin terdapat cacing, larva lalat, rotifera dan biota lainnya. Jika terdapat cahaya dapat merangsang pertumbuhan alga pada permukaan media.

Substrat yang masuk ke dalam reaktor, sebagian dioksidasi untuk memperoleh energi dan sebagian digunakan untuk membentuk sel baru. Dengan meningkatnya substrat yang masuk dapat menambah ketebalan film. Sejalan dengan bertambahnya film, penetrasi oksigen ke dalam biofilm akan semakin terbatas. Sehingga pada biofilm dapat terbentuk dua zona, yaitu lapisan film aerobik (kondisi ada oksigen) dan anaerobik (kondisi tidak ada oksigen). Skematik aktivitas biologis yang terjadi pada media filter dapat dilihat pada gambar 2.1. Pada gambar ini dapat dilihat bahwa substrat dan oksigen akan berdifusi ke dalam lapisan film dan digunakan oleh mikroba untuk mempertahankan kelangsungan hidup.



Gambar 2.1 Skema proses biologis dalam media filter

Sumber: Hammer, Mark J. 1975. Water and Wastewater Technology. halaman 364.

Proses yang dapat terjadi pada reaktor biofilm, selain oksidasi senyawa organik karbon juga oksidasi senyawa ammonia yang lazim disebut nitrifikasi. Proses nitrifikasi dapat terjadi pada zona aerobik, sedangkan bila terbentuk zona anaerobik diharapkan dapat terjadi denitrifikasi. Menurut Kornegay (1971), ketebalan lapisan aerobik berkisar sampai 70 micron, sedangkan menurut Hoehn (1973) berpendapat bahwa lapisan aerobik dapat mencapai 150 sampai 250 micron.

Ketebalan aerobik zone ditentukan oleh kemampuan penetrasi oksigen kedalam lapisan biofilm, dimana tergantung pada koefisien difusi oksigen dalam film, konsentrasi

oksigen pada solid liquid interface, overall oksigen utilization rate untuk mikroorganisma yang terdapat pada lapisan film. Sedangkan kedalaman penetrasi substrat dalam lapisan mikroba film tergantung pada debit aliran, konsentrasi dan koefisien difusi substrat dalam film serta kecepatan utilisasi substrat oleh biomassa.

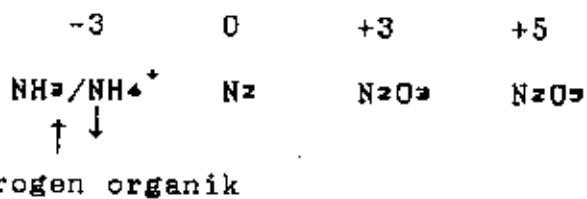
Kandungan substrat yang terdapat pada air limbah dimakan terlebih dahulu oleh mikroba pada lapisan aerobik sebelum mencapai mikroorganisma yang melekat pada permukaan media. Tidak adanya makanan yang cukup pada lapisan anaerobik menyebabkan mikroorganisma memasuki phase respirasi endogenous, mikroorganisma yang berada dalam keadaan luar akan memanfaatkan bahan sitoplasmanya untuk mempertahankan kehidupan. Dalam fasa ini mikroorganisma tersebut akan kehilangan kemampuan untuk menempel pada media, kemudian terlepas dan terbawa keluar dari filter, yang dinamakan sloughing. Selain itu sloughing juga disebabkan oleh kondisi hydrodinamik.

#### 2.4 SIKLUS NITROGEN

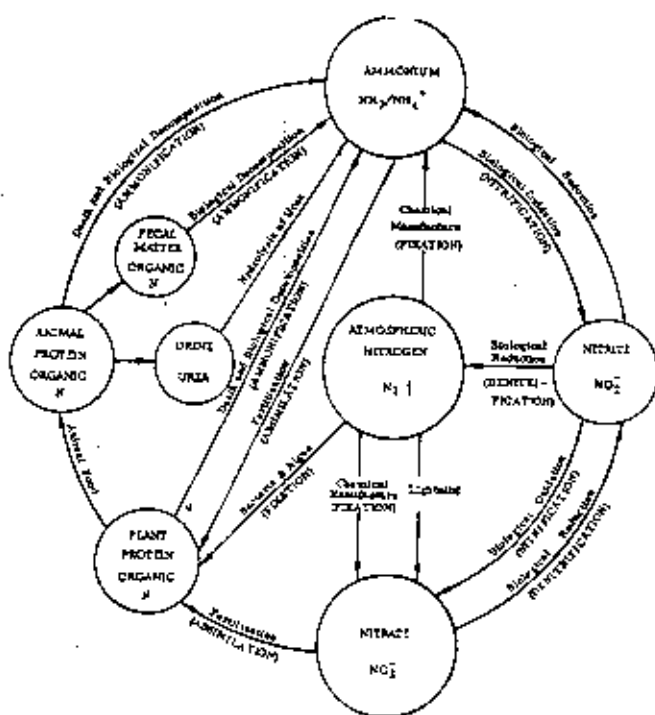
Senyawa nitrogen adalah senyawa yang kompleks karena mempunyai beberapa bilangan oksidasi dan dapat terjadi perubahan bentuk bilangan oksidasi secara biologis dengan

bantuan organisme. Perubahan bilangan oksidasi ini oleh bakteri dapat dari bilangan oksidasi rendah ke tinggi ataupun sebaliknya, tergantung dari kondisinya aerobik atau anaerobik.

Dalam bentuk senyawa anorganik, nitrogen mempunyai tujuh bilangan oksidasi (Sawyer, 1978). Dari keseluruhan bentuk yang ada, bentuk senyawa nitrogen yang penting dalam siklus nitrogen adalah sebagai berikut:



Perubahan senyawa nitrogen yang terjadi meliputi proses fiksasi, ammonifikasi, assimilasi, nitrifikasi dan denitrifikasi. Reaksi ini terjadi dengan bantuan mikroorganisma dimana dalam reaksi ini mikroorganisma memperoleh dan melepaskan energi. Hubungan antara berbagai bentuk nitrogen dan perubahannya yang terjadi di alam dapat dilihat pada gambar 2.2.



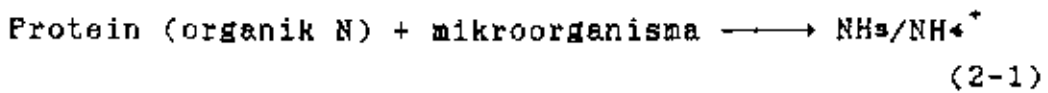
Gambar 2.2 Siklus Nitrogen di alam

Sumber: De Rango, D.J. 1978. Nitrogen Control and Phosphorus Removal in Sewage, halaman 7.

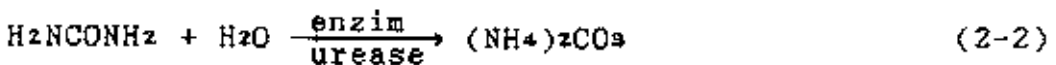
Udara yang ada dalam atmosfer, 78% lebih tersusun oleh unsur nitrogen dalam bentuk  $N_2$ . Gas ini memasuki semua tubuh organisme tetapi umumnya keluar lagi tanpa berperan penting dalam proses hidupnya. Tetapi ada beberapa mikroorganisme yaitu beberapa bakteri dan alga yang dapat mengikat  $N_2$ . Proses ini dinamakan fiksasi nitrogen. Walaupun beberapa fiksasi nitrogen bisa juga terjadi akibat pelepasan listrik seperti petir, namun jumlahnya sangat kecil yaitu sekitar 15% dari seluruh fiksasi yang terjadi. Sedangkan fiksasi nitrogen oleh industri mencapai setengah jumlah fiksasi secara alami. Nitrogen yang di-

tambat oleh bakteri dan alga digunakan oleh tumbuh-tumbuhan dan berubah menjadi protein nabati yang merupakan bentuk organik nitrogen, yang nantinya jika dimakan oleh hewan terbentuk protein hewani.

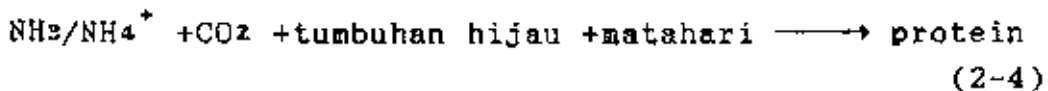
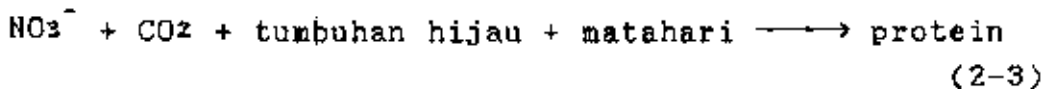
Hewan yang telah mati dan juga tumbuhan yang telah mati mengalami deaminasi yang dilakukan oleh mikroorganisme dan terbentuk ammonium. Proses perubahan dari organik nitrogen menjadi ammonium ( $\text{NH}_3/\text{NH}_4^+$ ) disebut ammonifikasi.



Nitrogen dari kotoran hewan pada prinsipnya sebagai urea. Urea dapat dihidrolisis oleh enzim urease menjadi ammonium carbonat.

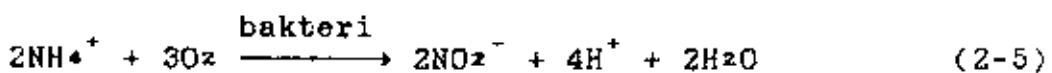


Ammonium ataupun nitrat berguna bagi tumbuh-tumbuhan dan mikroorganisma untuk asimilasi menjadi sel baru, yang merupakan protein nabati.



Hewan membutuhkan protein dari tumbuhan atau dari hewan lain. Demikianlah perubahan bentuk dari nitrogen anorganik menjadi nitrogen organik.

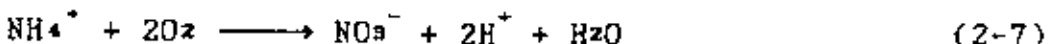
Ammonium sebagian besar mengalami oksidasi biologis menjadi bentuk nitrit dan nitrat pada kondisi aerobik dimana proses ini disebut nitrifikasi. Oksidasi ammonium menjadi nitrit pada umumnya dilakukan oleh bakteri *Nitrosomonas*.



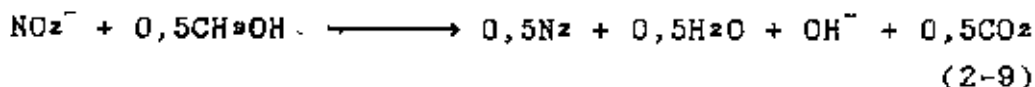
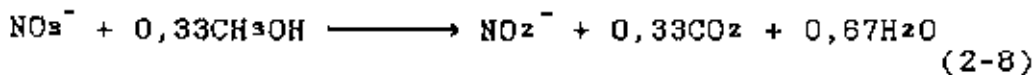
Oksidasi nitrit menjadi nitrat pada umumnya dilakukan oleh bakteri *Nitrobacter*.



Secara keseluruhan reaksi nitrifikasi yang terjadi adalah sebagai berikut:



Nitrat dapat mengalami reduksi biologis menjadi bentuk nitrit dan kemudian membentuk gas nitrogen pada kondisi anaerobik, dimana proses ini disebut proses denitrifikasi. Bakteri denitrifikasi antara lain meliputi *Pseudomonas*, *Micrococcus*, *Achromobacter* dan *Bacillus*. Dalam bentuk sederhana, tahap reaksi yang terjadi adalah sebagai berikut:



Kandungan nitrogen dalam effluen dari pengolahan air limbah dapat menyebabkan beberapa dampak negatif. Dampak negatif yang terjadi antara lain:

1. Proses Eutrofikasi
2. Penurunan konsentrasi oksigen terlarut sebagai hasil proses nitrifikasi yang terjadi dalam air, yang dapat merusak kehidupan air.
3. Bagi badan air penerima yang sekaligus berfungsi sebagai air baku untuk air minum, pencemaran senyawa nitrogen dalam khususnya nitrat dapat menyebabkan gejala methamoglobinemia.

## 2.5 NITRIFIKASI

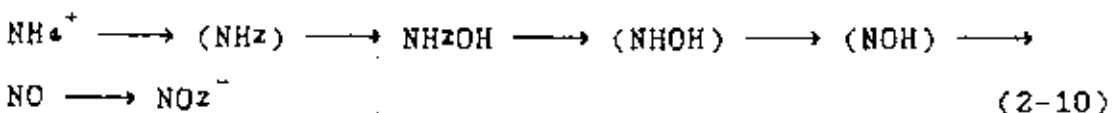
### 2.5.1 Bakteri Nitrifikasi

Menurut Grady dan Lim (1980) nitrifikasi didefinisikan sebagai konversi nitrogen ammonia ( $\text{N}-\text{NH}_4^+$ ) menjadi bentuk nitrat ( $\text{N}-\text{NO}_3^-$ ). Proses ini merupakan reaksi oksidasi dimana melibatkan bakteri nitrifikasi. Mikroorganisma yang paling dikenal dan paling penting dalam proses nitrifikasi adalah bakteri dari genus *Nitrosomonas* dan *Ni-*

*Nitrobacter*, *Nitrosomonas* merupakan bakteri yang mengoksidasi ammonium menjadi nitrit dan *Nitrobacter* merupakan bakteri yang mengoksidasi nitrit menjadi nitrat.

Selain itu dikenal bakteri dari genus *Nitrosopira*, *Nitrococcus* dan *Nitrospocystis* yang dapat mengoksidasi ammonium menjadi nitrit. Sedangkan bakteri yang dapat mengoksidasi nitrit menjadi nitrat selain *Nitrobacter* adalah *Nitrosogloea* dan *Nitrocystis*.

*Nitrosomonas* mengoksidasi  $\text{N-NH}_4^+$  menjadi  $\text{N-NO}_3^-$ , yang menurut T.M Cook et.al (1973) melalui beberapa tahapan yaitu sebagai berikut:



Secara keseluruhan proses tersebut adalah seperti yang terdapat pada persamaan 2-5.

Sedangkan *Nitrobacter*, proses mendapatkan energinya terdiri dari satu tahapan tunggal oksidasi nitrit menjadi nitrat. Persamaan reaksinya seperti yang terdapat dalam persamaan 2-6.

Kedua mikroorganisma ini mendapat energi untuk pertumbuhan dari mengoksidasi senyawa-senyawa anorganik, sehingga keduanya dapat diklasifikasikan sebagai bakteri

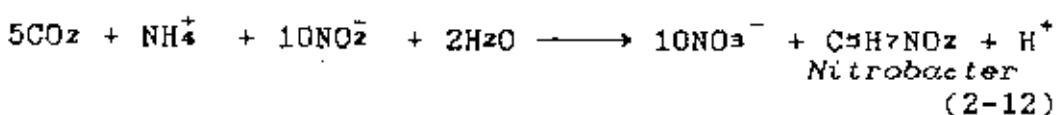
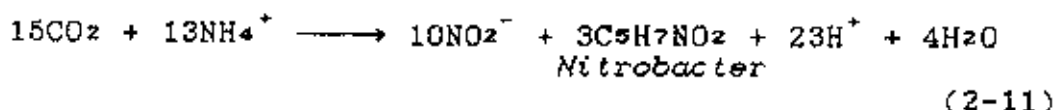
kemcautotrop. Menurut Kelly yang dikutip oleh Grady (1980), bukan berarti dalam prosesnya kedua mikroorganisma tersebut hanya menggunakan senyawa anorganik saja tetapi juga menggunakan senyawa organik. Namun jumlah senyawa organik yang digunakan lebih kecil jika dibandingkan dengan senyawa anorganik.

#### 2.5.2 Hubungan Energi dan Sintesa

Energi yang dibebaskan pada reaksi oksidasi ammonium menjadi nitrit menurut beberapa penelitian diperkirakan antara 58 dan 84 kcal per mol ammonia (Renzo, 1978). Sedangkan reaksi oksidasi dari nitrit menjadi nitrat melepaskan energi antara 15,4 sampai 20,9 kcal per mol nitrit. Dengan demikian *Nitrosomonas* melepaskan energi per mol nitrogen yang dioksidasi lebih banyak dari pada *Nitrobacter*. Jika diasumsikan bahwa sintesa sel per unit energi yang diproduksi adalah sama, maka massa *Nitrosomonas* yang terbentuk lebih besar dari *Nitrobacter* per mol nitrogen yang dioksidasi.

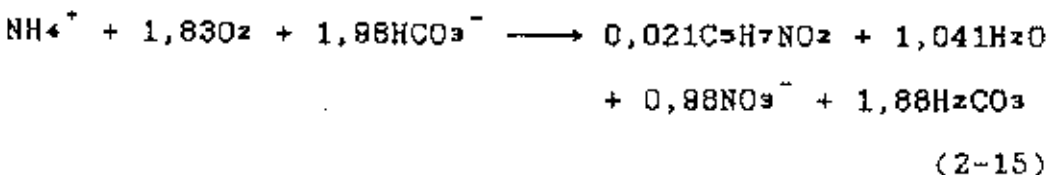
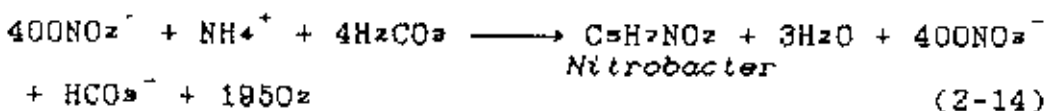
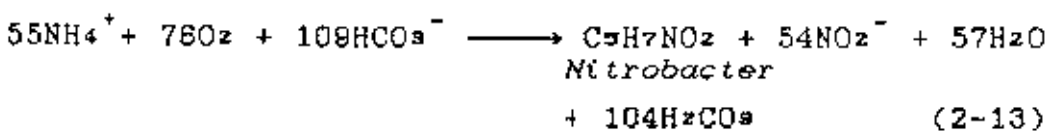
Telah disebutkan di atas, reaksi yang terjadi melepaskan energi yang dibutuhkan untuk pertumbuhan bakteri nitrifikasi. Formulasi sel bakteri diasumsikan sebagai  $C_3H_7NO_2$ , persamaan untuk pertumbuhan *Nitrosomonas* dan

*Nitrobacter* ditunjukkan dalam persamaan 2-11 dan persamaan 2-12.



Persamaan 2-5, 2-11 dan 2-12 menunjukkan bahwa reaksi tersebut menghasilkan asam ( $\text{H}^+$ ) dan membutuhkan  $\text{CO}_2$ . Dalam kenyataannya reaksi ini berhubungan dengan sistem asam carbonat. Modifikasi persamaan 2-5, 2-11 dan 2-12 dalam sistem asam carbonat dapat dilihat pada tabel 2-1.

Persamaan reaksi Sintesa-oksidasi yang digunakan untuk perhitungan koefisiensi yield dan kebutuhan oksigen untuk *Nitrosomonas* dan *Nitrobacter* adalah sebagai berikut:



Dari persamaan pada tabel 2-1, jika proses sintesa dia-baikan maka dapat dihitung 7,14 mg alkalinity sebagai  $\text{CaCO}_3$  dihilangkan per mg ammonia yang dioksidasi. Pengaruh dari sintesa sel relatif kecil; dalam persamaan 2-15, 7,07 mg alkalinity per mg ammonia yang dioksidasi. Dengan adanya pengurangan alkalinity ini terjadi penurunan pH dalam proses nitrifikasi.

Secara teoritis, oksigen yang dibutuhkan untuk nitrifikasi dengan mengabaikan sintesa sel, berdasarkan persamaan reaksi 2-7 adalah 4,57 mg Oz/mg N-NH $_4^+$ . Sintesa sel memberikan pengaruh terhadap oksigen yang dibutuhkan, oksigen yang dibutuhkan dapat dihitung dari persamaan reaksi 2-15, yaitu 4,33 mg Oz/mg N-NH $_4^+$ .

Dari persamaan 2-13 dan 2-14 maka dapat diketahui bahwa koefisien yield (mg sel yang tumbuh per mg substrat yang dioksidasi) untuk *Nitrosomonas* dan *Nitrobacter* adalah 0,15 mg sel/mg N-NH $_4^+$  dan 0,02 mg sel/mg N-NO $_2^-$ .

Tabel 2-1 Modifikasi Reaksi Oksidasi dan Pertumbuhan Dalam Nitrifikasi Yang Berhubungan Dengan Sistem Asam Carbonat.

Reaction	Equation	Equation No.
Oxidation - <u>Nitrosomonas</u>	$\text{NH}_4^+ + 1.\text{SO}_2 + 2\text{HCO}_3^- \rightarrow \text{NO}_2^- + 2\text{H}_2\text{CO}_3 + \text{H}_2\text{O}$	2. 5A
Oxidation - <u>Nitrobacter</u>	$\text{NO}_2^- + 0.\text{SO}_2 \rightarrow \text{NO}_3^-$	2. 6
Oxidation - overall	$\text{NH}_4^+ + 2\text{O}_2 + 2\text{HCO}_3^- \rightarrow \text{NO}_3^- + 2\text{H}_2\text{CO}_3 + \text{H}_2\text{O}$	2. 7A
Synthesis - <u>Nitrosomonas</u>	$13\text{NH}_4^+ + 23\text{HCO}_3^- \rightarrow 8\text{H}_2\text{CO}_3 + 10\text{NO}_2^- + 3\text{C}_5\text{H}_2\text{NO}_2 + 19\text{H}_2\text{O}$	2. 11A
Synthesis - <u>Nitrobacter</u>	$\text{NH}_4^+ + 10\text{NO}_2^- + 4\text{H}_2\text{CO}_3 + \text{HCO}_3^- \rightarrow 10\text{NO}_3^- + 3\text{H}_2\text{O} + \text{C}_5\text{H}_2\text{NO}_2$	2. 12A

Sumber: De Renzo, D.J. 1978. Nitrogen Control and Phosphorus Removal in Sewage, halaman 32.

### 2.5.3 Kinetika Nitrifikasi

Proses nitrifikasi dipengaruhi oleh beberapa parameter, antara lain konsentrasi ammonia, suhu, pH, oksigen terlarut dan yang tidak kalah pentingnya adalah kehadiran inhibitor terutama yang berasal dari golongan logam berat. Dalam beberapa hal, para peneliti telah menentukan

besarnya pengaruh-pengaruh tersebut dengan memberikan beberapa persamaan-persamaan tertentu yang dapat digunakan.

#### 2.5.3.1 Pengaruh Konsentrasi Ammonia

Gambaran oksidasi ammonia dan nitrit dapat diperoleh dari persamaan kinetika pertumbuhan *Nitrosomonas* dan *Nitrobacter*. Pertumbuhan *Nitrosomonas* dipengaruhi oleh konsentrasi nitrogen ammonia, sedangkan pertumbuhan *Nitrobacter* dipengaruhi oleh konsentrasi nitrit. Persamaan kinetika yang ditemukan oleh Monod digunakan untuk menggambarkan kinetika pertumbuhan biologis *Nitrosomonas* dan *Nitrobacter*:

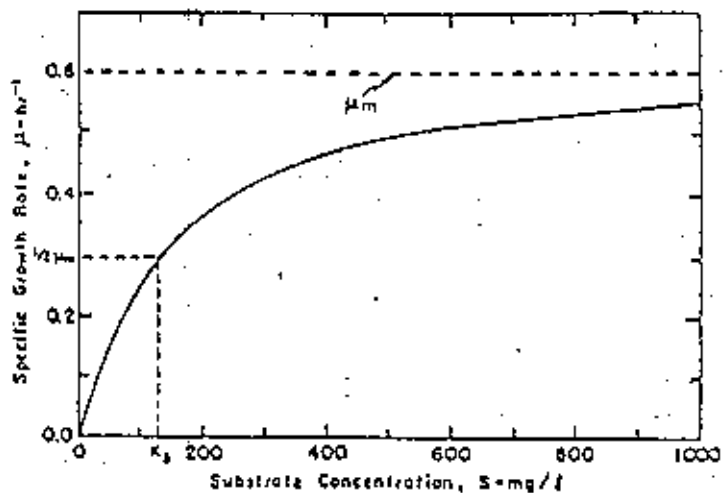
$$\mu = \hat{\mu} \frac{S}{K_s + S} \quad (2-16)$$

dimana:  $\mu$  = kecepatan pertumbuhan spesifik mikroorganisma, hari<sup>-1</sup>

$\hat{\mu}$  = kecepatan pertumbuhan maksimum spesifik mikroorganisma, hari<sup>-1</sup>

$K_s$  = konsentrasi substrat pada saat kecepatan pertumbuhan setengah dari maksimum, mg/l

$S$  = konsentrasi substrat, mg/l



Gambar 2.3 Pengaruh Konsentrasi Substrat terhadap laju pertumbuhan bakteri Nitrifikasi

Sumber: Grady, 1980. *Biological Wastewater Treatment*, halaman 321.

#### 2.5.3.2 Hubungan kecepatan pertumbuhan dengan kecepatan oksidasi

Kecepatan oksidasi ammonia berhubungan dengan kecepatan pertumbuhan *Nitrosomonas*, yaitu sebagai berikut:

$$q_N = \frac{\mu N}{Y_N} \quad \hat{q}_N = \frac{N}{K_N + N} \quad (2-17)$$

dimana:  $\mu_N$  = kecepatan pertumbuhan *Nitrosomonas*, hari<sup>-1</sup>

$\hat{\mu}_N$  = kecepatan pertumbuhan maksimum *Nitrosomonas*,  
hari<sup>-1</sup>

$q_N = \frac{\hat{\mu}_N}{Y_N}$  = kecepatan maksimum oksidasi ammonia,  
lb N-NH<sub>4</sub><sup>+</sup> yang dioksidasi / lb VSS / hari

$q_N$  = kecepatan oksidasi ammonia,

lb N-NH<sub>4</sub><sup>+</sup> yang dioksidasi / lb VSS / hari

$Y_N$  = koefisien yield organisme, lb *Nitrosomonas*  
yang tumbuh (VSS) per N-NH<sub>4</sub><sup>+</sup> yang diremove

$N$  = konsentrasi N-NH<sub>4</sub><sup>+</sup>, mg/l

$K_N$  = konsentrasi N-NH<sub>4</sub><sup>+</sup> pada saat kecepatan per-  
tumbuhan setengah dari maksimum, mg/l N-NH<sub>4</sub><sup>+</sup>

#### 2.5.3.3 Pengaruh Temperatur

Temperatur memberikan pengaruh pada proses nitrifikasi. Pengaruh temperatur dalam proses nitrifikasi oleh Huang dan Hopson dapat dilihat pada gambar 2.4. Menurut Stankewich yang dikutip oleh Grady dan Lim (1980) pengaruh dari temperatur pada kecepatan pertumbuhan maksimum spesifik ditunjukkan dengan persamaan berikut:

$$\hat{\mu}_T = \hat{\mu}_{15} \exp \{K(T - 15)\} \quad (2-18)$$

dimana:  $\hat{\mu}_T$  = kecepatan pertumbuhan maksimum spesifik pada temperatur T, hari<sup>-1</sup>

$\hat{\mu}_{15}$  = kecepatan pertumbuhan maksimum spesifik pada temperatur 15°C, hari<sup>-1</sup>

K = 0,085 - 0,12 untuk *Nitrosomonas* dan 0,056 - 0,058 untuk *Nitrobacter*

Menurut Knowles et.al nilai K<sub>s</sub> juga dipengaruhi oleh temperatur yang ditunjukkan pada persamaan berikut ini.

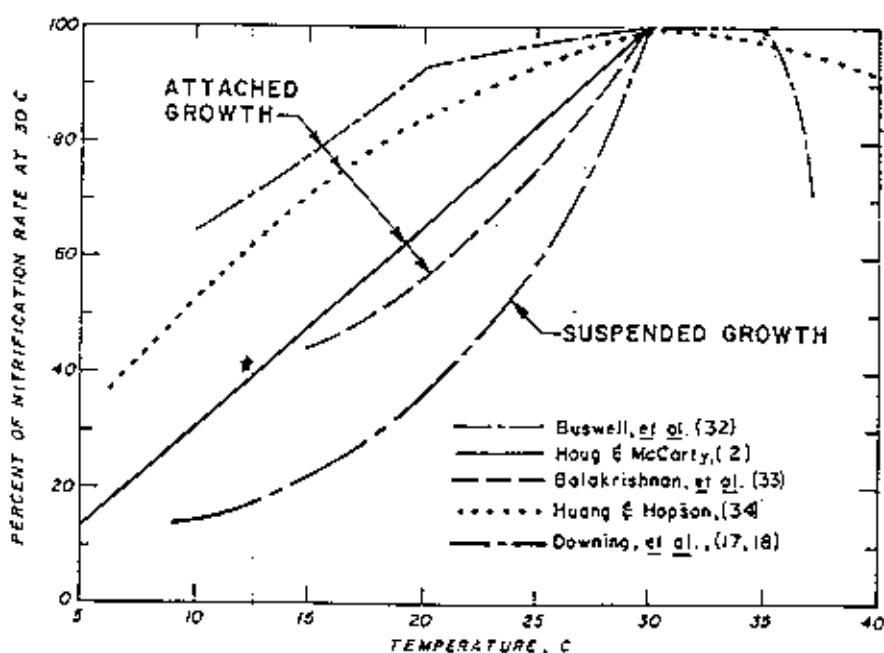
Untuk *Nitrosomonas*:  $K_{st} = K_{s15} \exp[0,118(T - 15)]$  (2-18)

Untuk *Nitrobacter*:  $K_{st} = K_{s15} \exp[0,148(T - 15)]$  (2-20)

dimana: K<sub>st</sub> = konsentrasi substrat pada saat kecepatan pertumbuhan setengah dari maksimum, pada temperatur T, mg/l

K<sub>s15</sub> = konsentrasi substrat pada saat kecepatan pertumbuhan setengah dari makssimum, pada temperatur 15°C

K<sub>s15</sub> = 0,405 untuk *Nitrosomonas* dan 0,825 untuk *Nitrobacter*



Gambar 2.4 Pengaruh Temperatur pada Nitrifikasi

Sumber: De Renzo, D.J. 1978. Nitrogen Control and Phosphorus Removal in Sewage. halaman 38.

#### 2.5.3.4 Pengaruh Oksigen Terlarut

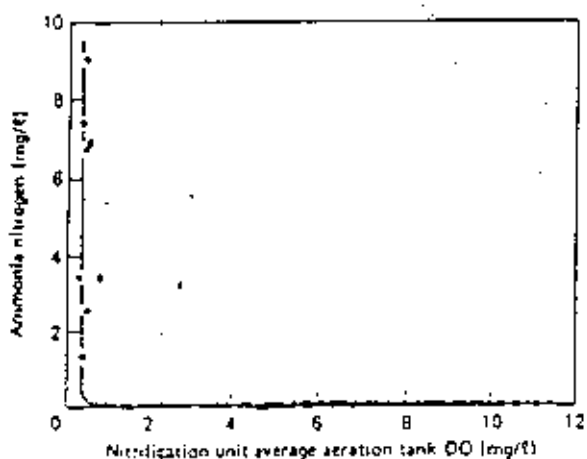
Konsentrasi oksigen terlarut memberikan pengaruh pada kecepatan pertumbuhan bakteri nitrifikasi dalam pengolahan biologis. Persamaan Monod yang digunakan untuk menggambarkan pengaruh oksigen terlarut, dengan mempertimbangkan oksigen merupakan substrat pembatas pertumbuhan:

$$\mu_N = \mu_{N_0} \frac{DO}{K_O + DO} \quad (2-21)$$

dimana: DO = oksigen terlarut, mg/l

KO<sub>2</sub>= konsentrasi oksigen pada saat kecepatan pertumbuhan setengah dari maksimum, mg/l

Mikroba nitrifikasi adalah mikroba aerobik, oleh karena itu ketersediaan oksigen terlarut sangat dibutuhkan untuk menunjang kehidupannya. Kepekaan mikroba nitrifikasi terhadap rendahnya kadar oksigen terlarut merupakan salah satu sebab mikroba ini sulit aktif dan berkembang biak. Wild et.al yang dikutip dari Benefield (1980) mengatakan bahwa nitrifikasi akan berjalan dengan baik jika oksigen terlarut minimum adalah lebih besar dari 1 mg/l. Dari gambar 2.5 dapat dilihat oksidasi ammonium berlangsung pada kondisi oksigen terlarut kira-kira 1 mg/l.

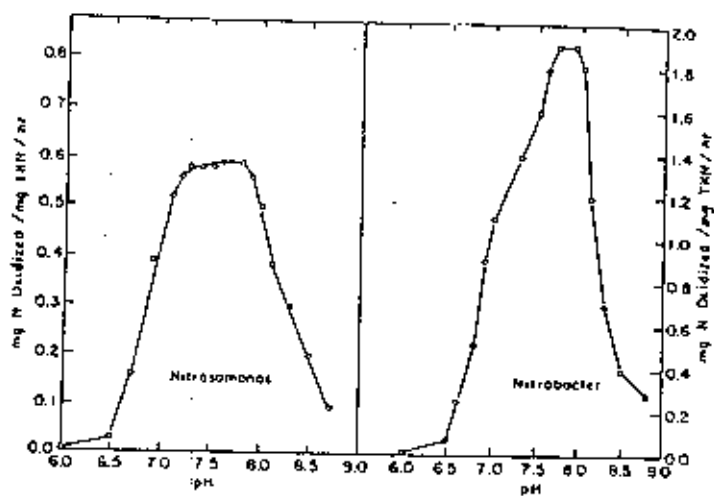


Gambar 2.5 Hubungan sisa Ammonia dan oksigen terlarut

Sumber: Benefield. 1980. *Biological Process Design for Wastewater Treatment*, halaman 223.

### 2.5.3.5 Pengaruh pH

Konsentrasi ion hidrogen (pH) pada umumnya memberikan pengaruh yang besar pada kecepatan nitrifikasi. Pada gambar 2.6 digambarkan hubungan antara pH dengan kecepatan nitrifikasi. Dari gambar tersebut terlihat bahwa aktivitas *Nitrosomonas* mencapai titik optimum pada pH antara 7 - 8, sedang pada pH yang lebih rendah dari 7 akan menurun, kemudian berhenti pada pH 6. Sedang aktifitas *Nitrobacter* akan mencapai optimum pada pH antara 7,7 - 8 dan akan berhenti pada pH 6.



Gambar 2.6 Pengaruh pH Terhadap Aktivitas bakteri *Nitrosomonas* dan *Nitrobacter* pada proses Nitrifikasi

Sumber: Grady. 1980. Biological Wastewater Treatment. halaman 792.

Menurut Downing yang dikutip dari Renzo (1978) mengatakan bahwa nitrifikasi akan berlangsung dengan baik pada pH 7,2 - 8. Sedang untuk pH dibawah 7,2 maka pengaruhnya terhadap pertumbuhan maksimum bakteri nitrifikasi dapat didekati dengan persamaan sebagai berikut:

$$\mu_N = \hat{\mu}_N (1 - 0,8333 (7,2 - \text{pH})) \quad (2-22)$$

Pada bagian terdahulu, pengaruh konsentrasi ammonia, temperatur, pH dan oksigen terlarut telah dijelaskan. Untuk Nitrifikasi, kombinasi kinetika untuk pertumbuhan bakteri nitrifikasi sebagai berikut:

$$\mu_N = \hat{\mu}_N \left[ \frac{N}{K_N + N} \right] \left[ \frac{DO}{KO_2 + DO} \right] (1 - 0,833(7,2 - \text{pH})) \quad (2-23)$$

dimana:  $\hat{\mu}_N$  = kecepatan pertumbuhan maksimum spesifik pada T dan pH

Menurut Downing, pengaruh temperatur, pH dan oksigen terlarut dimana pH < 7,2 dan temperatur antara 8 dan 30°C terhadap kecepatan pertumbuhan *Nitrosomonas* adalah sebagai berikut:

$$\begin{aligned} \mu_N = 0,47 & \left[ e^{0,098 (T - 15)} \right] \left[ 1 - 0,833 (7,2 - \text{pH}) \right] \\ & \times \left[ \frac{N}{N + 10^{0,051T - 1,158}} \right] \left[ \frac{DO}{DO + 1,3} \right] \end{aligned} \quad (2-24)$$

Kecepatan removal ammonia didasarkan pada persamaan-persamaan terdahulu dapat didefinisikan sebagai berikut:

$$q_N = \frac{\mu}{Y_N} = \hat{q}_N \left[ \frac{N}{K_N + N} \right] \left[ \frac{DO}{K_{O_2} + DO} \right] (1 - 0,833(7,2-\text{pH})) \quad (2-25)$$

#### 2.5.3.6 Pengaruh Beban Hidrolik

Beban hidrolik adalah salah satu parameter yang mempengaruhi efisiensi oksidasi nitrogen. Beban hidrolik akan berpengaruh pada waktu detensi, yaitu lamanya air limbah berada di dalam reaktor. Waktu detensi yang terlalu pendek akan memberikan efisiensi nitrifikasi yang rendah. Hal ini terjadi karena pertumbuhan bakteri autotrof cukup lambat, sehingga pada waktu yang singkat tersebut hanya sebagian kecil saja senyawa amonia yang dapat dioksidasi.

#### 2.5.3.7 Pengaruh Inhibitor Dalam Nitrifikasi

Hal lain yang tidak kalah pentingnya dalam nitrifikasi adalah kehadiran inhibitor, terutama yang berasal dari golongan logam berat dan senyawa-senyawa lain yang bersifat toksik terhadap bakteri nitrifikasi. Pada tabel 2.3 berikut dikemukakan senyawa-senyawa yang dapat menghambat nitrifikasi.

Tabel 2.3 Senyawa-senyawa inhibitor terhadap bakteri nitrifikasi

Compound	Conc. <sup>b</sup> mg/liter
Dodecylamine	<1
Aniline	<1
n-Methylaniline	<1
L-Naphthylamine	15
Ethylenediamine <sup>c</sup>	17
Naphthylethylenediamine diHCl	23
2,2'-Bipyridine	23
p-Nitroaniline	31
p-Aminopropiophenone	43
Benzidine diHCl	45
p-Phenylazoaniline	72
Hexamethylene diamine <sup>c</sup>	85
p-Nitrobenzaldehyde	87
Triethylamine	127
Ninhydrin	>100
Benzocaine	>100
Dimethylglyoxime	140
Benzylamine	>100
Tannic acid	>150
Monoethanolamine <sup>c</sup>	>200

<sup>a</sup> Data extracted from Hockenbury and Grady (26).

<sup>b</sup> Concentration giving approximately 50% inhibition.

<sup>c</sup> From the list of industrially significant chemicals (25).

Sumber: Grady, 1980. *Biological Wastewater Treatment*, halaman 795.

Menurut Beccari et.al (1979) yang dikutip dari Winkler (1981), kehadiran senyawa organik dapat memperlambat proses nitrifikasi. Ini dapat terjadi karena mikroorganisma heterotroph akan tumbuh pesat, sehingga saling berkompetisi dalam menggunakan oksigen terlarut.

Dalam sistem kombinasi karbon-nitrifikasi maupun dalam sistem separate stage nitrifikasi, kehadiran senyawa

organik dalam sistem pengolahan memungkinkan tumbuhnya bakteri heterotroph. Dalam situasi ini, yield bakteri heterotroph lebih besar dari autotroph. Karena mendominasi dalam media, bakteri heterotroph sangat membahayakan apabila kecepatan pertumbuhannya melebihi kecepatan pertumbuhan maksimum bakteri nitrifikasi. Jika ini terjadi maka pertumbuhan bakteri nitrifikasi akan berangsur-angsur berkurang. Kecepatan pertumbuhan maksimum bakteri autotroph berkisar 0,006/jam sampai dengan 0,035/jam. Dari angka tersebut terlihat bahwa pertumbuhan bakteri autotroph lebih lambat dibandingkan perumbuhan bakteri heterotroph yang kecepatan pertumbuhan maksimumnya berkisar antara 0,15/jam sampai 0,5/jam.

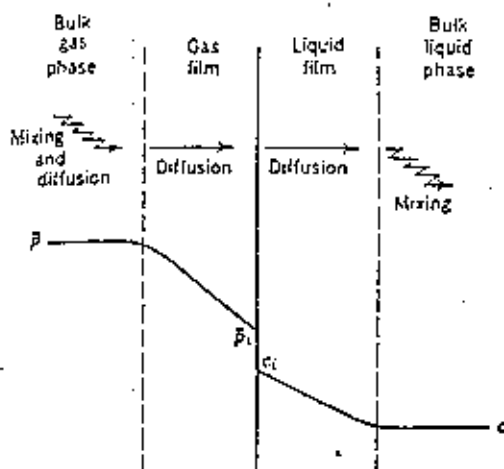
Pada konsentrasi tertentu senyawa Nitrogen ammonia sendiri dapat bersifat inhibitor pada bakteri nitrifikasi. Sherrad (1977) yang dikutip dari Blisse (1980) mengatakan bahwa senyawa ammonia dapat menghambat pertumbuhan bakteri pada konsentrasi di atas 150 mg/l. Sedangkan Loehr dan Srinath (1977), mengatakan bahwa pada konsentrasi 1000 mg/l senyawa ammonia baru bersifat toksik.

## 2.6 GAS TRANSFER

Semua zat terlarut cenderung untuk berdifusi melalui larutan sampai komposisi larutan menjadi homogen. Kecepatan dimana zat terlarut berdifusi melalui luas penampang media difusi yang seragam tergantung pada ukuran molekul dan bentuk dari pada molekul serta gradien konsentrasi dari zat terlarut. Proses difusi terjadi jika massa bergerak secara spontan dari daerah konsentrasi tinggi ke arah daerah konsentrasi rendah. Kecepatan difusi akan bertambah jika beda konsentrasi zat yang berdifusi pada dua area semakin besar.

Bila suatu zat yang mengandung gas terlarut dikontak intimkan dengan udara maka pada kondisi tertentu akan terjadi kesetimbangan yang diikuti dengan perpindahan gas dari phase cair ke udara. Proses perpindahan massa pada konsep ini akan terjadi secara reversible.

Suatu sketsa mekanisme perpindahan gas ditunjukkan pada gambar 2.7 berikut..



Gambar 2.7 Sketsa mekanisme perpindahan gas

Sumber: Rich. 1974. Unit Operation for Sanitary Engineering, halaman 172.

Pada gambar 2.7,  $P$  dan  $C$  merupakan tekanan parsial dan konsentrasi gas. Gambar ini menjelaskan perpindahan massa oksigen dari udara ke dalam air yang belum jenuh oleh oksigen. Melalui kombinasi proses pengadukan dan difusi, molekul oksigen dipindahkan dari phase gas ke permukaan bidang kontak dari gas film. Kemudian molekul-molekul oksigen berdifusi melintasi stagnant gas film ke permukaan kontak gas-gas-cair (liquid-gas interface) disini molekul oksigen terlarut ke stagnant liquid film ke bidang batas liquid film ke bulk liquid phase, dari sini oksigen terlarut ditransportasikan.

Kinetika aerasi dapat dinyatakan sebagai:

$$\frac{dC}{dt} = KLa (Cs - C) \quad (2-26)$$

dimana:  $C_s$  = konsentrasi kejenuhan oksigen

$C$  = konsentrasi oksigen aktual

$KLa$  = koefisien overall gas transfer

Setelah diintegralkan persamaan 2- 26 menjadi:

$$\ln \frac{Cs - Ct}{Cs - Co} = -KLa \cdot t \quad (2-27)$$

dimana:  $C_o$  dan  $C_t$  adalah konsentrasi pada saat awal dan pada waktu  $t$ .

Aerasi dengan sistem bubbling dilakukan dengan cara menginjeksikan udara langsung ke dalam suatu badan air. Di sini udara dilepaskan melalui alat distributor atau diffuser. Alat distributor pada aerasi sistem ini bisa berbentuk :

- Porous Ceramic Tube
- Pipa berlubang
- Jet diffuser
- dan lain-lain.

Banyak faktor yang mempengaruhi nilai koefisien perpindahan massa pada sistem bubbling. Diantaranya adalah variabel-variabel utama meliputi :

- Diameter gelembung udara

- Kecepatan kenaikan gelembung udara
- Tenaga yang diperlukan untuk menginjeksikan udara
- Type distributor udara
- Dimensi bak aerasi
- Komponen-komponen penyebab reaksi kimia

Diameter gelembung udara mempengaruhi luas bidang kontak persatuan volume air dan koefisien perpindahan massa. Luasan bidang kontak sangat tergantung pada berapa besar jumlah dan ukuran dari gelembung udara yang disuplai. Ukuran diameter gelembung udara sangat tergantung kecepatan gas di dalam orifice dan diameter orifice. Semakin kecil diameter gelembung udara yang dihasilkan dalam satuan volume udara yang sama maka akan memberikan luas bidang kontak yang berbeda. Variasi diameter gelembung udara yang dihasilkan akan memberikan nilai koefisien perpindahan massa ( $kL$ ). Nilai  $kL$  tergantung pada rigiditas dari gelembung udara yang dihasilkan dan kecepatan relatifnya dalam air.

## BAB III

### METODOLOGI PENELITIAN

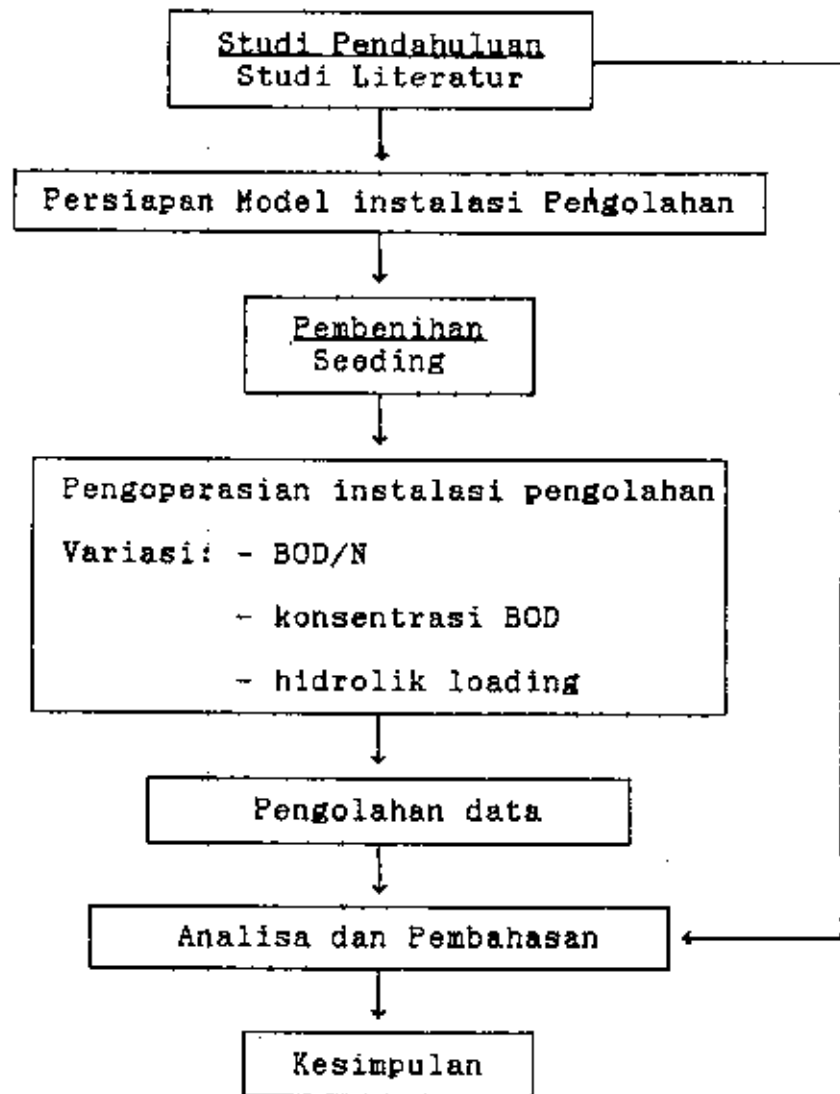
#### 3.1 UMUM

Metodologi penelitian adalah tahapan-tahapan yang dilakukan untuk mencapai tujuan penelitian. Metoda Penelitian disusun untuk mempermudah dalam pelaksanaan penelitian, memperkecil tingkat kesalahan dan untuk mengevaluasi terhadap suatu yang telah dilaksanakan dalam penelitian.

Tahapan-tahapan yang dilakukan dalam penelitian ini meliputi studi pustaka, pembuatan dan persiapan model instalasi skala laboratorium, pemberian, pengoperasian instalasi, hasil pengamatan dan pengolahan data, pembahasan serta kesimpulan. Pada bab ini dijelaskan mengenai tahapan-tahapan tersebut.

#### 3.2 KERANGKA PENELITIAN

Kerangka penelitian adalah diagram alir yang dapat menggambarkan metoda penelitian yang dilakukan. Kerangka penelitian yang digunakan dalam penelitian ini adalah sebagai berikut:



Gambar 3.1 Kerangka Penelitian

Kerangka penelitian tersebut dapat diuraikan sebagai berikut:

1. Studi pustaka terhadap permasalahan yang diteliti, baik mengenai teori, pendekatan matematis maupun

hasil-hasil percobaan para peneliti yang pernah dilakukan sebelumnya.

2. Persiapan model instalasi pengolahan yang meliputi pembuatan instalasi dan analisa ayakan terhadap media yang digunakan.
3. Pelaksanaan penelitian di laboratorium yang meliputi pemberian dan pengoperasi instalasi dengan melakukan variasi terhadap BOD/N, konsentrasi BOD, dan hidraulik loading serta menganalisa parameter yang akan diteliti.
4. Pengolahan data hasil percobaan, dengan menggunakan metoda statistik, yaitu:
  - a. Statistik deskritif, yaitu metoda untuk mengumpulkan, mengolah dan menyajikan data ke dalam bentuk tabel dan grafik. Metoda statistik yang digunakan untuk mengolah data adalah rata-rata hitung.
  - b. Statistik inferens, yaitu metoda statistik yang digunakan untuk menarik kesimpulan berdasarkan data yang diperoleh.
5. Analisa dan pembahasan, merupakan tahapan menganalisa dan membahas data ataupun grafik yang diperoleh.

6. Kesimpulan, merupakan tahapan untuk menarik kesimpulan dari analisa dan pembahasan.

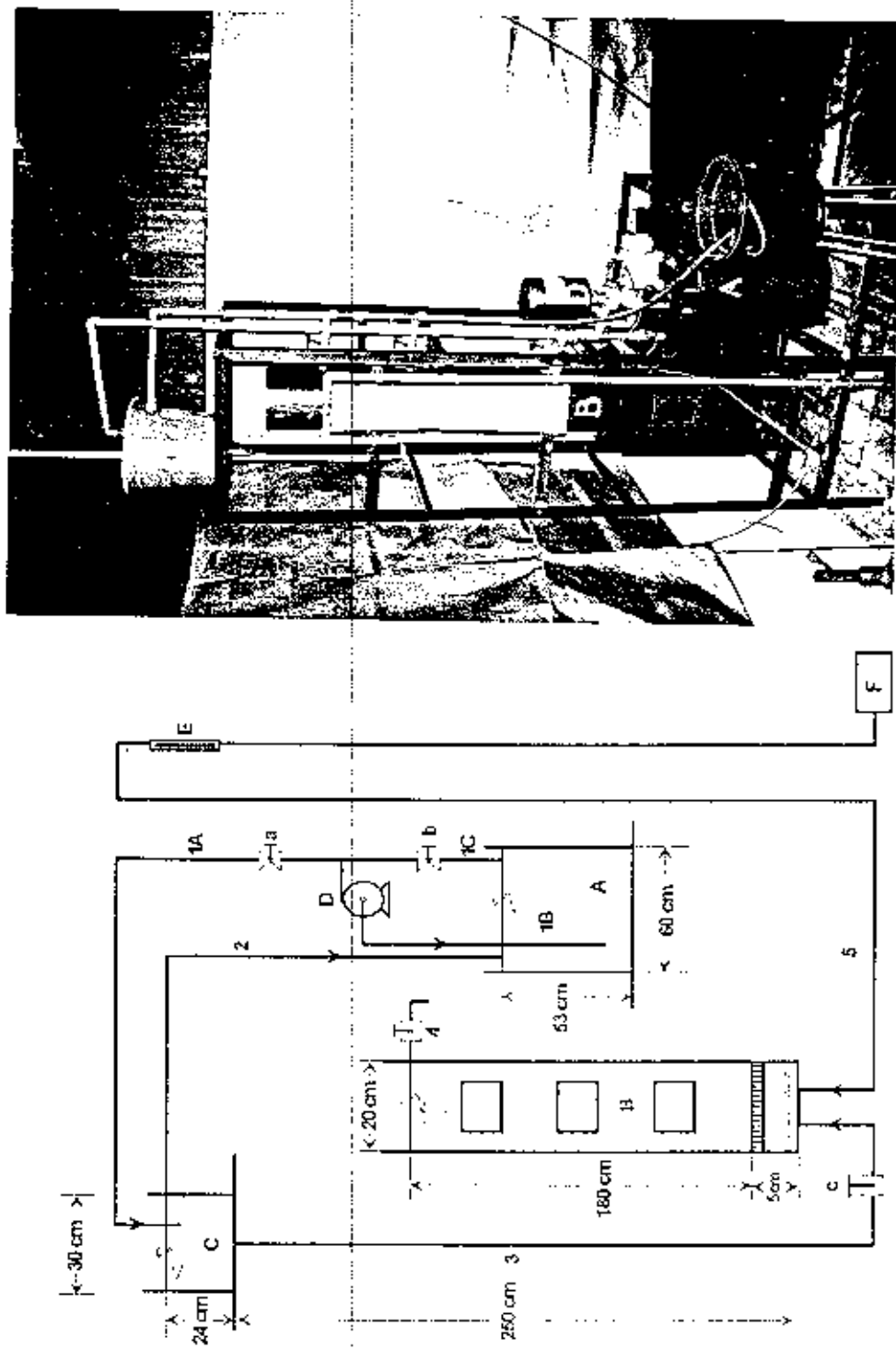
### 3.3 MODEL INSTALASI PENGOLAHAN

Model instalasi pengolahan yang dipakai untuk menurunkan senyawa nitrogen ammonia menggunakan reaktor yang berbentuk tabung yang diisi dengan media kerikil berdiameter 1 cm untuk tempat tumbuh bakteri. Pada bagian bawah reaktor biofilm ini terdapat perforated plate yang digunakan untuk meratakan aliran.

Kebutuhan udara untuk bakteri disuplai dari kompresor dimana pengaturan debit udaranya dilakukan dengan memasang rotameter. Sistem aerasi yang digunakan untuk mensuplai udara yaitu sistem bubbling, udara diinjeksikan langsung ke reaktor yang ada bercampur dengan air limbah buatan. Di sini udara dilepaskan melalui alat distributor atau diffuser yang berbentuk porous ceramic tube. Porous ceramic tube yang digunakan berbentuk lingkaran dan diletakkan di dasar tabung.

Operasional model instalasi ini yaitu air limbah buatan dari bak A dipompa ke bak C melalui pipa la yang berdiameter 3/4 inch. Untuk menjaga ketinggian air agar tetap konstan, pada bak C terdapat pipa over flow (2) ke

bak A. Untuk membuang kelebihan air dari pipa discharge karena valve (a) dibuka maksimum digunakan pipa by pass (1c). Ini dimaksudkan agar pompa dapat bekerja sesuai dengan daya hisap minimurnya. Dari bak C air dialirkan secara gravitasi melalui pipa 3 yang berdiameter 3/4 inch. Valve c digunakan untuk mengatur debit influen yang dikehendaki. Secara bersamaan udara dialirkan dari kompresor, melewati rotameter (E) untuk mengukur debit dan mengatur debit udara yang masuk. Kalibrasi rotameter dapat dilihat pada lampiran. Udara dan air secara searah (co current) dari bagian bawah reaktor kemudian melewati perforated plate yang berfungsi untuk memeratakan aliran air dan udara melewati media kerikil. Effluen air limbah yang diolah kemudian keluar melalui pipa 4. Model instalasi pengolahan skala laboratorium ini dapat dilihat pada gambar 3.2.



Gambar 3.2. Model instalasi pengolahan skala laboratorium

Keterangan gambar 3.2:

A : Bak pencampuran air limbah buatan

B : Reaktor biofilm

C : Bak tempat menampung air limbah yang dipompa dari A

D : Pompa

E : Rotameter

F : Kompresor

1a: pipa discharge 3/4"

1b: pipa suction 3/4"

1c: pipa bypass 3/4"

2 : pipa overflow 3/4"

3 : pipa influen 3/4"

5 : saluran udara 3/8"

Karakteristik instalasi pengolahan skala laboratorium dapat dilihat pada tabel berikut.

Tabel 3.1 Karakteristik instalasi pengolahan

<b>I. KARAKTERISTIK BAHAN</b>	
1. Bahan reaktor	PVC
2. Bahan bak feeding/makanan	plastik
3. Media bakteri	kerikil
4. Diameter media	1 cm
<b>II. KARAKTERISTIK DIMENSIONAL</b>	
1. Diameter reaktor	20 cm
2. Tinggi reaktor	200 cm
3. Tinggi media	180 cm

### 3.4 KOMPOSISI AIR LIMBAH YANG DIOLAH

Air buangan yang digunakan adalah air limbah buatan yang komposisinya disesuaikan dengan air limbah domestik. Sumber organik karbon digunakan glukosa, nitrogen dari  $(\text{NH}_4)_2\text{CO}_3$  dan phospor dari  $\text{KH}_2\text{PO}_4$ . Sedangkan nutrien-nutriennya digunakan  $\text{MgSO}_4 \cdot 7\text{H}_2\text{O}$ ,  $\text{CaCl}_2 \cdot 2\text{H}_2\text{O}$  dan  $\text{FeCl}_3$  yang tujuannya untuk menunjang pertumbuhan mikroorganisma. Komposisi air limbah yang diolah dapat dilihat pada

tabel berikut.

Tabel 3.2 Komposisi Air Limbah Yang Diolah

BOD/N	Konsentrasi BOD (mg/l)	Konsentrasi N (mg/l)
100:50	200	100
	350	175
	500	250
100:20	200	40
	350	70
	500	100
100:10	200	20
	350	35
	500	50
100:5	200	10
	350	17,5
	500	25

### 3.5 PELAKSANAAN PENELITIAN

#### 3.5.1 Seeding (Pembenihan)

Tujuan dari proses seeding ini adalah untuk membenihkan suatu populasi mikroorganisme agar dapat membentuk suatu lapisan biofilm sehingga mampu mengoksidasi kandungan nitrogen ammonia yang terdapat dalam air limbah buatan yang diolah. Proses ini merupakan proses pembibitan sehingga makanan dan kondisi lingkungan hidup mikroorganisme perlu diperhatikan. Pada proses seeding mikroorganisme memerlukan nutrien organik maupun anorganik yang memadai.

## 3. Oksigen Terlarut (DO) effluen &gt; 2 mg/L

TABEL 3.3 KONDISI OPERASIONAL REAKTOR

SODA	Konsentrasi BOD <sub>5</sub> (mg/l)	Konsentrasi NH <sub>3-N</sub> (mg/l)	Volume Reaksi (m <sup>3</sup> /m <sup>2</sup> /har)	DO-H <sub>2</sub> O (mg/l)
2	200	100	5	1.85
2	250	175	5	1.85
2	500	250	5	1.85
5	200	40	5	1.85
5	350	70	5	1.85
5	500	100	5	1.85
10	200	20	5	1.85
10	350	35	5	1.85
10	500	50	5	1.85
20	200	10	5	1.85
20	350	17.5	5	1.85
20	500	25	5	1.85
<hr/>				
2	200	100	7	2.60
2	250	175	7	2.60
2	500	250	7	2.60
5	200	40	7	2.60
5	350	70	7	2.60
5	500	100	7	2.60
10	200	20	7	2.60
10	350	35	7	2.60
10	500	50	7	2.60
20	200	10	7	2.60
20	350	17.5	7	2.60
20	500	25	7	2.60
<hr/>				
2	200	100	10	3.70
2	250	175	10	3.70
2	500	250	10	3.70
5	200	40	10	3.70
5	350	70	10	3.70
5	500	100	10	3.70
10	200	20	10	3.70
10	350	35	10	3.70
10	500	50	10	3.70
20	200	10	10	3.70
20	350	17.5	10	3.70
20	500	25	10	3.70

### 3.5.3 Parameter Yang Dikontrol

Selama reaktor dioperasikan dilakukan pengamatan terhadap beberapa parameter yaitu:

#### 1. pH

Proses nitrifikasi sangat peka terhadap perubahan pH, maka perlu dilakukan pengontrolan pH. Nilai pH didalam air limbah buatan adalah antara 7 - 8. Jika nilai pH kurang sesuai ditambahkan  $\text{Na}_2\text{CO}_3$ . Pemeriksaan pH ini dilakukan dengan pH-meter.

#### 2. Oksigen terlarut

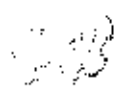
Pengontrolan oksigen terlarut ini dilakukan setiap dua jam sekali dengan menggunakan botol Winkler. Debit udara yang dialirkan ke dalam reaktor untuk memenuhi kebutuhan udara mikroorganisme konstan yaitu 2.2 l/menit. ✓

#### 3. Debit

Pengontrolan debit dilakukan untuk menjaga waktu detensi agar tetap konstan. Dilakukan dengan stop watch dan gelas ukur.

#### 4. Temperatur

Temperatur reaktor pada percobaan laboratorium berkisar temperatur kamar. Pengukuran temperatur dilakukan dengan menggunakan termometer.



### 3.5.4 PARAMETER YANG DIANALISA

#### 3.5.4.1 Pemeriksaan Permanganat Value (PV)

Pemeriksaan terhadap PV dilakukan untuk mengetahui keadaan steady state pada kondisi percobaan yang dilakukan sebelum dilakukan sampling, juga untuk mengetahui angka pengenceran terhadap pemeriksaan BOD. Pemeriksaan dilakukan sesuai dengan prosedur pada Standard Methode. Cara Kerja dapat dilihat dilampiran.

#### 3.5.4.2 BOD (Biological Oxygen Demand)

BOD adalah banyaknya oksigen yang dibutuhkan oleh mikroorganisma untuk menstabilisasi substrat organik secara biokimia dalam keadaan aerobik. Pemeriksaan terhadap BOD ini dilakukan pada awal setiap variasi yang dilakukan untuk mengetahui konsentrasinya.

Reaksi penggunaan oksigen tersebut secara lengkap selama 20 hari dalam temperatur  $20^{\circ}\text{C}$ , namun berdasarkan percobaan diketahui bahwa prosentase terbesar dari total BOD terjadi dalam 5 hari, sehingga untuk memudahkan penetapan umumnya dilakukan pemeriksaan BOD<sub>5</sub> (BOD 5 hari). Prosedur pemeriksannya sesuai dengan Standard Methode. Cara kerja dapat dilihat pada lampiran.

### 3.5.4.3 Analisa Ammonium ( $\text{NH}_4^+$ )

Pemeriksaan terhadap ammonium dilakukan untuk mengetahui sejauh mana penurunan ammonium dalam proses ini. Pemeriksaan ammonium dilakukan dengan metoda Nessler. Sampel yang mengandung ammonium apabila ditambahkan garam signeit dan larutan nessler akan menghasilkan warna orange yang dapat dideteksi dengan spektrofotometer pada panjang gelombang 420 nm. Hasil pembacaan skala absorbans ini diplotkan pada kurva standard ammonium. Cara kerja dan perhitungan dapat dilihat pada lampiran.

### 3.5.4.4 Analisa Nitrit dan Nitrat

Pada proses nitrifikasi ammonium akan dioksidasi menjadi nitrit dan nitrat. Pemeriksaan terhadap nitrit dilakukan dengan menambahkan asam sulfanilat dan NED dihidrochloride sehingga larutan akan berwarna merah muda. Pembacaan dilakukan dengan spektrofotometer panjang gelombang 540 nm. Sedangkan pemeriksaan terhadap nitrat dilakukan dengan menambahkan brucin acetat dan asam sulfat pekat sehingga larutan berwarna kuning. Warna yang timbul dideteksi pada panjang gelombang 400 nm. Cara kerja dan perhitungan dapat dilihat pada lampiran.

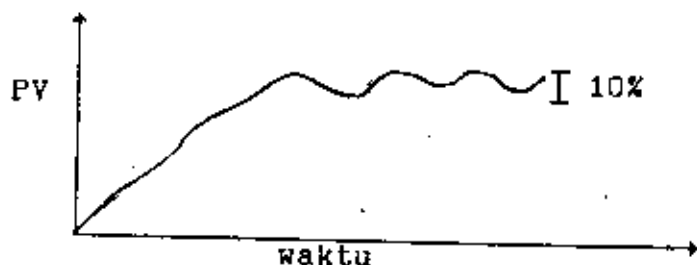
### 3.5.4.5 Analisa MLVSS (Mixed Liquor Suspended Solid)

Pemeriksaan VSS sebagai zat padat tersuspensi organik, dilakukan untuk mengetahui konsentrasi mikroorganisma yang terlepas dari permukaan media (sloughing) dalam effluen air limbah yang diolah. Pemeriksaan VSS dilakukan dengan cara pemisahan zat tersuspensi dari larutannya dengan menggunakan kertas saring serta pemanasan pada suhu  $550^{\circ}\text{C}$ . Cara kerja dan perhitungan dapat dilihat pada lampiran.

## 3.6 METODA SAMPLING

Sampling dilakukan apabila kondisi operasional sudah mencapai *steady state*. Keadaan steady state tercapai bila kemampuan pengolahan dari sistem mempunyai nilai konstan. Keadaan tersebut diketahui berdasarkan pemeriksaan PV (permanganat value) pada influen dan effluen setiap dua jam sehingga diperoleh angka pengolahan yang konstan dengan fluktuasi removal kurang dari 10%.

Keadaan kondisi stedy state menggunakan parameter PV dapat digambarkan sebagai berikut:



Gambar 3.3 Kurva keadaan steady state

### 3.7 ANALYTICAL QUALITY CONTROL

Analytical Quality Control (AQC) merupakan suatu kontrol analisa kuantitatif untuk menjamin ketepatan (akurasi) dan ketelitian (presisi) dari data hasil suatu pengukuran. Akurasi merupakan perbedaan antara nilai rata-rata beberapa hasil pengukuran dengan nilai pengukuran yang sebenarnya. Sedangkan presisi berhubungan dengan penyebaran data-data pengukuran yang dihasilkan terhadap nilai rata-rata pengukurannya, dinyatakan sebagai nilai standard deviasi.

AQC berfungsi untuk menghindari kesalahan-kesalahan, antara lain:

- Operasional, seperti kesalahan dalam melaksanakan prosedur analisa yang benar.
- Personal, seperti keterbatasan kondisi fisik seorang analis atau kebiasaan kerja yang ceroboh.

- Peralatan dan reagen, seperti kegagalan peralatan mencapai keseimbangan dan kemurnian zat kimia yang ada.

Ada dua jenis AQC, yaitu eksternal AQC yang bertujuan untuk melihat ketelitian dan ketepatan analisa antar laboratorium dan internal AQC yang bertujuan untuk mengetahui ketelitian dan ketepatan seorang analis. Pada penelitian ini dilakukan internal AQC untuk setiap parameter yang dianalisa. Analisa kontrol kualitas yang telah dilakukan di laboratorium secara lengkap ada pada lampiran.

## B A B   IV

### HASIL PENELITIAN DAN PEMBAHASAN

#### 4.1   UMUM

Pada bab ini disajikan hasil penelitian dan analisa terhadap data yang diperoleh pada penelitian yang telah dilaksanakan, yang menyangkut:

- Pengaruh perbandingan BOD/N terhadap removal N-NH<sub>4</sub><sup>+</sup>
- Pengaruh konsentrasi BOD terhadap removal N-NH<sub>4</sub><sup>+</sup>
- Pengaruh hidrolik loading terhadap removal N-NH<sub>4</sub><sup>+</sup>.

Data hasil penelitian disajikan dalam bentuk tabel dan grafik kemudian dilakukan pembahasan terhadap pengaruh perbandingan BOD/N, konsentrasi BOD dan hidrolik loading terhadap removal N-NH<sub>4</sub><sup>+</sup>. Sedangkan analisa oksigen terlarut dan MLVSS digunakan untuk menunjang data hasil penelitian dalam reaktor biofilm aerobik.

Proses nitrifikasi yang berlangsung dalam reaktor biofilm ini bersamaan dengan pengurangan senyawa organik karbon (combined carbon oxidation-nitrification process). Sehingga dalam hal ini konsentrasi influen dari air limbah buatan, baik itu konsentrasi BOD maupun N-NH<sub>4</sub><sup>+</sup> sangat mempengaruhi terjadinya removal N-NH<sub>4</sub><sup>+</sup>.

Dari hasil penelitian yang telah dilakukan, dengan variasi terhadap parameter penelitian diketahui bahwa dalam reaktor terjadi proses nitrifikasi. Hal ini dapat diketahui dengan menurunnya konsentrasi N-NH<sub>4</sub><sup>+</sup> serta terbentuknya nitrit dan nitrat (NO<sub>x</sub>) sebagai hasil konversi dari proses nitrifikasi. Akan tetapi penurunan konsentrasi N-NH<sub>4</sub><sup>+</sup> tidak semuanya karena proses nitrifikasi tetapi juga karena sebagian N-NH<sub>4</sub><sup>+</sup> digunakan untuk sintesa sel.

Removal N-NH<sub>4</sub><sup>+</sup> pada reaktor ini dengan hidrolik loading 5 m<sup>3</sup>/(m<sup>2</sup>.hari) berkisar 69,74% sampai dengan 96,40%. Untuk hidrolik loading 7 m<sup>3</sup>/(m<sup>2</sup>.hari), removal N-NH<sub>4</sub><sup>+</sup> berkisar antara 63,45% sampai dengan 83,33%. Sedang untuk hidrolik loading 10 m<sup>3</sup>/(m<sup>2</sup>.hari), removal N-NH<sub>4</sub><sup>+</sup> berkisar antara 54,68% sampai dengan 68,05%. Removal N-NH<sub>4</sub><sup>+</sup> yang tertinggi dicapai pada hidrolik loading 5 m<sup>3</sup>/m<sup>2</sup>.hari dengan konsentrasi BOD influen 225,89 mg/l dan konsentrasi nitrogen 43,35 mg/l.

Variasi perbandingan BOD/N dan konsentrasi BOD yang dilakukan memberikan removal N-NH<sub>4</sub><sup>+</sup> yang bervariasi pula, hal ini berhubungan erat dengan kesempatan bagi bakteri yang berperan pada nitrifikasi untuk tumbuh dalam sistem pengolahan tersebut dalam persaingannya dengan bakteri heterotroph memperoleh oksigen untuk kelangsungan hidup.

Secara keseluruhan removal N-NH<sub>4</sub><sup>+</sup> yang baik berada pada variasi BOD/N 5-10 dan konsentrasi BOD 200-350 mg/l.

#### 4.2 PENGARUH PERBANDINGAN BOD/N TERHADAP REMOVAL N-NH<sub>4</sub><sup>+</sup>

Reaktor yang digunakan pada penelitian ini di samping digunakan untuk penurunan kandungan organik karbon juga digunakan untuk penurunan kandungan nitrogen. Pada sistem ini bakteri heterotroph dan autotroph bekerja secara bersama-sama. Bakteri heterotroph merupakan mikroorganisma yang memperoleh energinya dari oksidasi organik karbon sedangkan bakteri autotroph memperoleh energinya dari oksidasi senyawa anorganik.

Variasi komposisi BOD:N:P yang digunakan pada penelitian ini adalah 100:50:1, 100:20:1, 100:10:1 dan 100:5:1 (BOD/N = 2, 5, 10 dan 20). Sedangkan konsentrasi substrat yang diberikan sebesar 200 mg/l, 350 mg/l dan 500 mg/l untuk mewakili konsentrasi substrat rendah, sedang dan tinggi. Removal N-NH<sub>4</sub><sup>+</sup> pada beberapa kondisi yang ada secara lengkap dapat dilihat pada tabel 4.1.

Pada setiap variasi BOD/N yang dilakukan, konsentrasi BOD tetap sedangkan konsentrasi nitrogen ammonia (N-NH<sub>4</sub><sup>+</sup>) berubah-ubah. Dari grafik 4.1 sampai 4.3, dapat dilihat bahwa dari perbandingan BOD/N sama dengan 2 ke BOD/N sama

dengan 5 terjadi peningkatan removal, kemudian untuk BOD/N lebih besar dari 5 removal N-NH<sub>4</sub><sup>+</sup> menurun lagi.

Sehingga dari grafik tersebut dapat diketahui bahwa pada konsentrasi BOD yang sama, perbandingan BOD/N sama dengan 20 (konsentrasi N-NH<sub>4</sub><sup>+</sup> rendah) belum tentu removal N-NH<sub>4</sub><sup>+</sup> lebih baik bila dibandingkan dengan BOD/N lebih kecil 20 (konsentrasi N-NH<sub>4</sub><sup>+</sup> tinggi). Hal ini dapat disebabkan pada perbandingan BOD/N yang tinggi, kecepatan mengoksidasi N-NH<sub>4</sub><sup>+</sup> tidak dapat maksimum karena konsentrasi N-NH<sub>4</sub><sup>+</sup> rendah sehingga kecepatan difusi ke dalam biofilm lebih lambat. Dengan semakin tinggi konsentrasi N-NH<sub>4</sub><sup>+</sup> maka difusi N-NH<sub>4</sub><sup>+</sup> ke dalam biofilm akan semakin cepat sehingga kecepatan mengoksidasi N-NH<sub>4</sub><sup>+</sup> dapat maksimum dan dapat meningkatkan removal N-NH<sub>4</sub><sup>+</sup>.

Menurut Sawyer yang dikutip oleh Renzo (1980), dengan rendahnya perbandingan BOD/N dapat meningkatkan kecepatan nitrifikasi. Akan tetapi untuk perbandingan BOD/N lebih kecil dari 3, sebaiknya digunakan sistem sperate state nitrifikasi.

Dari hasil percobaan untuk perbandingan BOD/N sama dengan 2, removal N-NH<sub>4</sub><sup>+</sup> menurun. Hal ini dapat disebabkan karena konsentrasi N-NH<sub>4</sub><sup>+</sup> influen yang ada dalam air limbah terlalu tinggi sehingga antara beban yang

diberikan dengan kecepatan untuk mengoksidasi substrat tidak seimbang. Dengan demikian bertambahnya konsentrasi akan mengakibatkan effluen pengolahan air limbah makin bertambah buruk. Selain itu dapat juga disebabkan karena kecepatan difusi oksigen ke dalam biofilm tidak sebanding dengan kecepatan difusi  $N-NH_4^+$ .

Kecepatan difusi oksigen dan substrat ke dalam biofilm tergantung pada konsentrasi dalam phase cair dan kondisi aliran. Pada konsentrasi yang tinggi kecepatan difusi substrat semakin cepat. Sehingga dapat terjadi kecepatan difusi substrat lebih cepat dari pada kecepatan difusi oksigen untuk metabolisma aerobik dimana ketebalan slime yang aktif ditentukan oleh kedalaman penetrasi oksigen. Sehingga agar terjadi removal yang optimum selain dipengaruhi oleh kecepatan difusi substrat, kecepatan penggunaan substrat oleh mikroorganisme, juga dipengaruhi oleh kecepatan difusi oksigen.

Apabila kecepatan pertumbuhan bakteri mencapai maksimum, sehingga lapisan biofilm semakin tebal tidak berarti efisiensi pengolahan akan semakin baik, karena efisiensi pengolahan ditentukan juga oleh penetrasi oksigen. Penetrasi oksigen ke dalam biofilm ditentukan oleh koefisien difusi oksigen dalam film, konsentrasi oksigen

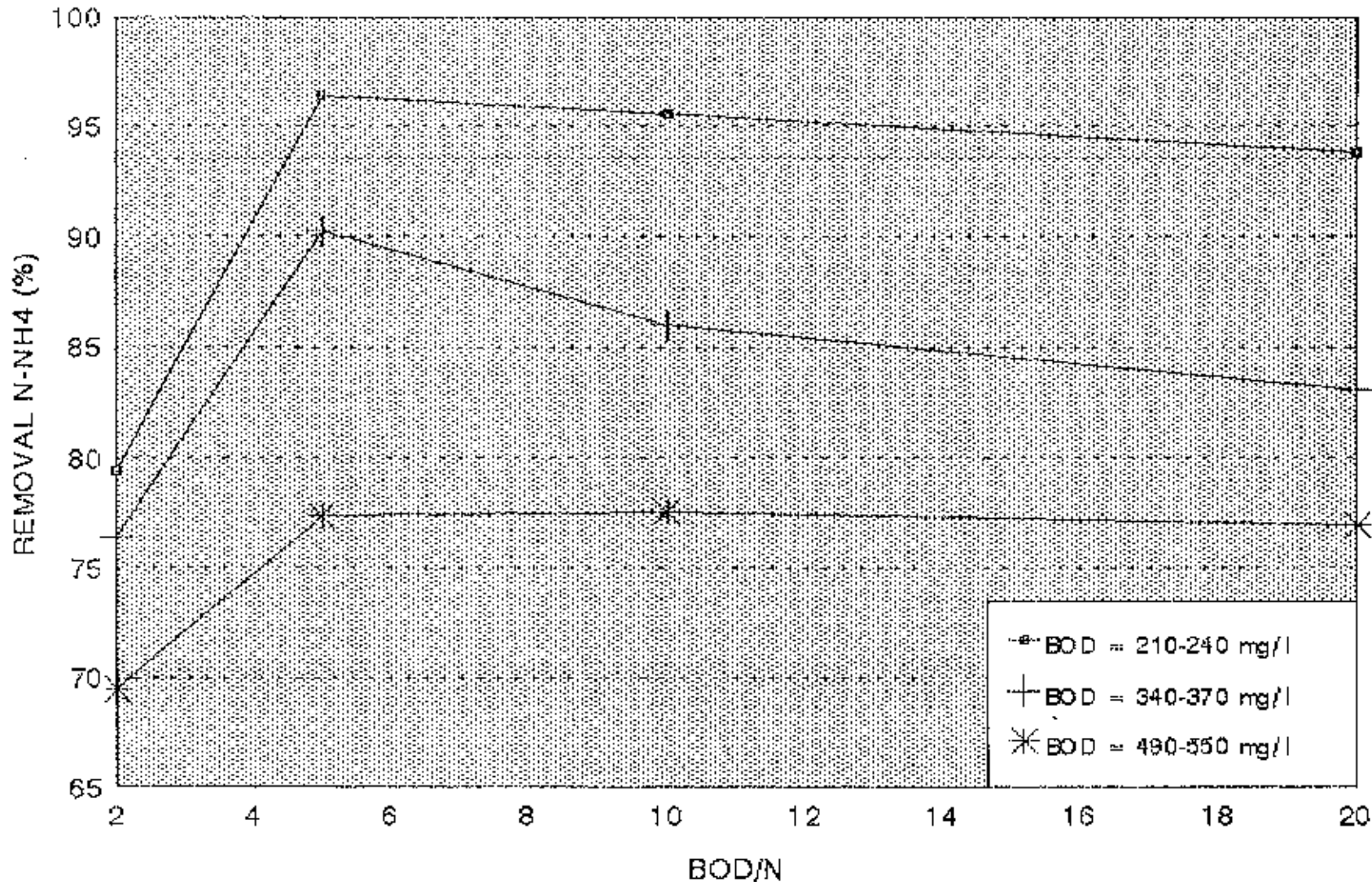
serta kecepatan penggunaan oksigen oleh mikroorganisma dan kecepatan aliran.

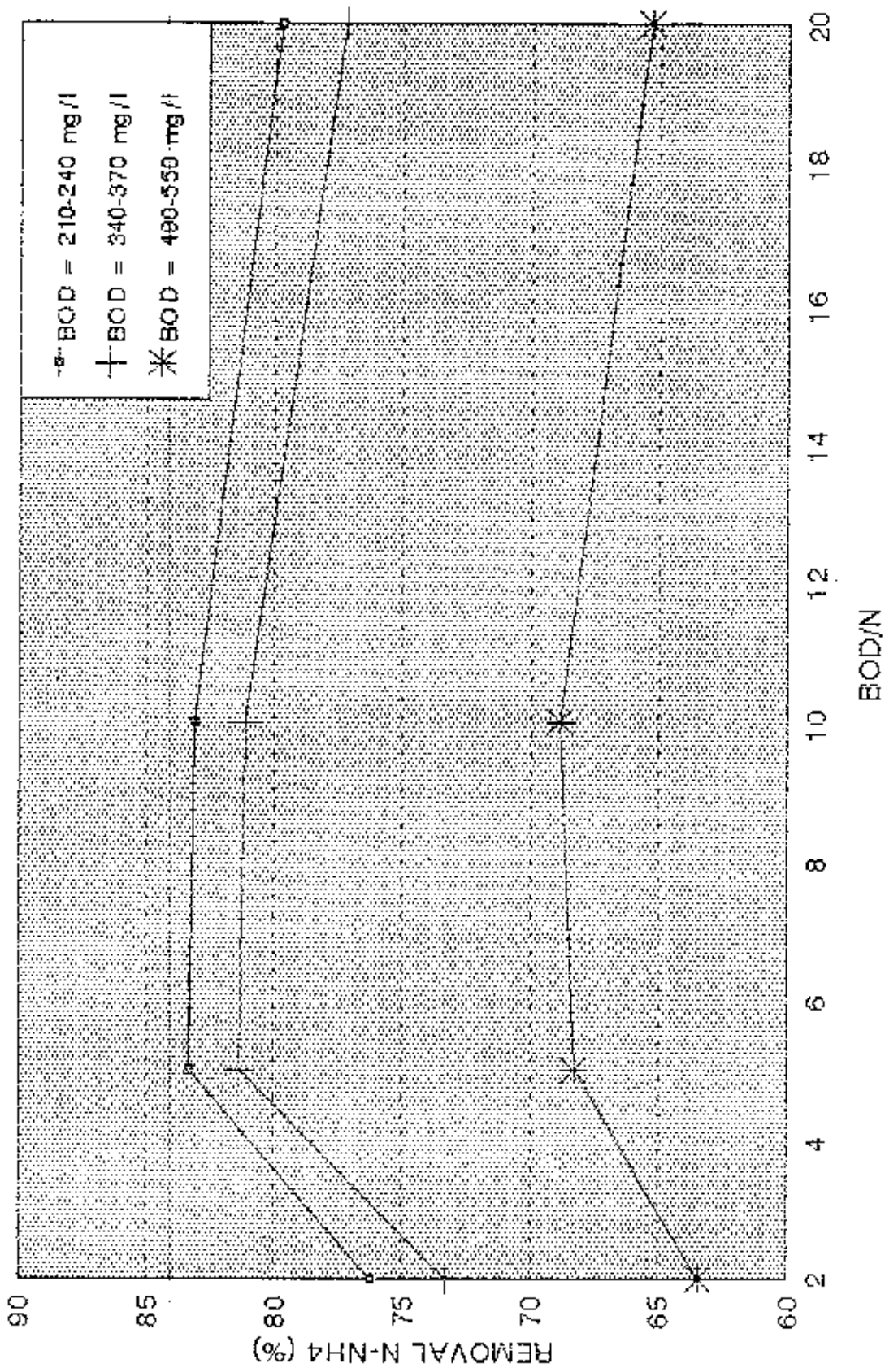
Dari hasil keseluruhan, removal N-NH<sub>4</sub><sup>+</sup> yang baik pada kondisi BOD/N antara 5 sampai 10 dan konsentrasi BOD antara 200 sampai 350 mg/l. Sedangkan removal tertinggi N-NH<sub>4</sub><sup>+</sup> adalah 96,40%, yaitu pada konsentrasi BOD influen sebesar 225,89 mg/l dengan konsentrasi N-NH<sub>4</sub><sup>+</sup> influen sebesar 43,35 mg/l dan pada hidrolik loading 5 m<sup>3</sup>/(m<sup>2</sup>.hari).

ABEL 4.1 PENGARUH BOD/N TERHADAP REMOVAL N-NH4

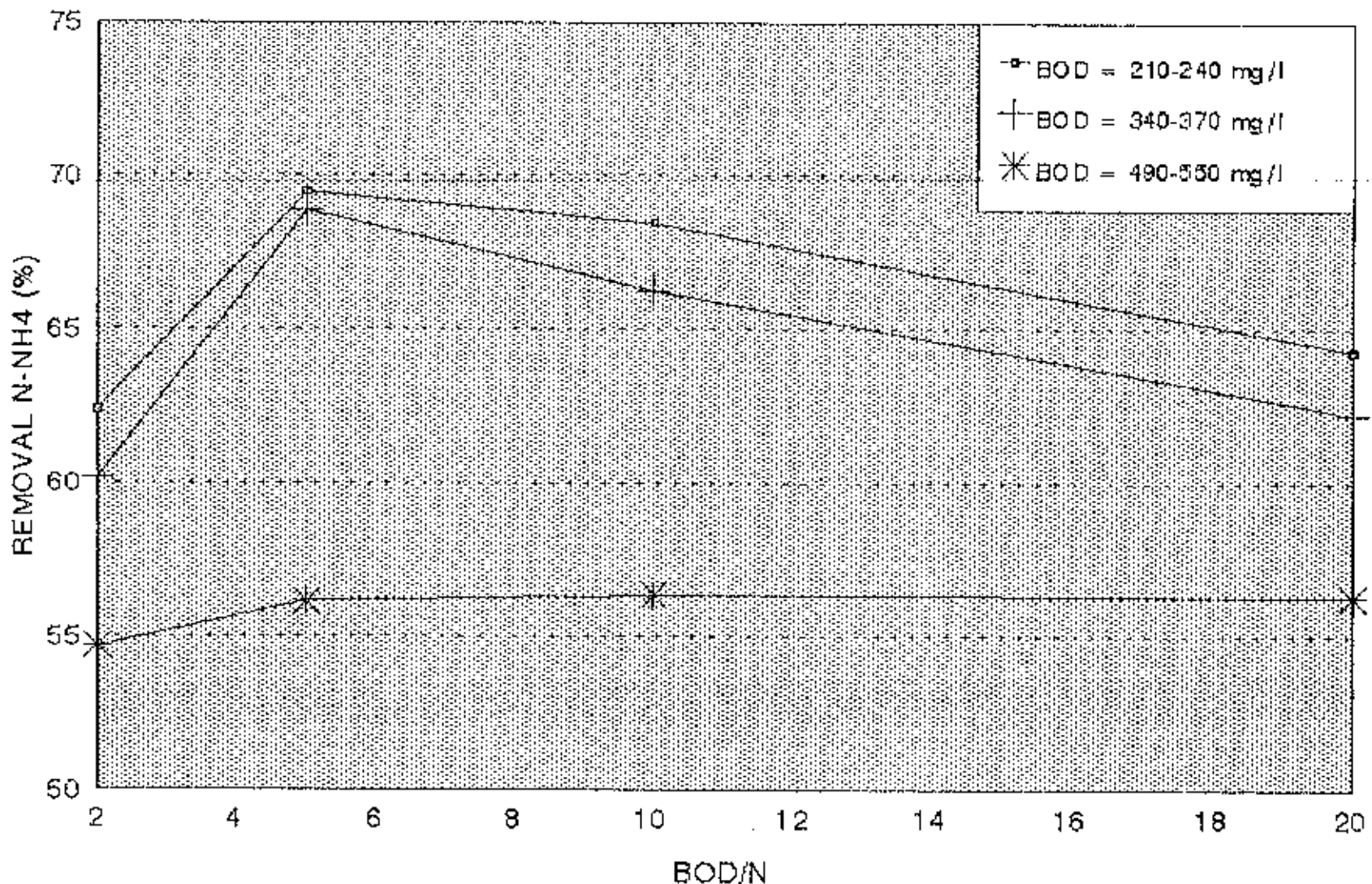
MIXING LOADING (mg/m3 Hari)	KONTRAKTAN		BOD/N	KONTRAKTAN		PERMOB N-NH4 (%)	N-NH3 (%)
	BOD Influens (mg/l)	N-NH4 influens (mg/l)		N-NH4 effluent (mg/l)	Permo N-NH4 (%)		
5.00	215.25	10.48	20.54	0.85	93.80	1.23	
5.00	232.93	22.97	10.14	1.02	95.58	13.18	
5.00	225.89	43.35	5.21	1.56	96.40	38.25	
5.00	233.81	114.17	2.05	23.50	79.42	82.78	
5.00	354.58	17.54	20.22	2.97	83.07	2.08	
5.00	362.40	35.45	10.22	4.97	85.88	14.87	
5.00	356.12	60.87	5.87	5.85	80.24	40.28	
5.00	366.07	165.59	2.20	38.08	78.40	80.24	
5.00	525.96	28.15	20.11	6.03	78.84	3.58	
5.00	510.73	50.40	10.13	11.32	77.54	18.24	
5.00	504.78	90.73	5.58	20.54	77.36	42.25	
5.00	495.85	232.40	2.13	70.92	69.48	95.29	
7.00	261.33	11.18	20.69	2.27	79.70	0.54	
7.00	213.27	19.58	10.89	3.30	83.15	7.72	
7.00	258.79	43.50	5.51	7.25	83.33	26.36	
7.00	195.66	99.85	1.99	23.73	78.23	87.27	
7.00	345.25	16.45	20.99	3.34	79.70	1.54	
7.00	339.21	30.16	11.24	5.69	81.15	11.37	
7.00	360.22	72.43	4.97	13.51	81.35	30.43	
7.00	355.89	178.53	1.99	47.62	73.33	70.34	
7.00	531.27	25.31	20.99	8.74	65.47	1.98	
7.00	514.27	49.37	10.42	15.37	88.87	12.34	
7.00	493.12	98.41	5.11	30.58	88.30	32.21	
7.00	532.70	250.16	2.13	91.43	83.45	72.23	
10.00	221.43	10.61	20.87	3.78	84.28	0.53	
10.00	196.25	19.02	10.42	6.00	88.45	8.76	
10.00	210.80	38.53	5.47	11.75	89.50	20.36	
10.00	232.23	98.73	2.35	37.15	82.37	40.37	
10.00	358.70	17.74	20.11	8.70	82.23	0.65	
10.00	361.36	38.75	8.83	12.39	88.29	8.98	
10.00	367.98	82.88	5.87	19.52	88.85	21.36	
10.00	366.89	165.64	1.97	74.02	80.17	41.23	
10.00	539.21	28.56	20.30	11.51	56.29	1.35	
10.00	548.13	55.77	9.79	24.34	58.36	9.47	
10.00	545.17	104.06	5.24	45.62	58.18	23.88	
10.00	528.99	265.54	1.98	120.33	54.86	41.37	

GAMBAR 4.1 HUBUNGAN ANTARA BOD/N dengan REMOVAL N-NH<sub>4</sub> PADA HIDROLIK LOADING 5 m<sup>3</sup>/(m<sup>2</sup>.hari)



Gambar 4.2 HUBUNGAN ANTARA BOD/N dengan REMOVAL N-NH<sub>4</sub> PADA HIDROLIK LOADING 7 m<sup>3</sup>/(m<sup>2</sup>.hari)

GAMBAR 4.3 HUBUNGAN ANTARA BOD/N dengan REMOVAL N-NH<sub>4</sub> PADA HIDROLIK LOADING 10 m<sup>3</sup>/(m<sup>2</sup>.hari)



#### 4.3 PENGARUH KONSENTRASI BOD TERHADAP REMOVAL N-NH<sub>4</sub><sup>+</sup>

Removal N-NH<sub>4</sub><sup>+</sup> yang terjadi pada proses ini tidak hanya disebabkan oleh oksidasi bakteri nitrifikasi saja tetapi juga digunakan untuk sintesa sel oleh bakteri bakteri heterotroph. Apabila semakin besar konsentrasi substrat organik yang masuk mengakibatkan sintesa sel bertambah, sehingga dapat menyebabkan kebutuhan N-NH<sub>4</sub><sup>+</sup> untuk sintesa sel naik.

Dari rumus kimia dari sel yang diperkenalkan oleh Hoover dan Porges (1952), yaitu C<sub>5</sub>H<sub>7</sub>N<sub>0</sub>z , menunjukkan bahwa sel mengandung unsur nitrogen sekitar 12%. Sedangkan menurut Grady dan Lim (1980) nitrogen yang terkandung dalam sel berkisar antara 12% sampai dengan 15%. Dan menurut Mc. Carty dan St. Amant (1969) menyatakan bahwa mikroorganisma cenderung menggunakan nitrogen yang berasal dari ammonium di dalam proses sintesa selnya.

Akan tetapi di faktor lain peningkatan konsentrasi organik dapat menyebabkan proses nitrifikasi terhambat. Konsentrasi BOD ataupun COD influen tidak secara langsung berpengaruh pada proses nitrifikasi, tetapi dipengaruhi oleh aktivitas bakteri heterotroph yang menggunakan BOD atau COD tersebut.

Menurut Hanaki (1980), ada dua hipotesa penyebab aktivitas bakteri heterotroph ini dapat menghambat proses nitrifikasi. Hipotesa yang pertama dalam melakukan aktivitasnya mungkin bakteri heterotroph menghasilkan beberapa komponen yang menghambat oksidasi ammonia. Hipotesa yang kedua adalah kemungkinan adanya persaingan antara kedua bakteri untuk memperoleh oksigen dan substrat, karena jumlah bakteri heterotroph yang banyak akan menyelimuti kelompok bakteri nitrifikasi.

Dalam proses penyisihannya, senyawa organik yang masuk ke dalam reaktor biofilm akan dikonversikan menjadi CO<sub>2</sub>, H<sub>2</sub>O dan biomassa. Penambahan konsentrasi BOD ke dalam reaktor akan memperbesar ketebalan slime, yang berarti jumlah biomassa yang tumbuh (bakteri heterotroph) akan semakin besar. Dengan bertambahnya lapisan slime ini maka penetrasi oksigen juga semakin terbatas. Sehingga dengan semakin tingginya konsentrasi BOD yang masuk akan mengurangi kesempatan bagi bakteri autotroph untuk tumbuh secara optimum. Hal ini terjadi karena bakteri autotroph harus berkompetisi dengan bakteri heterotroph untuk mendapatkan oksigen.

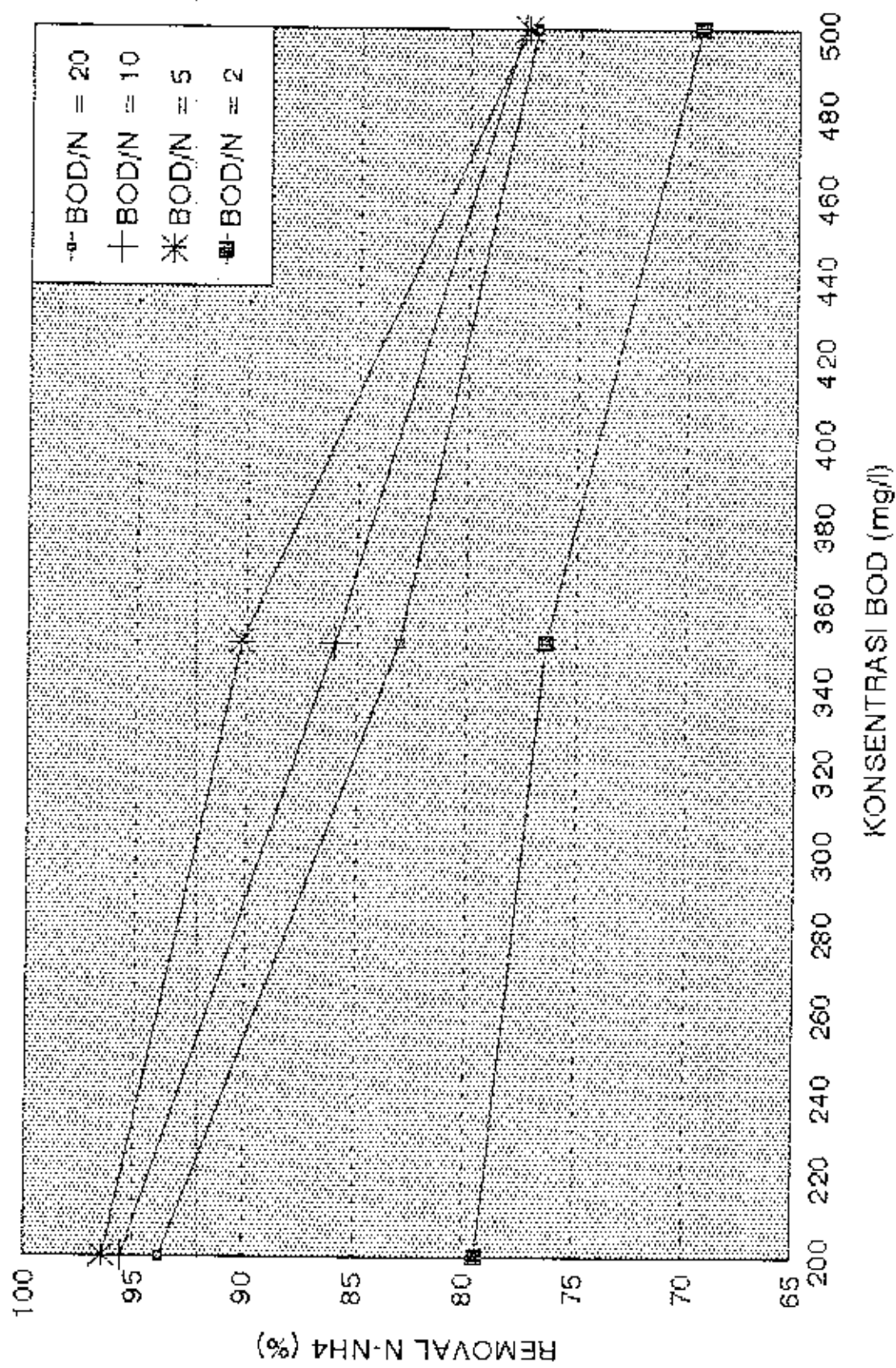
Dari grafik 4.4 sampai 4.6 dapat dilihat bahwa pada konsentrasi BOD sebesar 200 mg/l, removal N-NH<sub>4</sub><sup>+</sup> lebih

tinggi di banding dengan konsentrasi BOD sebesar 350 mg/l dan 500 mg/l. Akan tetapi penurunan removal pada konsentrasi BOD sama dengan 350 mg/l sangat kecil, sedangkan pada konsentrasi BOD lebih besar dari 350 mg/l penurunan removal cukup besar.

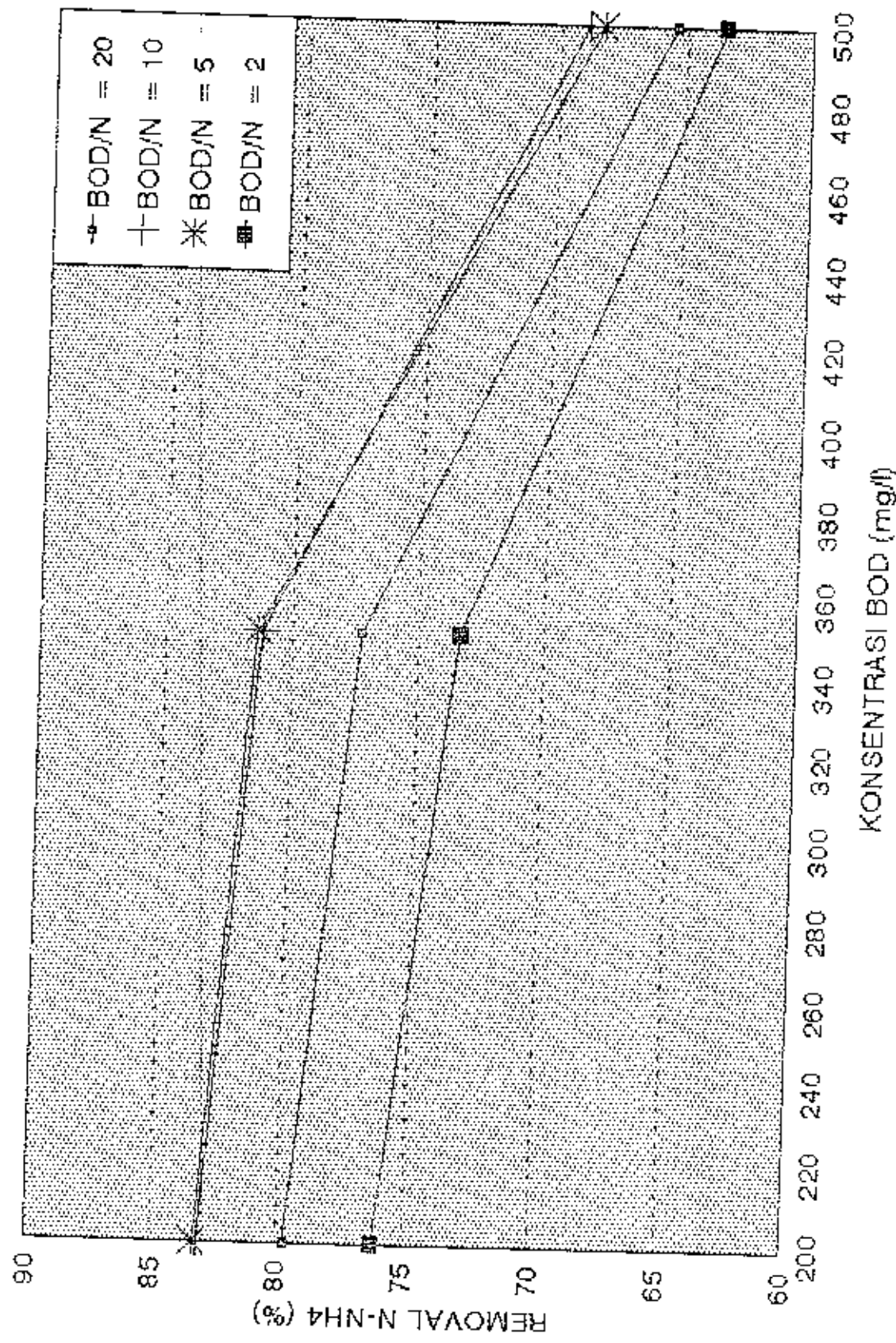
TABEL 4.2 PENGARUH KONSENTRASI BOD TERHADAP REMOVAL N-NH<sub>4</sub>

Konsentrasi BOD/m <sup>3</sup>	Konsentrasi NH <sub>4</sub> -NH <sub>3</sub> /m <sup>3</sup>	BOD/N	Konsentrasi N-NH <sub>4</sub> /m <sup>3</sup>		Removal N-NH <sub>4</sub> (%)
			N-NH <sub>4</sub> /m <sup>3</sup>	N-NH <sub>4</sub> /m <sup>3</sup>	
5.00	215.25	10.48	20.54	0.65	83.80
5.00	354.58	17.54	20.22	2.87	83.07
5.00	525.99	28.15	29.11	8.03	76.24
5.00	232.86	22.97	10.14	1.02	86.56
5.00	362.40	35.45	10.22	4.97	85.88
5.00	510.73	50.40	10.13	11.32	77.54
5.00	225.39	43.88	5.21	1.58	96.40
5.00	353.12	60.97	5.87	5.85	80.24
5.00	504.76	99.73	5.68	20.54	77.38
5.00	208.81	114.17	2.05	23.50	78.42
5.00	365.07	165.59	2.20	39.08	76.40
5.00	486.66	232.40	2.13	70.92	68.48
7.00	231.33	11.18	20.68	2.27	78.70
7.00	345.26	18.45	20.99	3.34	78.70
7.00	531.27	25.31	20.99	8.76	66.31
7.00	213.27	19.58	10.69	3.30	83.15
7.00	339.21	30.16	11.34	5.89	81.15
7.00	514.27	49.87	10.42	15.37	68.87
7.00	209.79	43.50	5.61	7.26	83.33
7.00	360.22	72.43	4.97	13.51	81.35
7.00	493.12	96.41	5.11	30.56	68.80
7.00	188.68	99.65	1.98	23.73	78.23
7.00	355.89	178.53	1.99	47.62	73.83
7.00	532.70	260.18	2.13	91.43	63.45
10.00	221.43	10.61	20.87	3.78	64.28
10.00	358.70	17.74	20.11	6.70	62.23
10.00	539.21	26.56	20.30	11.61	56.39
10.00	193.25	19.02	10.42	2.00	66.45
10.00	361.58	36.75	9.83	12.39	56.29
10.00	546.13	55.77	9.79	24.34	56.36
10.00	210.90	36.53	5.47	11.75	69.50
10.00	367.98	62.85	5.37	19.52	66.55
10.00	545.17	104.06	5.24	45.82	56.16
10.00	232.23	98.73	2.56	37.15	62.37
10.00	368.56	165.84	1.97	74.02	50.17
10.00	526.99	265.54	1.98	120.93	54.88

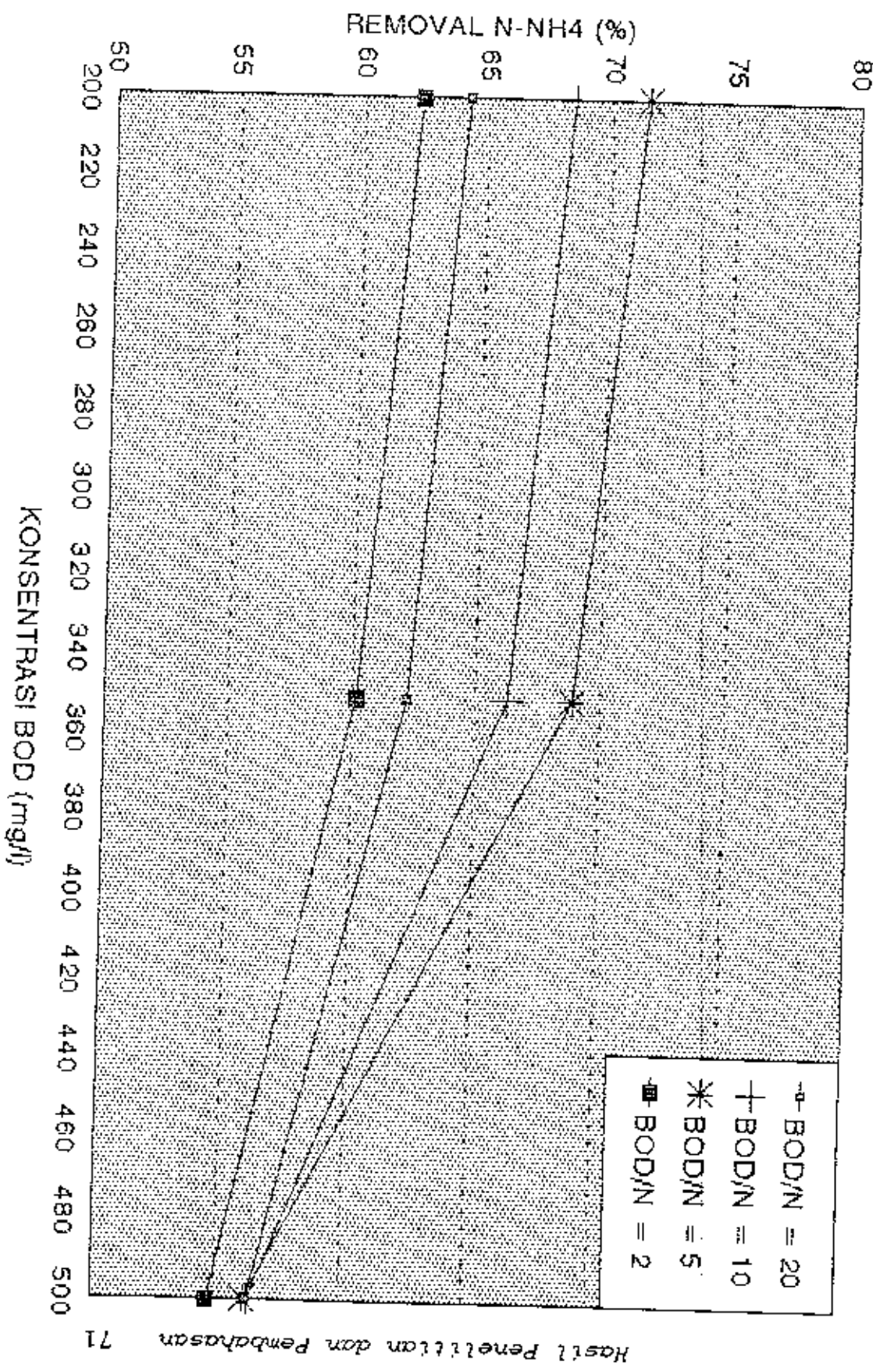
GAMBAR 4.4 HUBUNGAN ANTARA KONSENTRASI BOD dengan REMOVAL N-NH<sub>4</sub> PADA HIDROLIK LOADING 5 m<sup>3</sup>/m<sup>2</sup>.hari



GAMBAR 4.5 HUBUNGAN ANTARA KONSENTRASI BOD dengan REMOVAL N-NH<sub>4</sub> PADA HIDROLIK LOADING 7 m<sup>3</sup>(m<sup>2</sup>.hari)



GAMBAR 4.6 HUBUNGAN ANTARA KONSENTRASI BOD dengan REMOVAL N-NH<sub>4</sub> PADA HIDROLIK LOADING 10 m<sup>3</sup>/m<sup>2</sup>.hari



#### 4.4 PENGARUH HIDROLIK LOADING TERHADAP REMOVAL N-NH<sub>4</sub><sup>+</sup>

Dari gambar 4.7 sampai 4.10 menunjukkan bahwa semakin besar hidrolik loading, removal N-NH<sub>4</sub><sup>+</sup> semakin menurun. Hidrolik loading mempengaruhi lamanya waktu kontak antara air limbah yang diolah dengan mikroorganisma yang ada dalam reaktor. Hidrolik loading yang semakin besar berarti kecepatan aliran semakin besar maka waktu kontak antara bakteri dengan air limbah semakin pendek.

Hidrolik loading ini sangat mempengaruhi penetrasi substrat dan oksigen ke dalam lapisan biofilm. Apabila kecepatan aliran terlalu cepat mengakibatkan transfer udara ke dalam fase cair dan dari fase cair ke lapisan film berkurang karena waktu kontak yang lebih pendek. Serta transfer substrat ke dalam lapisan film juga berkurang.

Dengan berkurangnya substrat dan oksigen yang masuk ke dalam biofilm dapat menyebabkan pertumbuhan bakteri autotroph semakin lambat. Dengan demikian dalam waktu yang singkat tersebut hanya sebagian kecil ammonia saja yang dapat dioksidasi.

Selain itu meningkatnya hidrolik loading dapat meningkatkan shear force/gaya geser yang dapat mengakibatkan biofilm terkelupas dari media sehingga menurunkan efisi-

siensi pengolahan nitrogen ammonia.

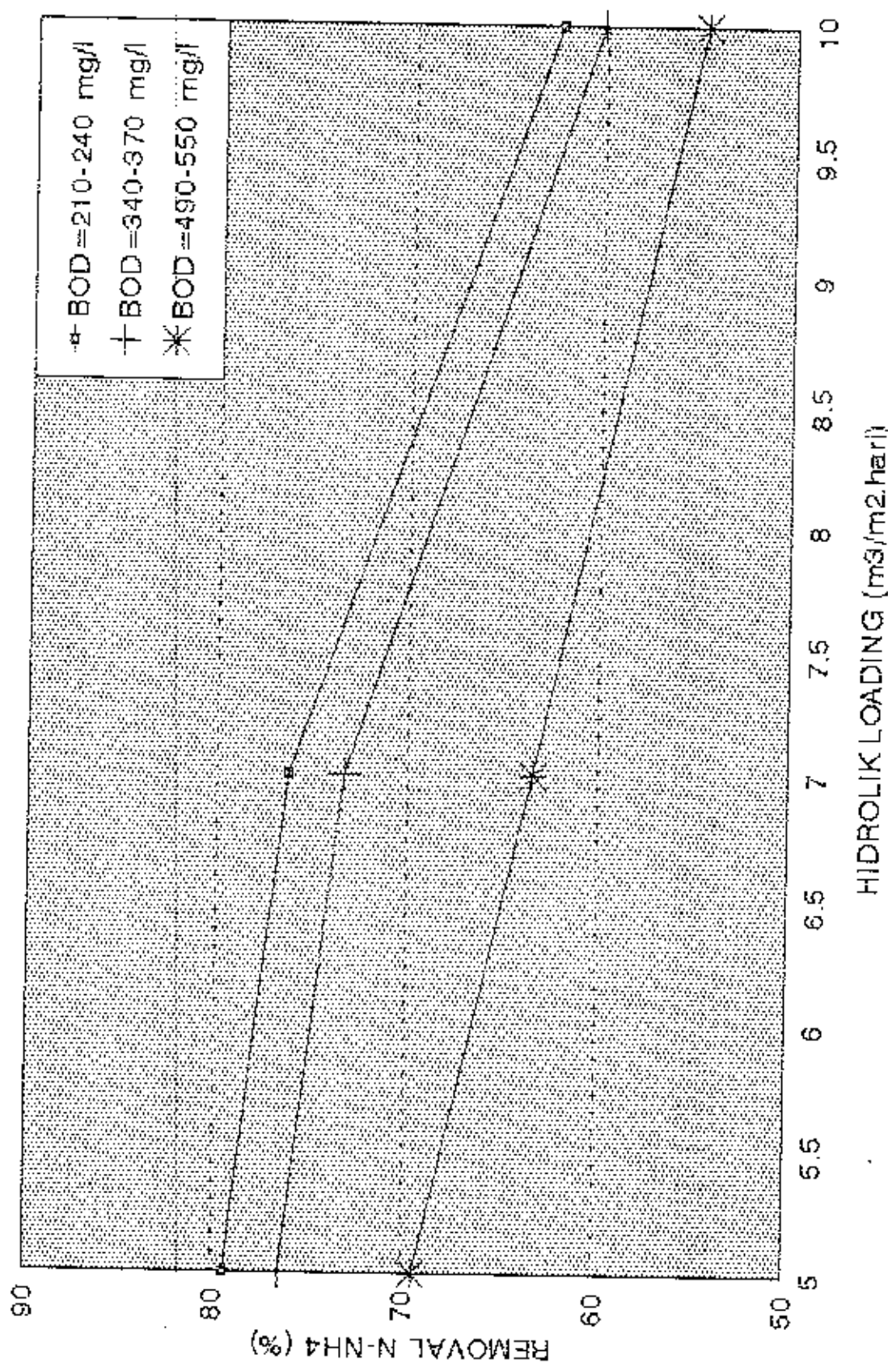
Dari data pada tabel 4.3 terlihat bahwa semakin besar hidrolik loading, konsentrasi oksigen terlarut dalam effluen semakin kecil dan konsentrasi VSS semakin besar. VSS (volatile suspended solid) merupakan suatu bentuk mikroorganisma yang tumbuh pada lapisan biofilm. Konsentrasi VSS yang ada pada effluen untuk hidrolik loading  $5 \text{ m}^3/(\text{m}^2 \cdot \text{hari})$  yaitu antara 10,31 mg/l sampai 15,46 mg/l, untuk hidrolik loading  $7 \text{ m}^3/(\text{m}^2 \cdot \text{hari})$  yaitu antara 24,24 mg/l sampai 26,43 mg/l, untuk hidrolik loading  $10 \text{ m}^3/(\text{m}^2 \cdot \text{hari})$  yaitu antara 38,42 mg/l sampai 45,62 mg/l.

Dan dari tabel 4.3 tersebut dapat dilihat bahwa pada hidrolik loading  $5 \text{ m}^3/(\text{m}^2 \cdot \text{hari})$ , removal N-NH<sub>4</sub><sup>+</sup> antara 69,74% sampai dengan 96,40%. Pada hidrolik loading  $7 \text{ m}^3/(\text{m}^2 \cdot \text{hari})$ , removal N-NH<sub>4</sub><sup>+</sup> antara 63,45 sampai 83,33%. Dan pada hidrolik loading  $10 \text{ m}^3/(\text{m}^2 \cdot \text{hari})$ , removal N-NH<sub>4</sub><sup>+</sup> antara 54,68 sampai dengan 68,85%.

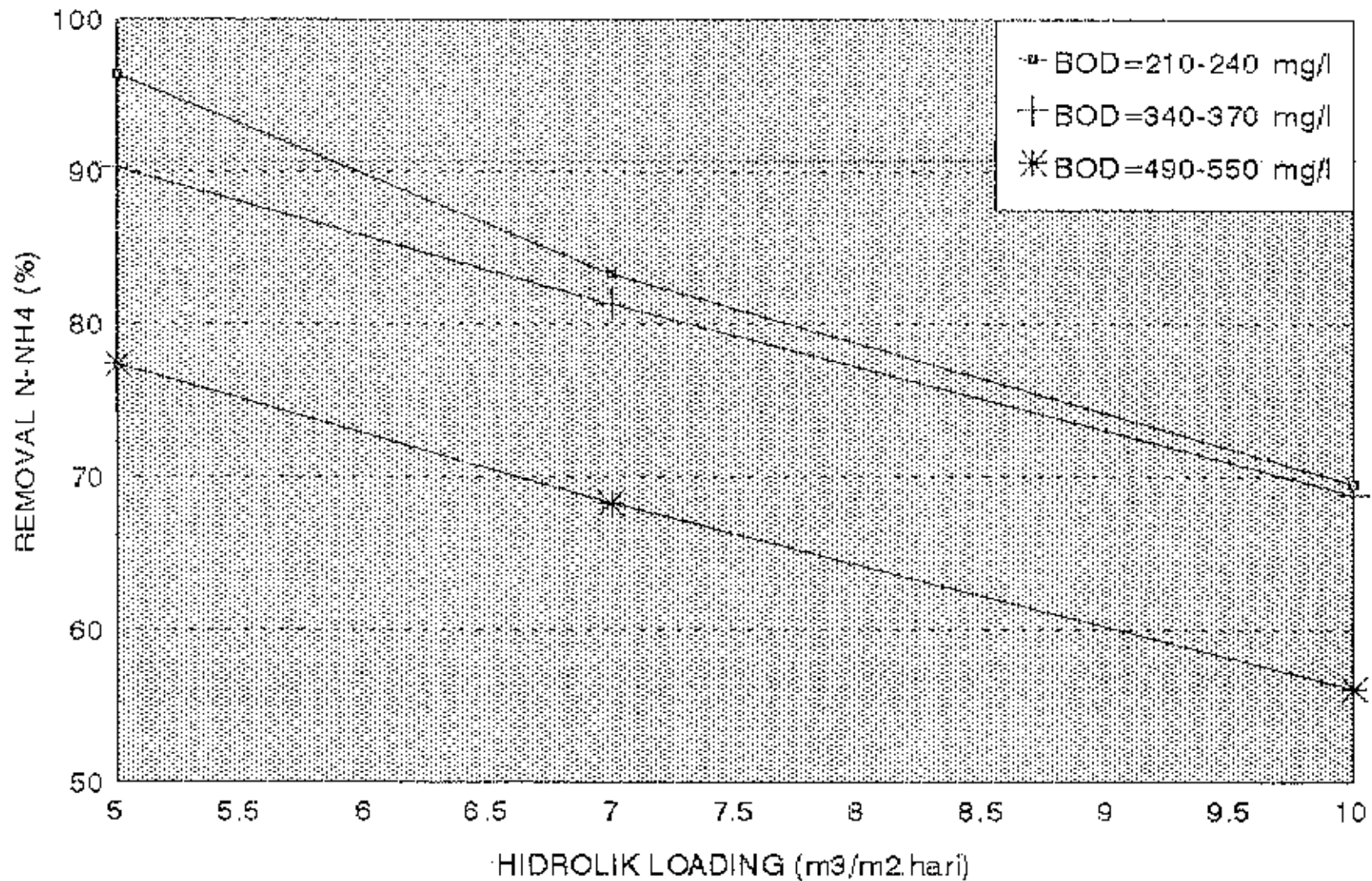
TABEL 4.3 PENGARUH HIDROLIK LOADING TERHADAP REMOVAL N-NH4

Pengaruh loading (mg/m2 hari)	Konversi BOD influen (mg/l)	Konversi N-NH4 influen (mg/l)	BOD	Konversi N-NH4 effluent (mg/l)	Removal N-NH4 (%)	BOD effluent (mg/l)	Konversi VGS effluent (mg/l)
5.00	215.25	10.46	20.54	0.65	83.80	5.12	12.42
7.00	231.33	11.16	20.69	2.27	78.70	4.21	20.23
10.00	221.45	10.61	20.57	3.79	64.26	3.24	38.42
5.00	232.83	22.97	10.14	1.02	95.56	4.82	10.51
7.00	213.27	19.58	10.89	5.30	83.15	3.98	25.25
10.00	198.25	18.02	10.42	8.00	88.45	3.21	45.35
5.00	225.89	43.36	5.21	1.58	96.40	4.72	12.37
7.00	239.78	43.50	5.81	7.25	83.33	3.54	25.42
10.00	210.90	36.53	5.47	11.75	89.50	3.14	44.25
5.00	233.61	114.17	2.03	23.50	78.42	4.66	12.45
7.00	198.68	98.85	1.99	23.73	78.23	3.47	26.43
10.00	232.23	98.73	2.35	37.15	62.37	3.08	45.62
5.00	354.58	17.54	20.22	2.87	85.07	5.01	10.45
7.00	345.53	18.45	21.01	3.34	79.70	4.06	23.43
10.00	358.70	17.74	20.11	6.70	82.23	3.18	41.35
5.00	362.40	35.45	10.22	4.97	85.86	4.81	10.55
7.00	339.21	30.18	11.24	15.37	49.07	3.95	23.45
10.00	361.38	38.76	8.83	12.38	68.29	3.15	40.44
5.00	356.12	80.97	5.67	5.95	90.24	4.71	10.35
7.00	360.22	72.43	4.97	13.51	81.35	3.51	28.36
10.00	387.98	82.68	5.87	18.52	68.85	3.11	45.69
5.00	365.07	165.59	2.20	39.06	78.40	4.63	12.31
7.00	356.29	176.53	1.98	47.62	73.33	3.35	25.42
10.00	366.89	185.84	1.97	74.02	80.17	3.06	42.31
5.00	525.96	26.15	20.11	6.08	76.84	4.95	15.46
7.00	531.27	25.31	20.99	6.74	65.47	4.05	25.22
10.00	539.21	28.58	20.30	11.61	56.29	3.14	43.39
5.00	510.73	50.40	10.13	11.32	77.54	4.71	15.36
7.00	514.27	49.37	10.42	15.37	68.87	3.92	24.24
10.00	548.13	55.77	9.79	24.34	56.36	3.13	43.39
5.00	504.70	90.73	5.58	20.54	77.39	4.99	11.95
7.00	483.12	98.41	5.11	30.58	68.50	4.48	24.42
10.00	545.17	104.06	5.24	45.62	56.18	3.08	43.24
5.00	498.85	232.40	2.13	70.32	69.74	4.56	12.54
7.00	532.70	230.16	2.13	91.43	63.45	3.31	26.37
10.00	526.99	285.54	1.93	120.33	54.08	2.85	44.32

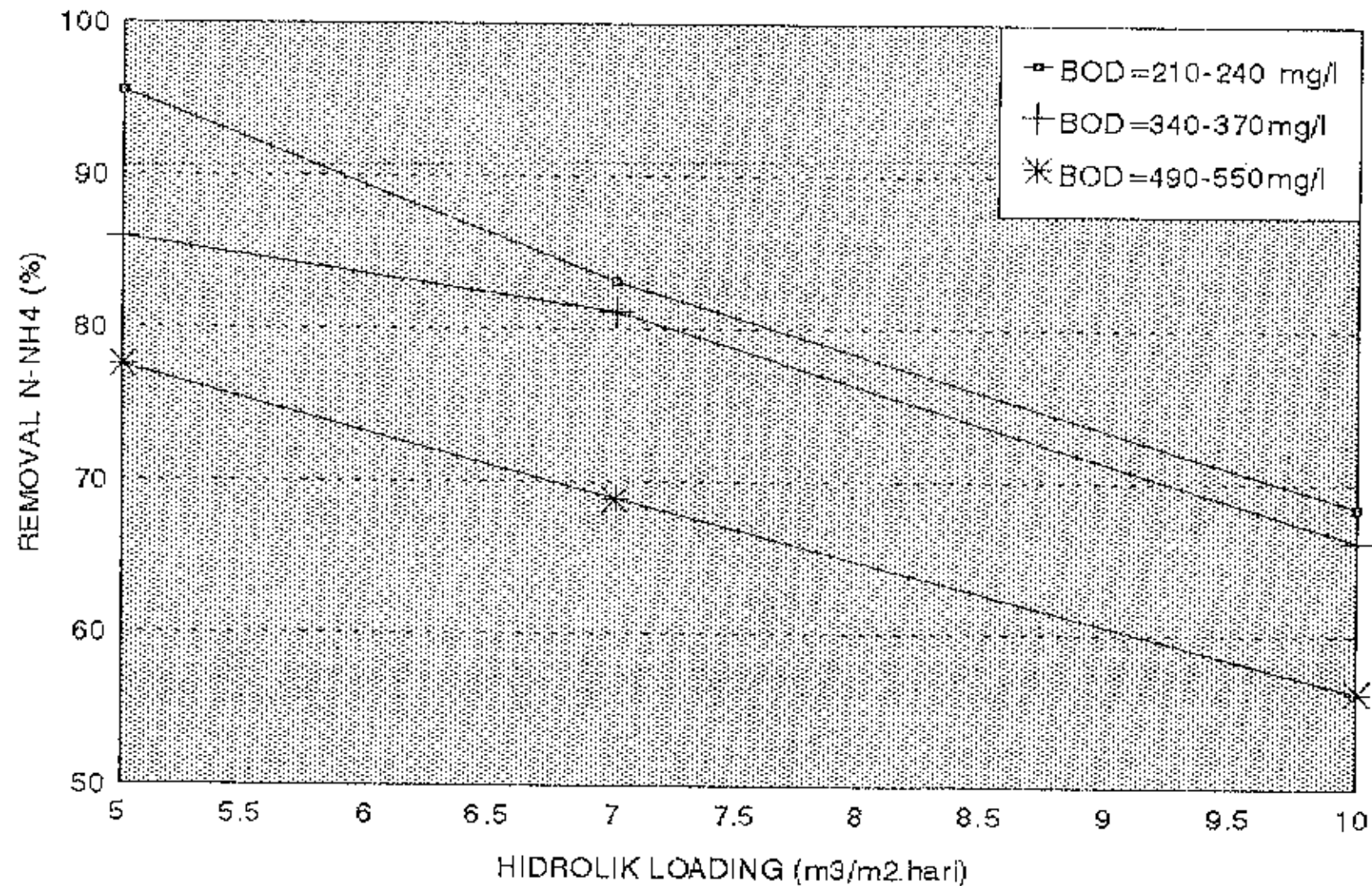
GAMBAR 4.7 HUBUNGAN ANTARA HIDROLIK LOADING dengan REMOVAL N-NH<sub>4</sub> PADA BOD/N = 2



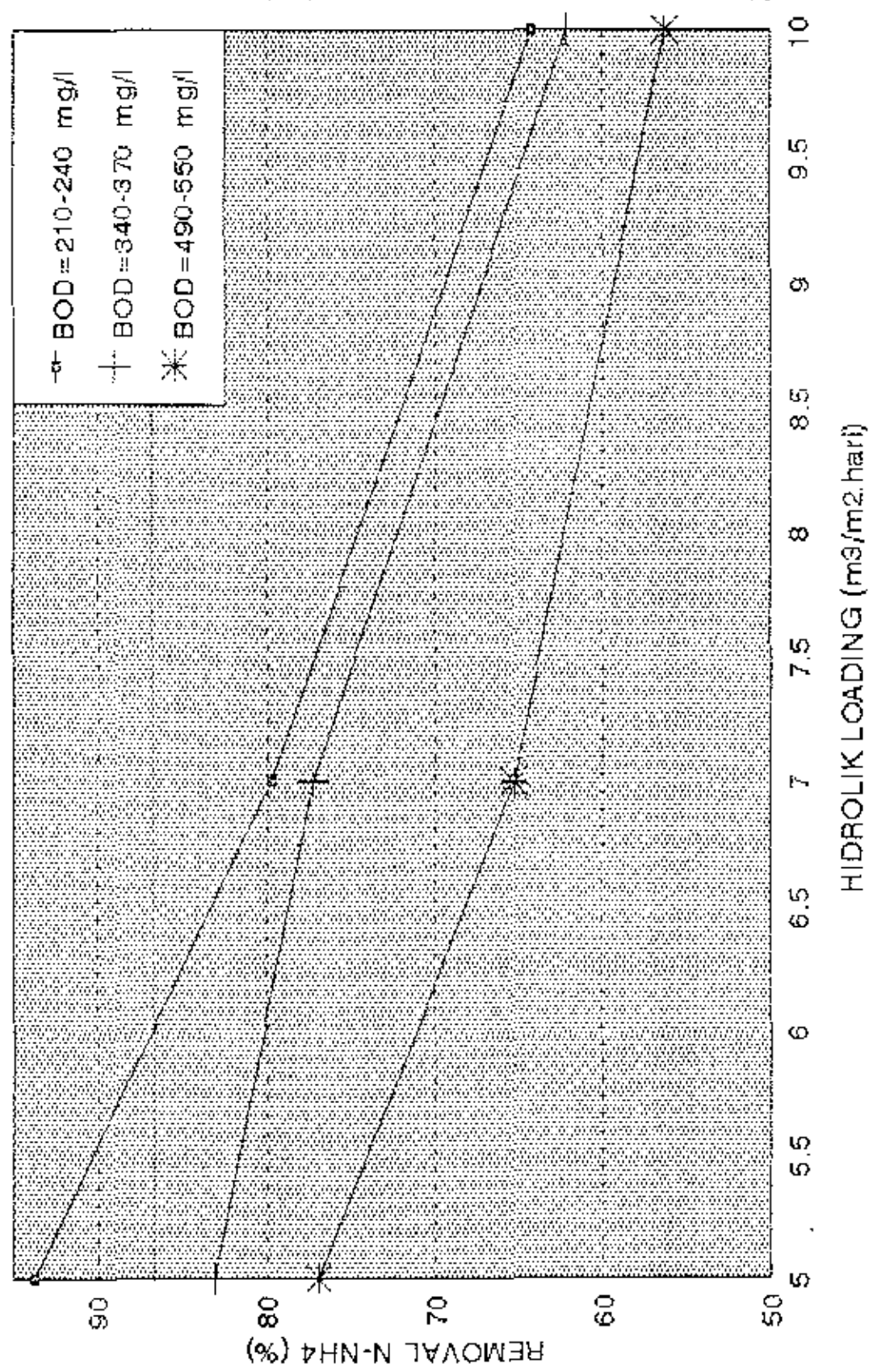
GAMBAR 4.8 HUBUNGAN ANTARA HIDROLIK LOADING dengan REMOVAL N-NH<sub>4</sub> PADA BOD/N = 5



GAMBAR 4.9 HUBUNGAN ANTARA HIDROLIK LOADING dengan REMOVAL N-NH<sub>4</sub> PADA BOD/N = 10



GAMBAR 4.10 HUBUNGAN ANTARA HIDROLIK LOADING dengan REMOVAL N-NH<sub>4</sub> PADA BOD/N = 20



## BAB V

### KESIMPULAN DAN SARAN

#### 5.1 KESIMPULAN

Dari penelitian yang meliputi 36 kondisi operasional, dengan memvariasikan BOD/N, konsentrasi BOD dan hidrolik loading, didapat kesimpulan sebagai berikut:

1. Dari penelitian ini diperoleh hasil, removal N-NH<sub>4</sub><sup>+</sup> dipengaruhi oleh BOD/N, konsentrasi influen BOD dan hidrolik loading.
2. Removal tertinggi N-NH<sub>4</sub><sup>+</sup> yaitu 96,4%, terjadi pada hidrolik loading  $5 \text{ m}^3/(\text{m}^2 \cdot \text{hari})$  dan nilai BOD/N 5, dengan konsentrasi BOD dan N-NH<sub>4</sub><sup>+</sup> masing-masing sebesar 225,89 mg/l dan 43,35 mg/l.
3. Pada nilai BOD/N lebih besar dan lebih kecil dari 5 dicapai penurunan removal N-NH<sub>4</sub><sup>+</sup>, untuk BOD/N sama dengan 10 penurunan removal yang terjadi sangat kecil, sedangkan pada perbandingan BOD/N 20 dan lebih kecil dari 5 terjadi penurunan removal yang cukup besar.
4. Untuk konsentrasi BOD lebih besar dari 200 mg/l, removal N-NH<sub>4</sub><sup>+</sup> mengalami penurunan. Penurunan removal

ini pada konsentrasi BOD 350 mg/l tidak terlampaui tajam sedangkan pada konsentrasi BOD lebih besar dari 350 mg/l terjadi penurunan removal yang cukup besar.

5. Pada hidrolik loading lebih besar dari  $5 \text{ m}^3/(\text{m}^2 \cdot \text{hari})$ , removal N-NH<sub>4</sub><sup>+</sup> mengalami penurunan, terutama untuk hidrolik loading lebih besar dari  $7 \text{ m}^3/(\text{m}^2 \cdot \text{hari})$ .

## 5.2 SARAN

Penelitian ini masih kurang sempurna. Perlu dilakukan beberapa hal:

1. Penelitian dengan variasi debit udara sehingga dapat diketahui transfer oksigen yang optimum ke dalam lapisan film.
2. Penelitian dengan menggunakan media berdiameter lain ataupun media jenis lain sehingga dapat diketahui pengaruhnya terhadap efisiensi proses nitrifikasi.

## DAFTAR PUSTAKA

1. Aleart, G. dan Sumestri. 1984. Metodologi Penelitian Air. Surabaya: Usaha Nasional.
2. American Public Health Association, American Water Work Association, Water Polution Control Federation. 1985. Standard Methode for The Examination and Water and Wastewater.
3. Benefield, D. Larry and Randal, W. Clifford. 1980. Biological Process Design for Wastewater treatment. Englewood Cliffs, New York: Prentice Hall.
4. Culp, Gordon L. 1978. Handbook of Advanced Wastewater Treatment. Van Nostrand Reinhold Environmental Engineering Series.
5. Denny, et.al. "Nitrification in Trickling Filters". Water Polution Control Federation. Vol 58: 896-902.
6. De Renzo, D.J. 1978. Nitrogen Control and Phosphorus Removal in Sewage Treatment. New Jersey: Park Ridge.
7. Eckenfelder, W. Wesley. 1966. Industrial Water Pollution Control. Tokyo: Mc. Graw Hill.

8. Faup, et.al. 1982. "Biological Nitrification in an Up Flow Fixed Bed Reactor (UFBR)". *Water Science Technology*, Vol 24: 785-810.
9. Gaudy, Anthony F., Elisabeth T. 1980. *Microbiology for Environmental Scientist and Engineers*. Auckland: Mc. Graw Hill.
10. Glenn, et.al. 1974. "Plastic Medium Trickling Filters for Biological Nitrification". *Water Polution Control Federation*, Vol 46: 937-946
11. Grady, Leslie and Lim, Henry C. 1980. *Biological Wastewater Treatment*. New York: Mercek Dekker Inc.
12. Hammer, Mark J. 1975. *Water and Wastewater Technology*. New York: John Willey and Sons Inc.
13. Hanaki. 1980."Effect of The Kinetic of Heterotrophs on Nitrification in A Suspended Growth Reactor". *Water Research*, Vol 24: 289-296.
14. Lembaga Penelitian. 1983. *Petunjuk Pelaksanaan Penelitian Institut Teknologi Sepuluh Nopember Surabaya*: ITS.
15. Metcalf and Eddy. 1979. *Wastewater Engineering: Treatment Disposal Reuse*. New Delhi: Tata Mc. Graw Hill.
16. Rich, Linvil G. 1974. *Unit Operation of Sanitary Engineering*. New York: John Willey and Sons Inc.

17. Sawyer, Clair N and Mc Carty. 1978. *Chemistry for Environmental Engineering*. Mc Graw Hill Book Company.
18. Schroders, Edward D. 1977. *Water and Wastewater Treatment*, Tokyo: Mc. Graw Hill.
19. Suriawiria, Unus. 1977. *Mikrobiologi Lingkungan*. Program Pendidikan Teknik Penyehatan: ITB.

**LAMPIRAN 1****PEMBUATAN SUBSTRAT**

Misalkan BOD yang diinginkan = 500 mg/l

BOD:N:P = 100:5:1

N yang diperlukan = 5/100 x 500 mg/l = 25 mg/l

P yang diperlukan = 1/100 x 500 mg/l = 5 mg/l

**1. Glukosa ( $C_6H_{12}O_6$ )**

$$BM \text{ Glukosa} = 12 \times 6 + 1 \times 12 + 16 \times 6 = 180$$

Reaksi:



1 mol  $C_6H_{12}O_6$       6 mol  $O_2$

180                  6 (32)

180                  192

Jadi 1 mg Glukosa =  $1,067 \times 0,75 = 0,8$  mg BODs

Jumlah gula yang dibutuhkan =  $500/0,8 = 468,60$  mg/l

**2.  $(NH_4)_2CO_3$**

$$BM = 14 \times 2 + 1 \times 8 + 12 \times 1 + 16 \times 3 = 96$$

Berat  $(NH_4)_2CO_3$  yang diperlukan untuk memperoleh berat

$$N 25 \text{ mg/l} = 96/14 \times 25 \text{ mg/l} = 171,43 \text{ mg/l}$$

**3.  $KH_2PO_4$**

$$BM \text{ } KH_2PO_4 = 39 \times 1 + 2 \times 1 + 31 \times 1 + 16 \times 4 = 136$$

Berat  $KH_2PO_4$  yang diperlukan untuk memperoleh berat P

$$5 \text{ mg/l adalah } 136/31 \times 5 \text{ mg/l} = 21,94 \text{ mg/l}$$

## LAMPIRAN 2

### ANALISA AMMONIUM ( $\text{NH}_4^+$ )

#### BAHAN-BAHAN:

##### 1. Reagent Nessler

- 100 gr hgIz dan 70 gr KI digerus dalam mortir dengan sedikit air sampai halus
- kemudian dilarutkan dalam 160 gr NaOH/500 ml dan diencerkan sampai 1 liter
- biarkan mengendap dahulu dan diambil supernatannya.

##### 2. Garam Signete

- 100 gr K.Na.Tartrat dilarutkan dalam 300 ml air
- ditambah 10 ml reagent Nessler sebagai pengawet
- kemudian diencerkan sampai 1 liter.

##### 3. Larutan Standar Ammonium 100 mg/l $\text{NH}_4^+$

- menimbang secara teliti 0,2866 gr  $\text{NH}_4\text{Cl}$
- melarutkan dalam labu ukur 1 liter dengan aquadest
- menambahkan 3 tetes toluen sebagai pengawet

#### CARA KERJA:

1. memasukkan 25 ml sampel ke dalam erlemeyer
2. menambahkan 1,25 ml garam signet
3. menambahkan 1 ml nessler

4. mengocok erlemeyer tersebut dan diamkan selama 10 menit
5. mengukur dengan spektronic 20 pada panjang gelombang 420 nm.

#### PEMBUATAN GRAFIK KALIBRASI

1. Menyiapkan larutan standard dengan konsentrasi
2. Melakukan analisa sesuai dengan cara kerja untuk analisa  $\text{NH}_4^+$

Tabel L2.1 KALIBRASI  $\text{NH}_4^+$

$\text{NH}_4^+$ (mg/l)	Absorbans
0	0
0,5	0,045
1	0,078
2	0,145
4	0,265
5	0,345
10	0,695
20	1,340

$$Y = a + bX$$

di mana: Y = konsentrasi, mg/l

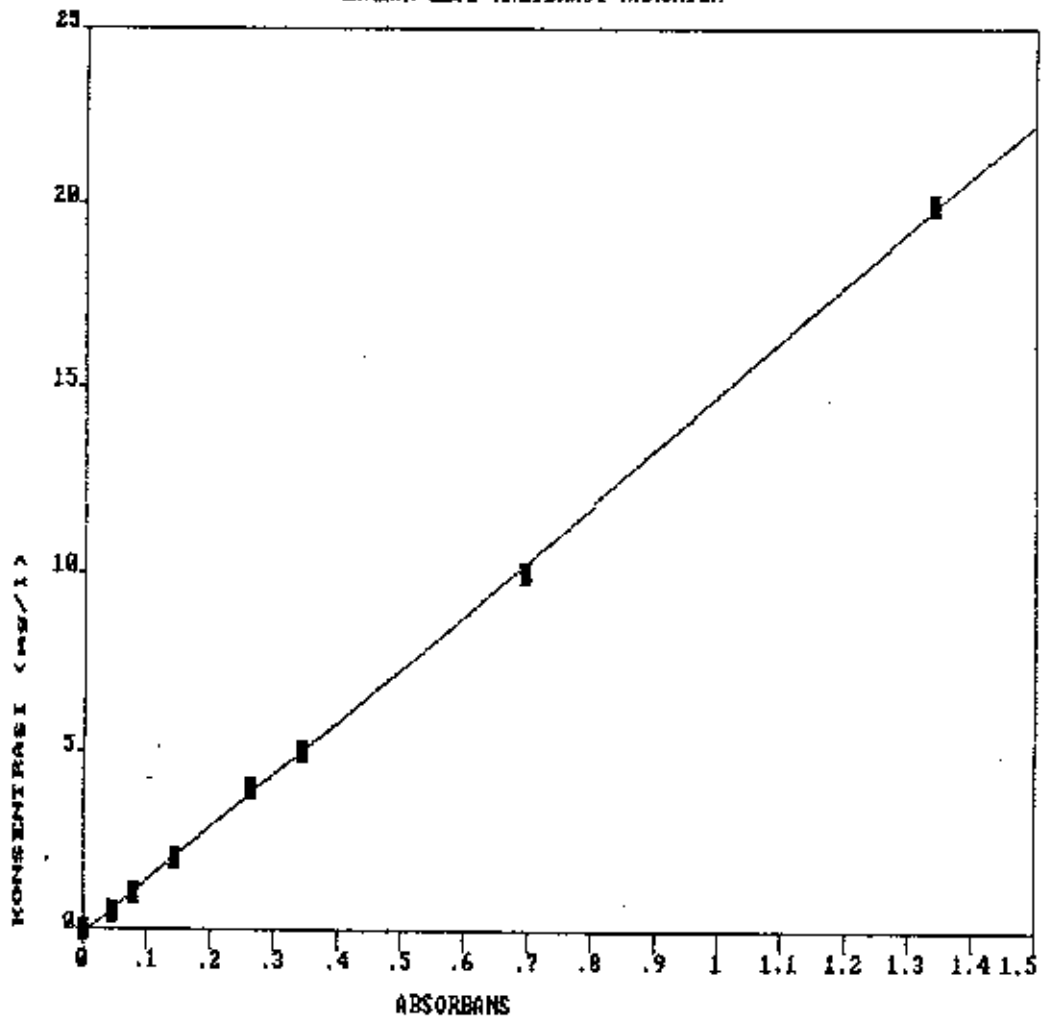
X = absorbans

Dari Grafik L2.1 Kalibrasi  $\text{NH}_4^+$  didapatkan:

$$Y = -0,1254165288 + 14,93420262 X$$

$$r^2 = 0,998$$

GAMBAR L4.1 KALIBRASI AMMONIUM



### LAMPIRAN 3

#### ANALISA NITROGEN NITRAT (N-NO<sub>3</sub><sup>-</sup>)

##### BAHAN-BAHAN:

1. Brucin Acetat 0,5%

melarutkan 0,5 gr brucin dalam labu ukur 100 ml dengan asam acetat glacial (CH<sub>3</sub>COOH pekat)

2. H<sub>2</sub>SO<sub>4</sub> pekat

3. Larutan Standard Nitrat (100 mg N-NO<sub>3</sub>/l)

- menimbang dengan teliti 721,8 mg KNO<sub>3</sub> atau 607,5 mg NaNO<sub>3</sub>
- mengencerkannya dalam labu ukur 1 liter

##### CARA KERJA:

1. memasukkan 2 ml sampel ke dalam erlemeyer
2. menambahkan 2 ml brucin acetat
4. menambahkan 4 ml H<sub>2</sub>SO<sub>4</sub> pekat
5. mengukur dengan spetronic 20 pada panjang gelombang 400 nm.

##### PEMBUATAN GRAFIK KALIBRASI

1. Menyiapkan larutan standard dengan konsentrasi
2. Melakukan analisa sesuai dengan cara kerja untuk analisa N-NO<sub>3</sub><sup>-</sup>

TABEL L3.1 KALIBRASI N-NO<sub>3</sub><sup>-</sup>

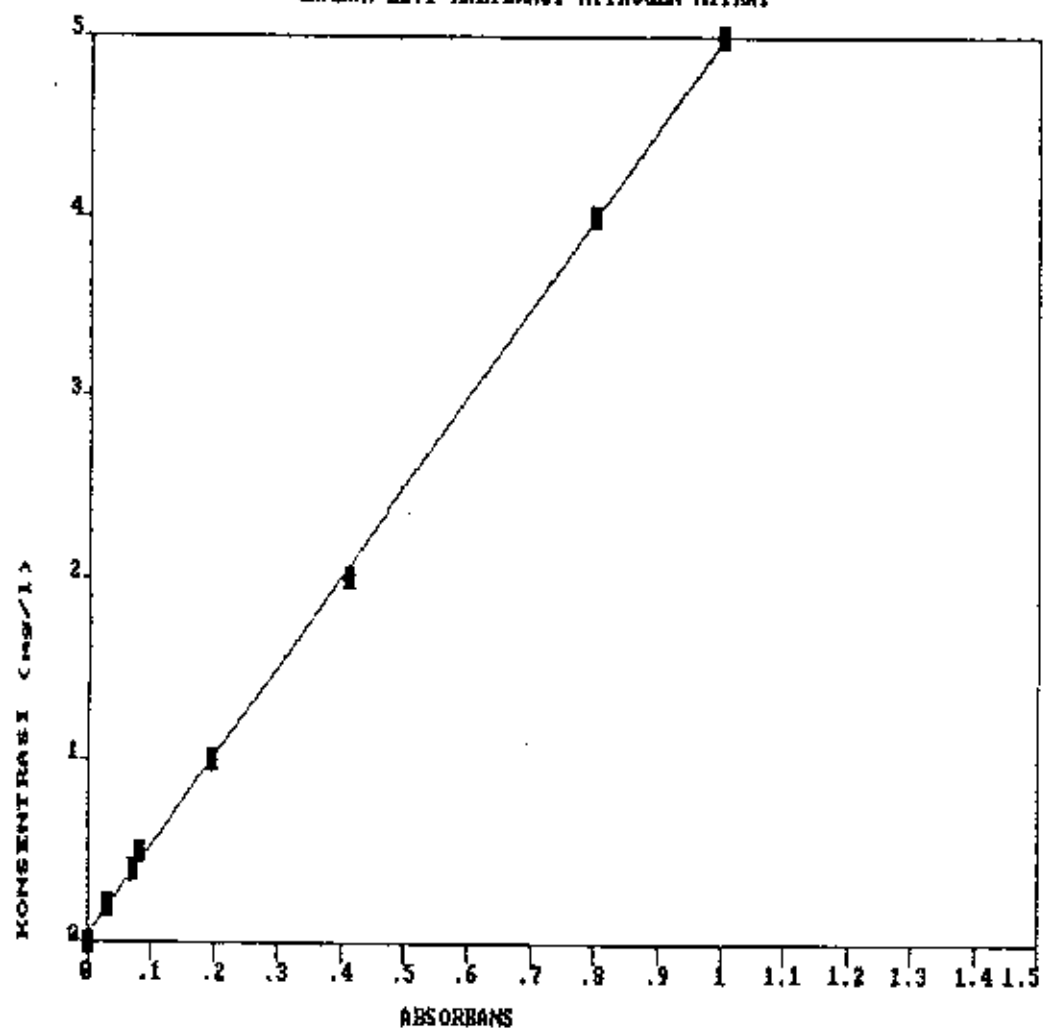
NO <sub>3</sub> <sup>-</sup> (mg/l)	Absorbans
0,00	0,00
0,20	0,03
0,40	0,07
0,50	0,08
1,00	0,195
2,00	0,41
4,00	0,80
5,00	1,00

Dari grafik L4.1 kalibrasi NO<sub>3</sub><sup>-</sup> didapatkan:

$$Y = 0,0405841848 + 4,94216113 X$$

$$r^2 = 0,9995$$

GAMBAR LE.1 KALIBRASI NITROGEN MITRAI



## LAMPIRAN 4

### PENGUKURAN NITROGEN NITRIT ( $N-NO_2^-$ )

#### BAHAN-BAHAN:

##### 1. Sulfanilic Acid

- 1 gr sulfanilic acid dan 5 ml HCl pekat diencerkan dengan aquadest sampai 100 ml.

##### 2. NED dihidrochloride

- 100 mg NED dihidrochloride dilarutkan dengan aquadest bebas nitrit sampai 100 ml

##### 3. Larutan standard Nitrit (100 mg $N-NO_2^-/l$ )

- menimbang dengan teliti 492,9 mg  $NaNO_2$
- mengencerkannya dalam labu ukur 1 liter.

#### CARA KERJA

1. Memipet 25 ml sampel yang telah disaring, kemudian masukkan dalam erlemeyer 25 ml
2. Menambahkan 0,5 ml larutan Sulfanilic acid
3. Menambahkan 0,5 ml NED dihidrochloride, kocok dan mendiamkannya selama 15 menit
4. Membaca absorbansinya pada spektronic 20 dengan panjang gelombang 640 nm.

**PEMBUATAN GRAFIK KALIBRASI**

1. Menyiapkan larutan standard dengan konsentrasi
2. Melakukan analisa sesuai dengan cara kerja untuk analisa N-NO<sub>2</sub><sup>-</sup>

**TABEL L4.1 KALIBRASI N-NO<sub>2</sub><sup>-</sup>**

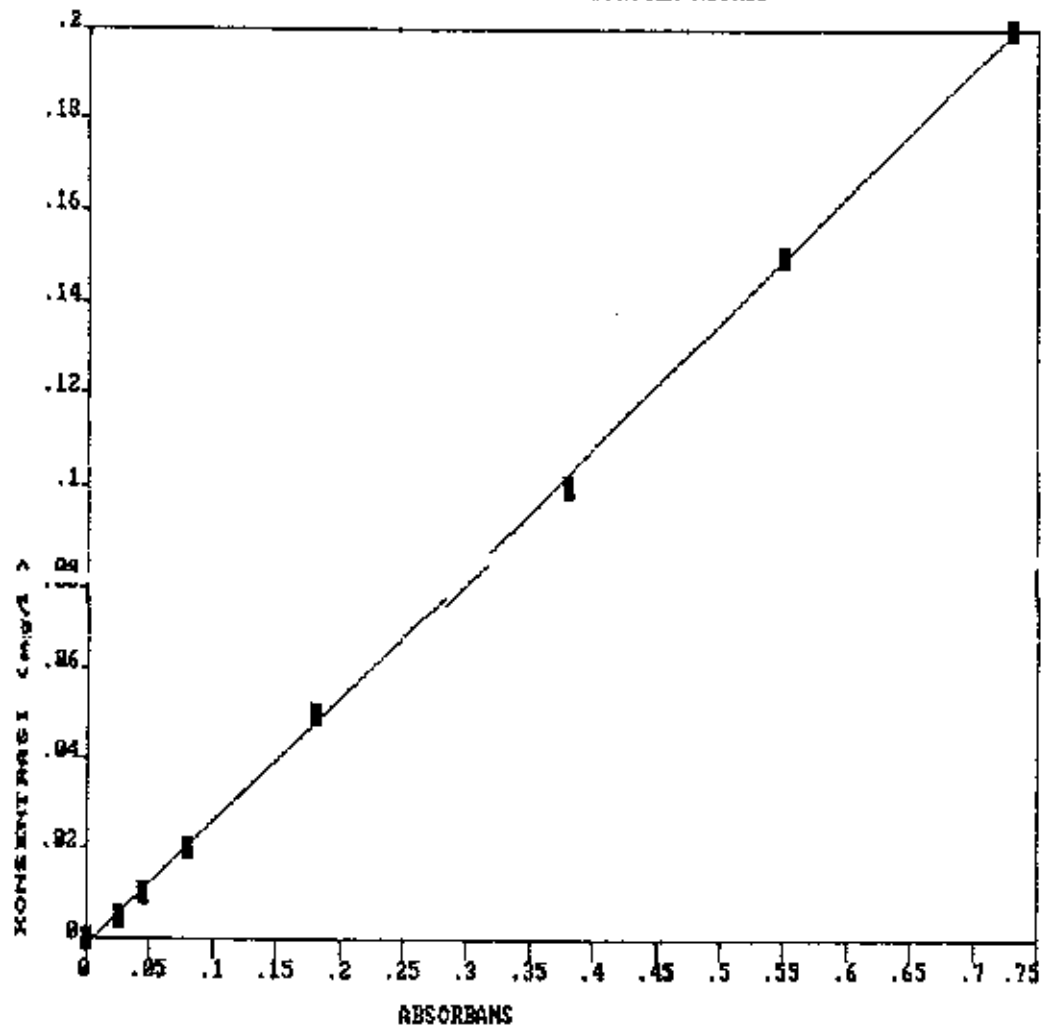
NO <sub>2</sub> <sup>-</sup> (mg/l)	Absorbans
0,00	0
0,005	0,025
0,01	0,045
0,02	0,080
0,05	0,180
0,10	0,380
0,15	0,550
0,20	0,730

Dari grafik L5.1 kalibrasi NO<sub>2</sub><sup>-</sup> didapatkan:

$$Y = -0,001905360034 + 0,02751214401 X$$

$$r^2 = 0,9995$$

GAMBAR L8.1 KALIBRASI NITROGEN NITRIT



## LAMPIRAN 5

### ANALISA PERMANGANAT VALUE (PV)

#### CARA KERJA:

1. Erlemeyer dibebaskan dari zat organik, dengan cara sebagai berikut:
  - a. mengisi erlemeyer dengan air/aquadest
  - b. menambahkan larutan KMnO<sub>4</sub> 0,01 N sampai timbul warna ungu
  - c. memanaskan ± 10 menit, dan apabila warna ungu hilang tambahkan lagi KMnO<sub>4</sub> 0,01 N sampai warna ungu tetap ada setelah dipanaskan ±10 menit
  - d. Air tersebut dibuang, dengan demikian erlemeyer tersebut telah bebas zat organik.
2. Erlenmeyer yang telah dibebaskan zat organik diisi dengan 100 ml sampel dan tambahkan 2 ml H<sub>2</sub>SO<sub>4</sub> serta ditambahkan KMnO<sub>4</sub> sampai warna ungu
3. Memanaskan sampai mendidih, kemudian tambahkan 10 ml KMnO<sub>4</sub> dan dipanaskan kembali selama ± 10 menit
4. Menambahkan 1 ml asam oxalat 0,01 N dan setelah warna ungu hilang dititrasi dengan KMnO<sub>4</sub> sampai timbul warna merah muda.

**PERHITUNGAN**

$$PV = \frac{1000}{\text{ml sampel}} [(10+a)N \text{ KMnO}_4 - (b \cdot N \text{ Oxalat})] 31,6 \cdot P$$

dimana: PV = angka Permanganat (mg/l)

a = volume titran KMnO<sub>4</sub> (ml)

b = volume penambahan asam oxalat (ml)

N KMnO<sub>4</sub> = normalitas KMnO<sub>4</sub>

N oxalat = normalitas asam oxalat

P = derajat pengenceran

## LAMPIRAN 6

### ANALISA BIOLOGICAL OXYGEN DEMAND (BOD)

#### CARA KERJA ANALISA BOD

Pada prinsipnya, analisa BOD sama dengan analisa oksigen terlarut, yaitu:

1. Sampel yang telah ada di dalam botol Winkler ditambahkan 2 ml larutan  $MnSO_4$  dan 2 ml larutan pereaksi oksigen
2. Menutup kembali botol dengan hati-hati untuk mencegah terperangkapnya udara luar, kemudian mengocok botol tersebut
3. Membiarkannya selama 10 menit agar gumpalan menjadi turun
4. Menambahkan 2 ml  $H_2SO_4$  pekat dan menutup botol tersebut kembali, dan dikocok
5. mengambil 100 ml dari botol winkler tersebut dan memasukkannya dalam erlemeyer
6. Menambahkan amylyum sampai terbentuk warna biru kehitaman
7. Menitrasasi erlemeyer tersebut dengan larutan  $Na_2S_2O_8$  sampai warna biru hilang dan mencatat volume titran

**PERCINTUNGAN****1. Oksigen Terlarut (OT)**

$$OT = \frac{a \cdot N \cdot 8000}{V} \cdot P$$

dimana: OT = oksigen terlarut, mg/l

a = volume  $\text{Na}_2\text{S}_2\text{O}_3$ , ml

N = normalitas  $\text{Na}_2\text{S}_2\text{O}_3$ , N

c = volume yang dititrasi, ml

**2.  $\text{BOD}_5^{20}$** 

$$\text{BOD}_5^{20} = \frac{[(X_0 - X_5) - (B_0 - B_5)]}{P} (1-P)$$

dimana:  $\text{BOD}_5^{20}$  = oksigen yang dibutuhkan untuk oksidasi zat organik pada suhu  $20^\circ\text{C}$  dan selama 5 hari Oz

$X_0$  = oksigen terlarut sampel pada  $t=0$  hari, mg/l Oz

$X_5$  = oksigen terlarut sampel pada  $t=5$  hari, mg/l Oz

$B_0$  = oksigen terlarut blanko pada  $t=0$  hari, mg/l Oz

$B_5$  = oksigen terlarut blanko pada  $t=5$  hari, mg/l Oz

## LAMPIRAN 7

### ANALISA MLSS DAN MLVSS

#### CARA KERJA ANALISA MLSS:

1. Memanaskan kertas saring dan cawan dalam oven pada suhu  $\pm 105^{\circ}\text{C}$  selama satu jam, setelah didinginkan dalam desikator selama 15 menit, kertas saring tersebut ditimbang
2. Mengambil 50 ml yang sudah dikocok merata dan dimasukkan dalam alat penyaring, yang telah ada kertas saring di dalamnya. Penyaringan dilakukan dengan sistem vacum
3. Filter kertas bersama residu hasil penyaringan dimasukkan dalam cawan yang telah ditimbang dan kemudian dipanaskan kembali dalam oven  $105^{\circ}\text{C}$  selama satu jam. Kemudian didinginkan dalam desikator selama  $\pm 15$  menit dan ditimbang.

#### ANALISA MLVSS:

1. Setelah menentukan MLSS, kertas saring + residu dalam cawan dipanaskan pada furnance  $550^{\circ}\text{C}$  selama 1 jam kemudian dipanaskan pada oven  $105^{\circ}\text{C}$  selama setengah jam

2. Setelah itu didinginkan dalam desikator ± 15 menit dan segera ditimbang.

**PERHITUNGAN:**

$$\text{MLSS} = \frac{(a - (b + c))}{c} \cdot 1000$$

$$\text{MLVSS} = \text{MLSS} - [ \frac{e - b}{c} ]$$

dimana: MLSS = mixed liquor suspended solid, mg/l

a = berat cawan, kertas saring dan residu setelah pemanasan 105°C, mg

b = berat cawan sesudah pemanasan 105°C, mg

c = berat kertas saring sesudah pemanasan 105°C, mg

d = volume sampel yang disaring (ml)

e = berat cawan dan residu setelah pemanasan 550°C, mg

## LAMPIRAN 8

### ANALYTICAL QUALITY CONTROL (AQC) NH<sub>4</sub><sup>+</sup>

1. Menyiapkan larutan standard NH<sub>4</sub><sup>+</sup> yang nantinya akan dianalisa sesuai dengan cara kerja analisa NH<sub>4</sub><sup>+</sup>. Larutan standard ini diusahakan dibuat mendekati konsentrasi sampel yang akan dianalisa untuk menambah ketelitian. Selain itu larutan harus dibuat dari bahan kimia yang pro analisa (p.a).
2. Alat-alat kimia yang akan digunakan dikalibrasi terlebih dahulu.
3. Analisa larutan standard yang telah diketahui konsentrasi dilakukan sebanyak minimal 30 kali.
4. Hitung nilai rata-rata dan standard deviasi dari data yang telah diperoleh, kemudian buatlah histogram distribusi frekuensi dan mencari ukuran akurasi dan presisi.
5. Membuat suatu control chart untuk memantau proses analisa sampel.
6. Penyebaran data disekitar nilai rata-rata pada control chart tidak melebihi batas atas ( $\bar{x} + 2\sigma$ ) dan batas bawah ( $\bar{x} - 2\sigma$ ).

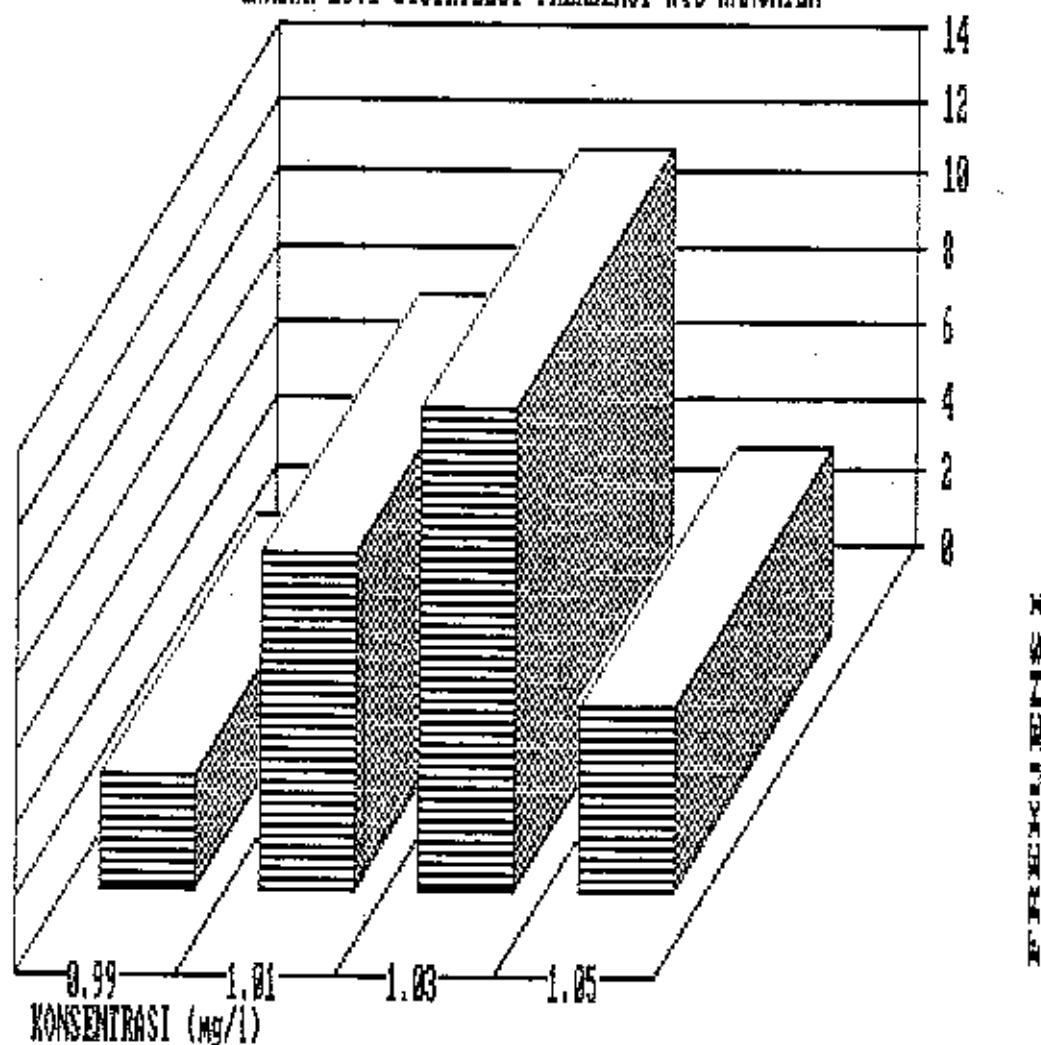
**TABEL L8.1 ANALYTICAL QUALITY CONTROL AMONIUM**

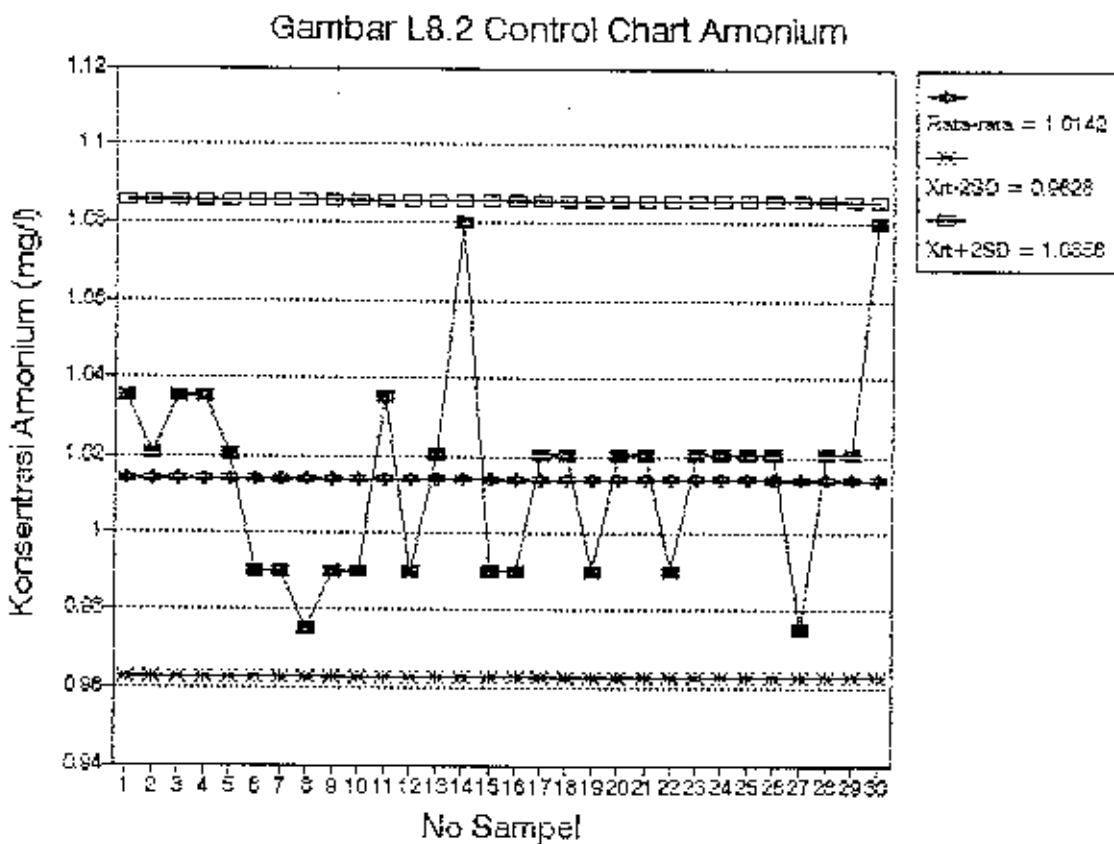
NO	ABSORBANS	KONSENTRASI NH4 (mg/l)
1	0.079	1.0352
2	0.078	1.0202
3	0.079	1.0352
4	0.079	1.0352
5	0.078	1.0202
6	0.076	0.9902
7	0.076	0.9902
8	0.075	0.9752
9	0.076	0.9902
10	0.076	0.9902
11	0.079	1.0352
12	0.076	0.9902
13	0.078	1.0202
14	0.082	1.0802
15	0.076	0.9902
16	0.076	0.9902
17	0.078	1.0202
18	0.078	1.0202
19	0.076	0.9902
20	0.078	1.0202
21	0.078	1.0202
22	0.076	0.9902
23	0.078	1.0202
24	0.078	1.0202
25	0.078	1.0202
26	0.078	1.0202
27	0.075	0.9752
28	0.078	1.0202
29	0.078	1.0202
30	0.082	1.0802

Konsentrasi NH4 rata-rata = 1.0142 mg/l

Standard deviasi = 0.0257

GAMBAR 18.1 DISTRIBUSI FREQUENSI AAC AMMONIUM





## LAMPIRAN 9

### ANALYTICAL QUALITY CONTROL (AQC) N-NO<sub>3</sub><sup>-</sup>

1. Menyiapkan larutan standard N-NO<sub>3</sub><sup>-</sup> yang nantinya akan dianalisa sesuai dengan cara kerja analisa N-NO<sub>3</sub><sup>-</sup>. Larutan standard ini diusahakan dibuat mendekati konsentrasi sampel yang akan dianalisa untuk menambah ketelitian. Selain itu larutan harus dibuat dari bahan kimia yang pro analisa (p.a).
2. Alat-alat kimia yang akan digunakan dikalibrasi terlebih dahulu.
3. Analisa larutan standard yang telah diketahui konsentrasi dilakukan sebanyak minimal 30 kali.
4. Hitung nilai rata-rata dan standard deviasi dari data yang telah diperoleh, kemudian buatlah histogram distribusi frekuensi dan mencari ukuran akurasi dan presisi.
5. Membuat suatu control chart untuk memantau proses analisa sampel.
6. Penyebaran data disekitar nilai rata-rata pada control chart tidak melebihi batas atas ( $\bar{x} + 2\sigma$ ) dan batas bawah ( $\bar{x} - 2\sigma$ ).

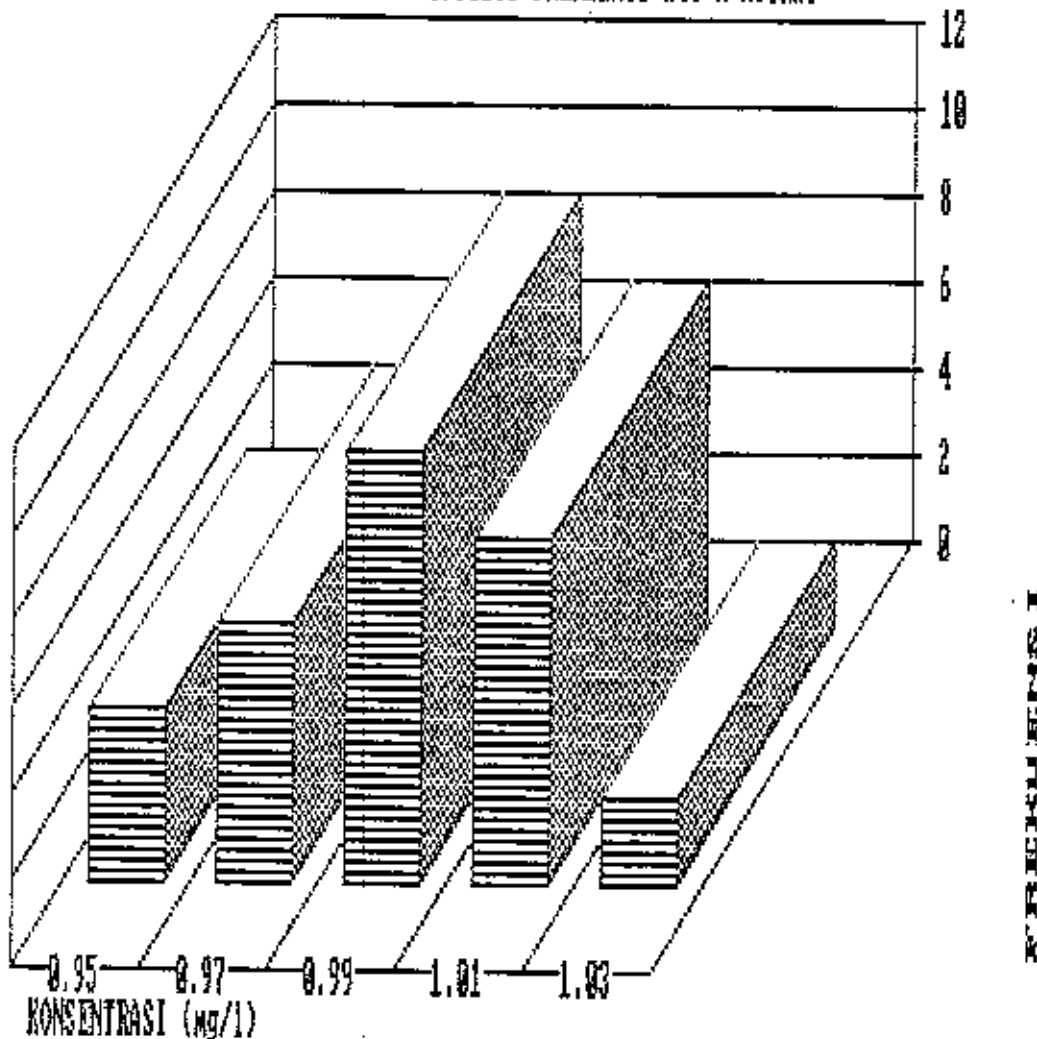
**TABEL L9.1 ANALYTICAL QUALITY CONTROL NITROGEN NITRAT**

NO	ABSORBANS	KONSENTRASI N-NO <sub>3</sub> (mg/l)
1	0.185	0.9549
2	0.195	1.0043
3	0.195	1.0043
4	0.195	1.0043
5	0.200	1.0290
6	0.190	0.9796
7	0.185	0.9549
8	0.195	1.0043
9	0.195	1.0043
10	0.190	0.9796
11	0.190	0.9796
12	0.185	0.9549
13	0.195	1.0043
14	0.200	1.0290
15	0.200	1.0290
16	0.200	1.0290
17	0.200	1.0290
18	0.200	1.0290
19	0.190	0.9796
20	0.190	0.9796
21	0.200	1.0290
22	0.195	1.0043
23	0.190	0.9796
24	0.195	1.0043
25	0.195	1.0043
26	0.200	1.0290
27	0.195	1.0043
28	0.185	0.9549
29	0.200	1.0290
30	0.200	1.0290

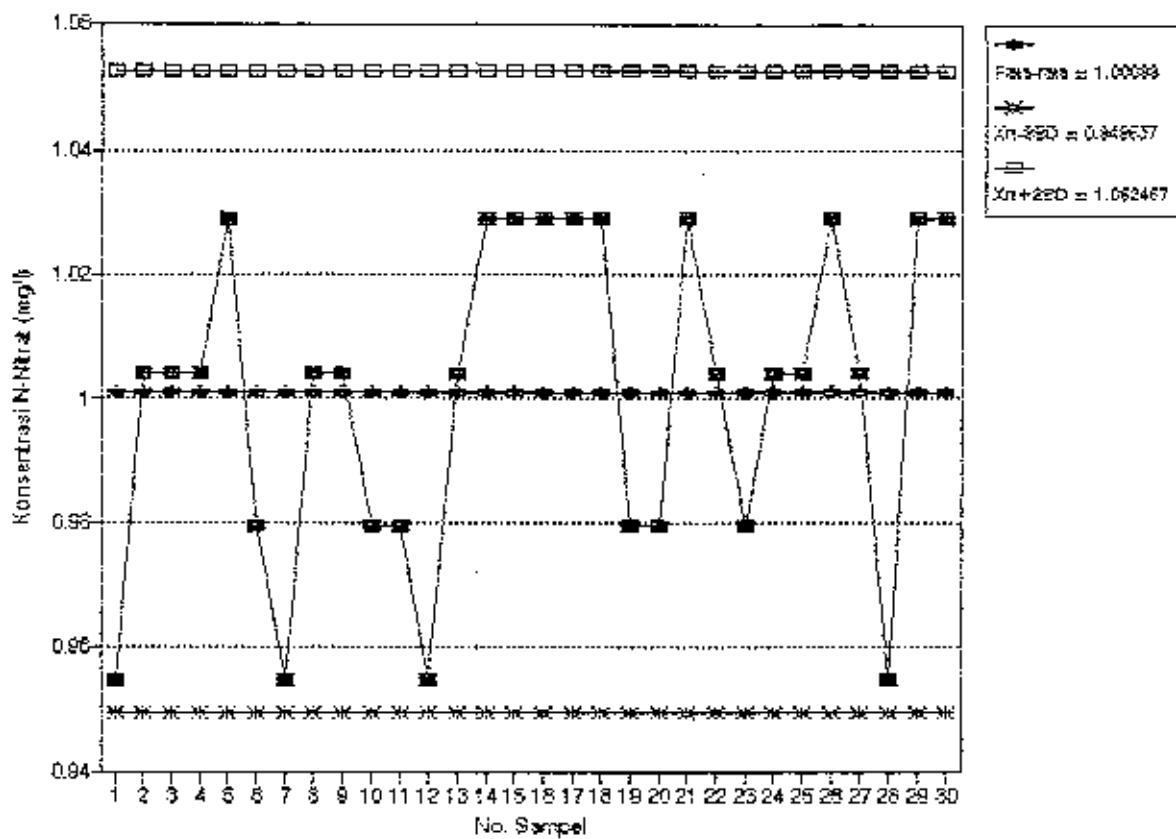
Konsentrasi N-NO<sub>3</sub> rata-rata = 1.000997 mg/l

Standard deviasi = 0.02573

GAMBAR 19.1 DISTRIBUSI FREQUENSI ANC N-NITRAT



Gambar L9.2 Control Chart N-Nitrat



## LAMPIRAN 10

### ANALYTICAL QUALITY CONTROL (AQC) N-NO<sub>2</sub><sup>-</sup>

1. Menyiapkan larutan standard N-NO<sub>2</sub><sup>-</sup> yang nantinya akan dianalisa sesuai dengan cara kerja analisa N-NO<sub>2</sub><sup>-</sup>. Larutan standard ini diusahakan dibuat mendekati konsentrasi sampel yang akan dianalisa untuk menambah ketelitian. Selain itu larutan harus dibuat dari bahan kimia yang pro analisa (p.a).
2. Alat-alat kimia yang akan digunakan dikalibrasi terlebih dahulu.
3. Analisa larutan standard yang telah diketahui konsentrasi dilakukan sebanyak minimal 30 kali.
4. Hitung nilai rata-rata dan standard deviasi dari data yang telah diperoleh, kemudian buatlah histogram distribusi frekuensi dan mencari ukuran akurasi dan presisi.
5. Membuat suatu control chart untuk memantau proses analisa sampel.
6. Penyebaran data disekitar nilai rata-rata pada control chart tidak melebihi batas atas ( $\bar{x} + 2\sigma$ ) dan batas bawah ( $\bar{x} - 2\sigma$ ).

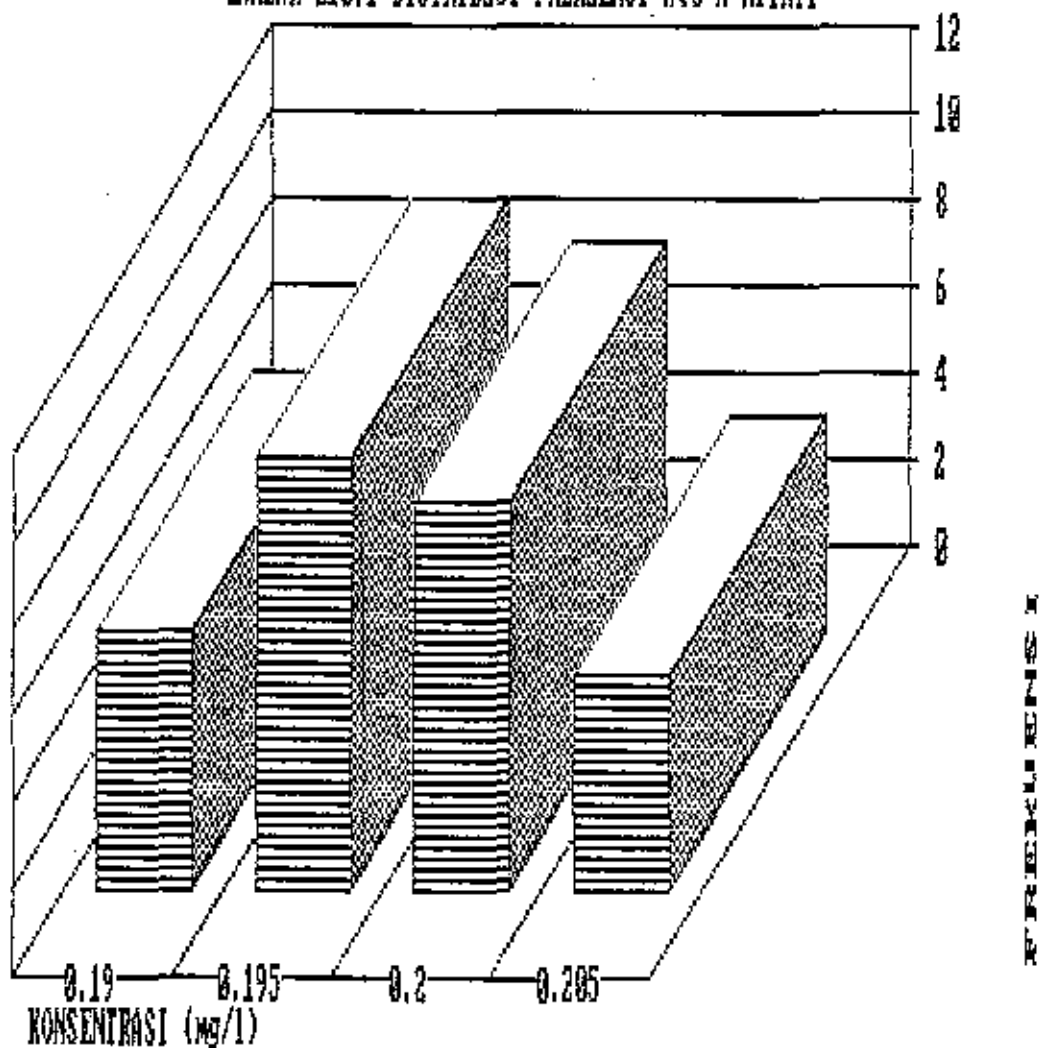
**TABEL L10.1 ANALYTICAL QUALITY CONTROL NITROGEN NITRIT**

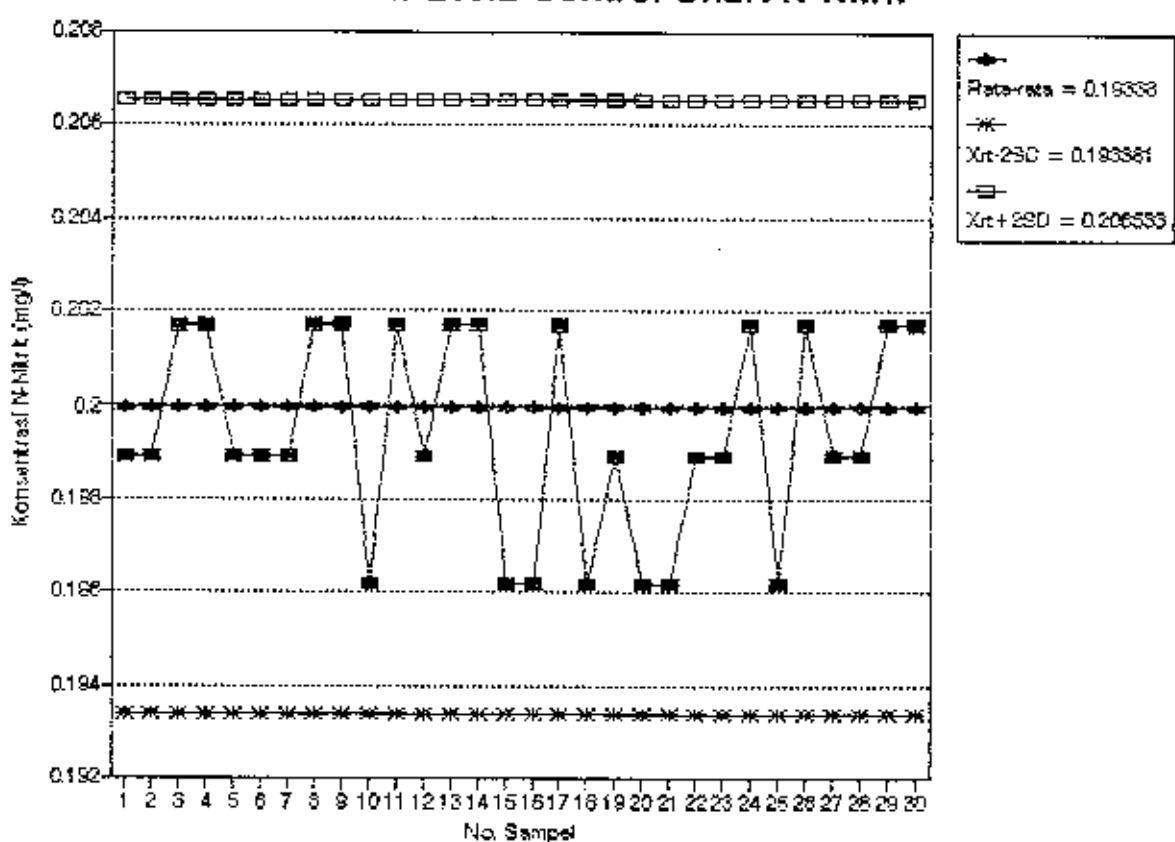
NO	ABSORBANS	KONSENTRASI N-NO <sub>2</sub> (mg/l)
1	0.73	0.1989
2	0.73	0.1989
3	0.74	0.2017
4	0.74	0.2017
5	0.73	0.1989
6	0.73	0.1989
7	0.73	0.1989
8	0.74	0.2017
9	0.74	0.2072
10	0.72	0.1962
11	0.74	0.2017
12	0.73	0.1989
13	0.74	0.2017
14	0.74	0.2017
15	0.72	0.1962
16	0.72	0.1962
17	0.74	0.2017
18	0.72	0.1962
19	0.73	0.1989
20	0.72	0.1962
21	0.72	0.1962
22	0.73	0.1989
23	0.73	0.1989
24	0.74	0.2017
25	0.72	0.1962
26	0.74	0.2017
27	0.73	0.1989
28	0.73	0.1989
29	0.74	0.2017
30	0.74	0.2017

Konsentrasi rata-rata N-NO<sub>2</sub> = 0.199957 mg/l

Standard deviasi = 0.003288

#### GAMBAR L10.1 DISTRIBUSI FREKUENSI AAC N-NITRIT



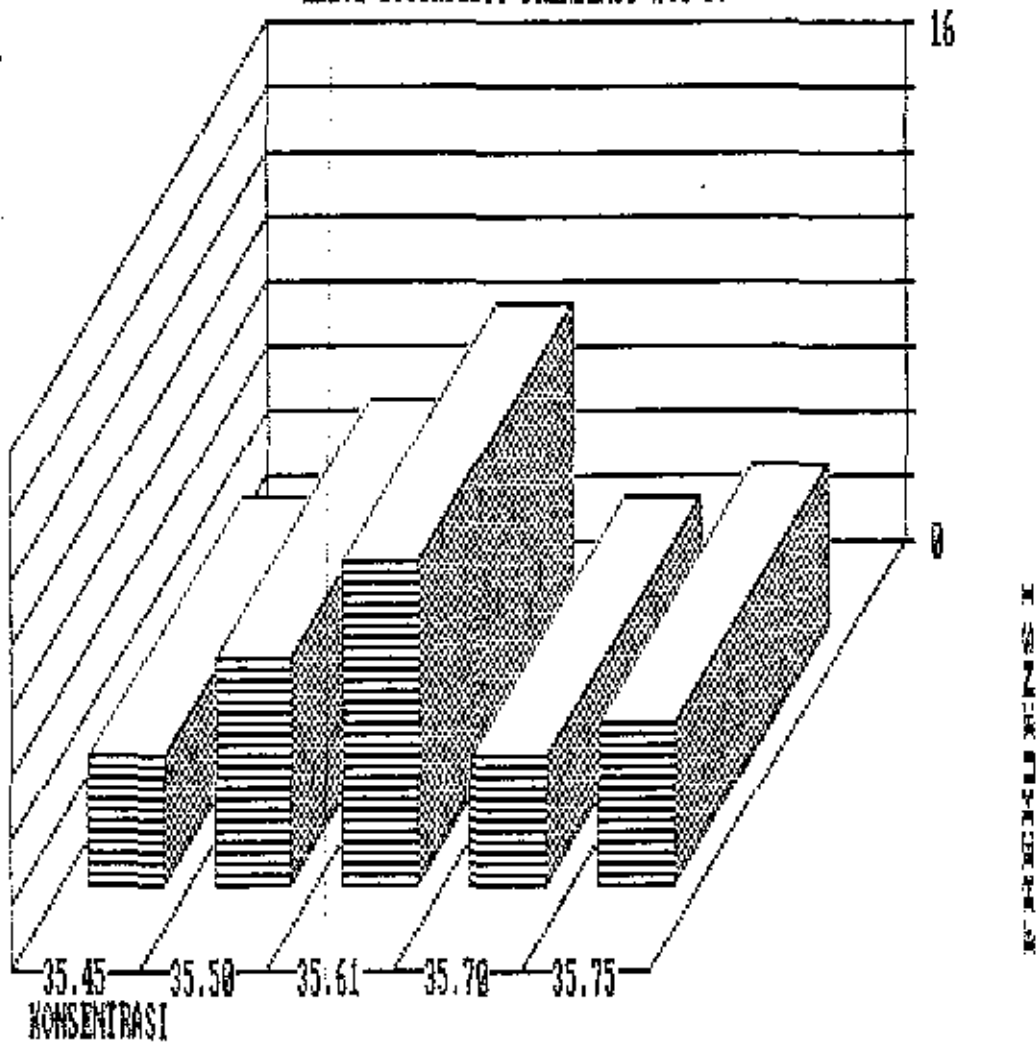
**Gambar L10.2 Control Chart N-Nitrit**

TABEL L11.1 ANALYTICAL QUALITY CONTROL PV

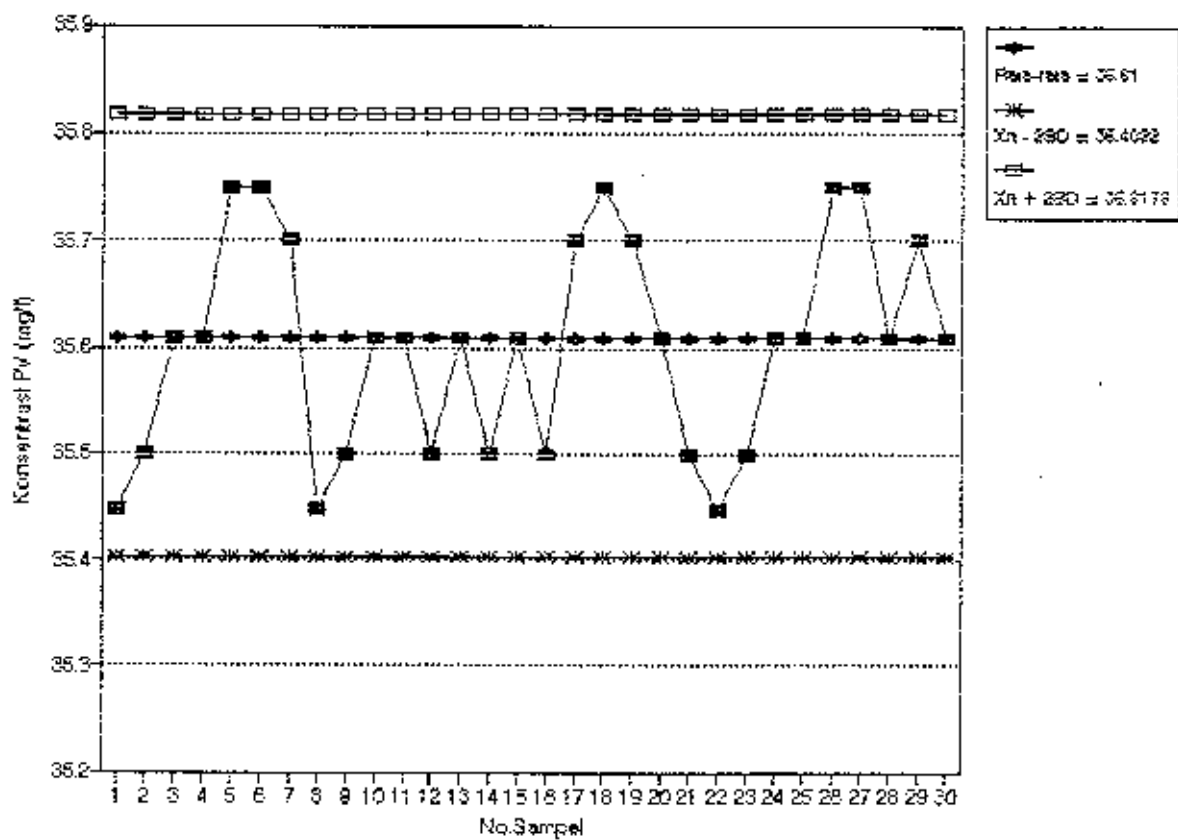
NO	VOL KHLN C4 (ml)	KONSENTRASI PV (mg/l)
1	2.800	35.45
2	2.810	35.50
3	2.820	35.61
4	2.820	35.61
5	2.830	35.75
6	2.830	35.75
7	2.824	35.70
8	2.800	35.45
9	2.810	35.50
10	2.820	35.61
11	2.820	35.61
12	2.810	35.50
13	2.800	35.45
14	2.810	35.50
15	2.820	35.61
16	2.810	35.50
17	2.824	35.70
18	2.830	35.75
19	2.824	35.70
20	2.820	35.61
21	2.810	35.50
22	2.800	35.45
23	2.810	35.50
24	2.820	35.61
25	2.820	35.61
26	2.830	35.75
27	2.830	35.75
28	2.820	35.61
29	2.824	35.70
30	2.820	35.61

Konsentrasi rata-rata PV = 35.61 mg/l

standard deviasi = 0.1039

**LIL.I DISTRIBUSI FREQUENSI ARC PV**

Gambar L11.2 Control Chart PV



## LAMPIRAN 12

### ANALYTICAL QUALITY CONTROL (AQC) BOD

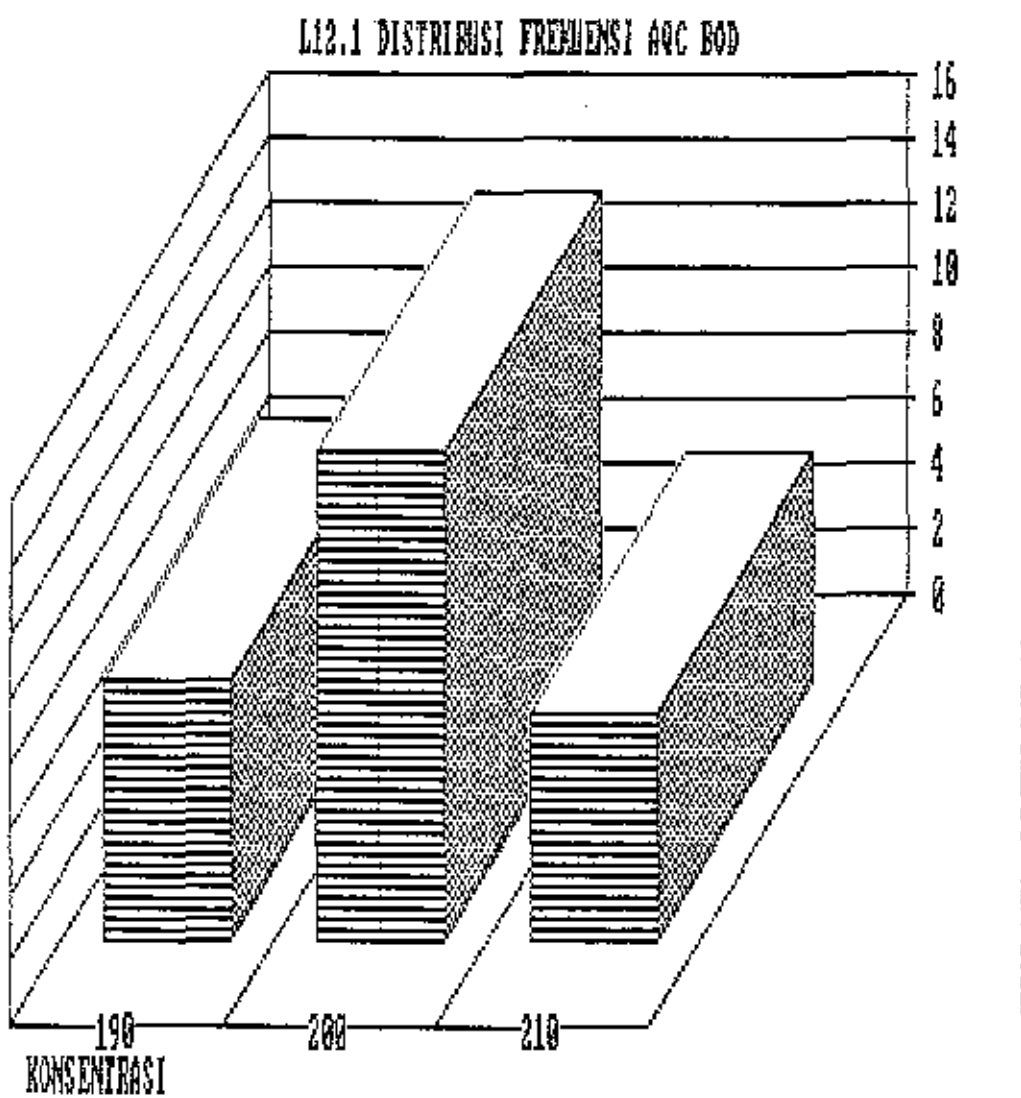
1. Menyiapkan larutan standard BOD yang nantinya akan dianalisa sesuai dengan cara kerja analisa  $\text{NH}_4^+$ . Larutan standard ini diusahakan dibuat mendekati konsentrasi sampel yang akan dianalisa untuk menambah ketelitian. Selain itu larutan harus dibuat dari bahan kimia yang pro analisa (p.a).
2. Alat-alat kimia yang akan digunakan dikalibrasi terlebih dahulu.
3. Analisa larutan standard yang telah diketahui konsentrasi dilakukan sebanyak minimal 30 kali.
4. Hitung nilai rata-rata dan standard deviasi dari data yang telah diperoleh, kemudian buatlah histogram distribusi frekuensi dan mencari ukuran akurasi dan presisi.
5. Membuat suatu control chart untuk memantau proses analisa sampel.
6. Penyebaran data disekitar nilai rata-rata pada control chart tidak melebihi batas atas ( $x + 2\sigma$ ) dan batas bawah ( $x - 2\sigma$ ).

**TABEL L12.1 ANALYTICAL QUALITY CONTROL BOD**

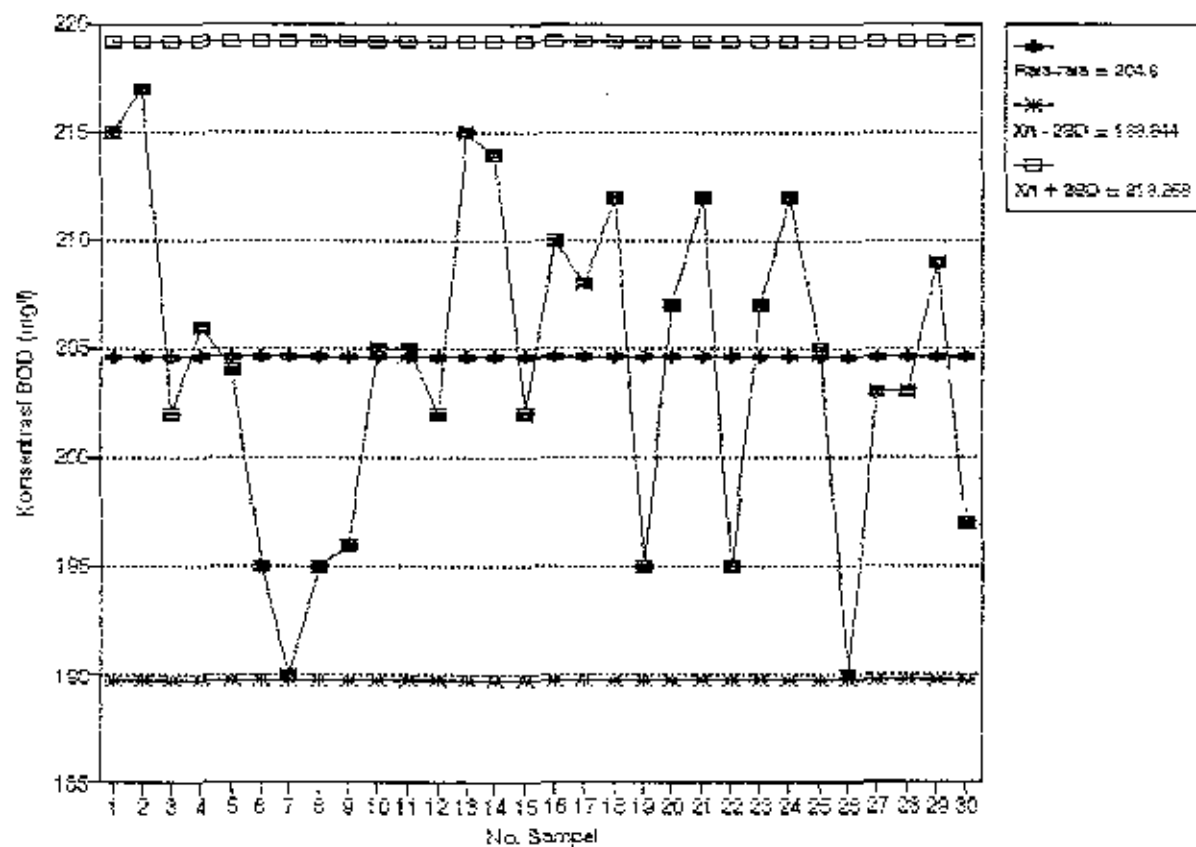
NO	KONSENTRASI BOD (mg/l)
1	215
2	217
3	202
4	206
5	204
6	195
7	190
8	195
9	196
10	205
11	205
12	202
13	215
14	214
15	202
16	210
17	208
18	212
19	195
20	207
21	212
22	195
23	207
24	212
25	205
26	190
27	203
28	203
29	209
30	197

Konsentrasi rata-rata BOD = 204,6 mg/l

Standard deviasi = 7,3278



Gambar L12.2 Control Chart BOD



## LAMPIRAN 11

### KALIBRASI ROTAMETER (FLOW UDARA)

#### ALAT-ALAT:

1. Volume meter udara dengan kapasitas tertentu
2. Flow meter udara dengan skala tertentu
3. Kompresor
4. Stopwatch

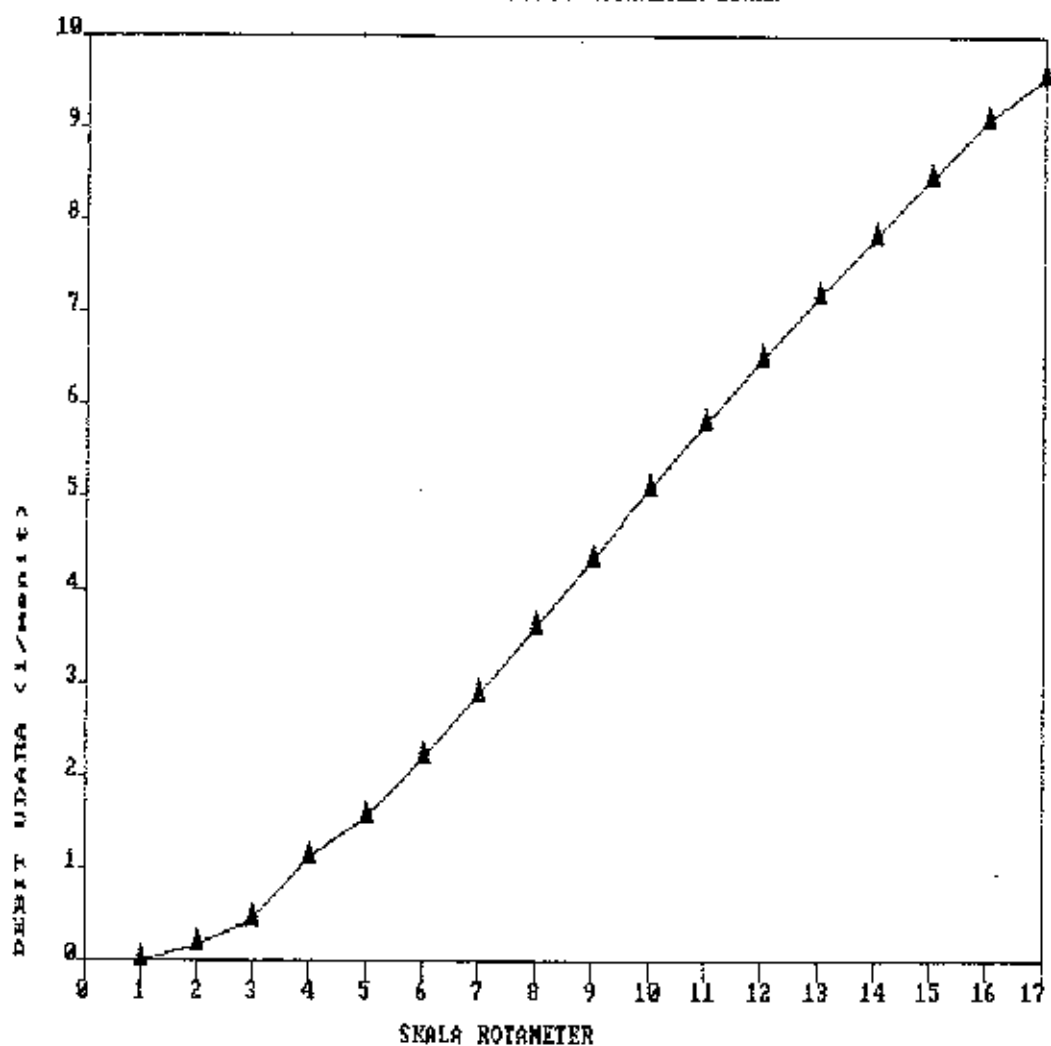
#### CARA KERJA

1. Menghubungkan flow meter udara dengan kompresor dan volume meter udara
2. Melakukan set Stop wacth untuk waktu satu menit
3. Mencatat volume meter udara yang melalui volume meter selama satu menit pada setiap skala tertentu dari flow meter
4. Melakukan sebanyak tiga kali pada setiap skala alat
5. Melakukan rata-rata hitung
6. Membuat kurva kalibrasi

TABEL L13.1 KALIBRASI ROTAMETER UDARA

SKALA ALAT	DEBIT (l/menit)
10	0,1786
15	0,4545
20	0,7979
25	1,1875
30	1,5652
40	2,1989
50	2,7942
60	3,5096
70	4,2572
80	5,0772
90	5,7964
100	6,4867
110	7,0928
120	7,8318
130	8,4639
140	9,0833
150	9,5711

GAMBAR L13.1 KALIBRASI ROTAMETER UDARA



L1341 DATA HASILE PENELITIAN

Pembatasan Loading (molar)	Konversi B30 (molar)	Konversi NH4+ (molar)	BOD/V	pH Influenza	ENI (m)
5.00	215.25	10.48	20.54	7.68	7.68
5.00	354.58	17.54	20.22	7.65	7.67
5.00	525.96	26.15	20.11	7.67	7.68
5.00	232.93	22.97	10.14	7.68	7.69
5.00	362.40	35.45	10.22	7.69	7.69
5.00	510.78	50.40	10.13	7.65	7.68
5.00	225.89	43.85	8.21	7.87	7.43
5.00	358.12	60.97	8.87	7.68	7.41
5.00	504.76	90.79	5.58	7.85	7.38
5.00	233.61	114.17	2.05	7.35	7.16
5.00	365.07	185.58	2.20	7.68	7.11
5.00	495.85	232.40	2.13	7.89	7.09
7.00	231.33	11.18	20.89	7.78	7.84
7.00	345.25	16.45	20.98	7.85	7.78
7.00	531.27	25.31	20.88	7.69	7.79
7.00	213.27	19.58	10.58	7.86	7.55
7.00	339.21	30.18	11.24	7.87	7.55
7.00	514.27	49.37	16.42	7.64	7.65
7.00	239.79	43.50	5.81	7.87	7.56
7.00	380.22	72.43	4.87	7.92	7.58
7.00	493.12	95.41	5.11	7.86	7.53
7.00	196.65	99.65	1.98	7.86	7.38
7.00	355.69	178.53	1.99	7.81	7.38
7.00	532.70	260.18	2.13	7.66	7.33
10.00	221.43	10.61	20.87	7.79	7.68
10.00	356.70	17.74	20.11	7.84	7.74
10.00	538.21	26.58	20.30	7.86	7.75
10.00	198.26	19.02	10.42	7.85	7.87
10.00	361.36	36.75	9.83	7.89	7.89
10.00	546.13	55.77	9.79	7.86	7.66
10.00	210.80	36.55	5.47	7.80	7.58
10.00	367.98	62.66	5.67	7.87	7.58
10.00	545.17	104.08	5.24	7.85	7.58
10.00	232.23	98.78	2.85	7.68	7.38
10.00	386.99	185.64	1.87	7.92	7.41
10.00	528.99	265.54	1.96	7.87	7.35

## BEL L14.3 DATA HASIL PENELITIAN

PERIOD LOADING	POLYMER ECONOMY	KONTRAKSI MANUFACTURER	COIN	KONTRAKSI ODD INFLASI (Rp)	ODD INFLASI (Rp)	COIN	KONTRAKSI ODD INFLASI (Rp)	KONTRAKSI ODD
5.00	215.25	10.48	20.64	274.00	0.77	28.16	13.00	95.28
5.00	364.68	17.64	80.82	446.00	1.28	26.43	18.00	86.28
5.00	626.98	28.16	20.11	758.00	2.08	28.86	47.00	85.84
6.00	232.93	22.87	10.14	287.00	0.84	12.93	10.00	86.63
6.00	362.40	36.45	10.52	468.00	1.25	12.58	12.00	87.37
6.00	610.73	60.40	10.13	850.00	1.84	12.80	36.00	84.82
6.00	226.68	43.36	5.21	278.00	0.79	8.41	17.00	83.88
6.00	368.12	80.97	6.87	441.00	1.25	7.23	34.00	92.28
6.00	604.78	80.73	6.58	663.00	1.86	7.20	69.00	80.88
6.00	253.91	154.17	2.06	299.00	0.84	8.91	49.00	84.56
6.00	365.07	186.59	2.20	443.00	1.25	2.89	68.00	87.38
6.00	486.86	232.49	2.15	824.00	1.78	2.88	82.00	88.88
7.00	231.33	11.13	20.68	283.00	1.12	26.22	14.00	95.04
7.00	346.25	18.45	20.88	413.00	1.84	25.11	30.00	86.18
7.00	631.27	26.35	20.89	860.00	2.68	25.88	14.00	87.88
7.00	215.27	18.63	10.89	286.00	1.08	13.69	11.00	86.88
7.00	338.21	30.18	11.24	428.00	1.70	14.18	14.00	98.73
7.00	614.27	49.37	10.42	848.00	2.68	13.18	30.00	96.38
7.00	238.78	43.60	5.61	288.00	1.18	8.80	25.00	82.23
7.00	360.22	72.43	4.87	460.00	1.83	8.35	46.00	80.22
7.00	483.12	98.41	5.11	830.00	2.60	8.63	91.00	87.14
7.00	188.68	88.86	1.98	247.00	0.98	2.47	44.00	82.18
7.00	366.09	172.63	1.89	453.00	1.72	2.43	74.00	82.81
7.00	632.70	260.16	2.13	864.00	2.84	2.86	117.00	82.38
10.00	221.43	10.81	20.87	278.00	1.68	26.30	22.00	82.11
10.00	368.70	17.74	20.11	444.00	2.61	26.03	63.00	83.06
10.00	638.21	28.68	20.30	879.00	3.84	26.86	98.00	87.04
10.00	198.26	18.02	10.42	241.00	1.38	12.87	16.00	83.58
10.00	361.38	38.76	9.83	457.00	2.69	12.44	46.00	90.15
10.00	646.13	65.77	9.78	868.00	3.78	12.00	84.00	86.86
10.00	210.80	38.63	6.47	262.00	1.43	8.64	28.00	88.48
10.00	367.99	62.06	6.87	466.00	2.67	7.26	85.00	88.71
10.00	646.17	104.09	6.24	888.00	3.89	8.81	137.00	80.08
10.00	232.23	99.73	2.36	283.00	1.88	2.87	71.00	78.77
10.00	368.66	186.64	1.87	468.00	2.68	2.46	88.00	76.28
10.00	626.98	285.64	1.88	848.00	3.86	2.45	188.00	70.74

## LAMPIRAN 15

## CONTOH PERHITUNGAN KEBUTUHAN UDARA DALAM REAKTOR

Pada penelitian ini, debit udara yang digunakan konstan yaitu 2,2 l/menit.

Jika diketahui  $\rho$  udara = 1164,8 mg/l dengan kandungan oksigen 21% dan efisiensi transfer oksigen diasumsikan sebesar 10% (efisiensi transfer oksigen antara 10-30%), maka:

$$\begin{aligned}\text{Massa udara influen} &= Q \text{ udara} \times \rho \\ &= 2,2 \text{ l/menit} \times 1164,8 \text{ mg/l} \times 0,21 \times 0,1 \\ &= 53,82 \text{ mg Oz/menit}\end{aligned}$$

Untuk debit air sebesar 1,85 ml/detik (0,11 l/menit), kebutuhan oksigen reaktor adalah:

$$\begin{aligned}\text{Kebutuhan oksigen reaktor} &= DO_{in} - DO_{eff} + O_2 \text{ transfer} \\ &= [(0,3 - 5,12) \times 0,11 + 53,82] \\ &= 53,28 \text{ mg Oz/menit}\end{aligned}$$

## LAMPIRAN 11

### ANALYTICAL QUALITY CONTROL (AQC) PV

1. Menyiapkan larutan PV dengan konsentrasi yang sama yang nantinya akan dianalisa sesuai dengan cara kerja analisa PV. Larutan standard ini diusahakan dibuat mendekati konsentrasi sampel yang akan dianalisa untuk menambah ketelitian. Selain itu larutan harus dibuat dari bahan kimia yang pro analisa (p.a).
2. Alat-alat kimia yang akan digunakan dikalibrasi terlebih dahulu.
3. Analisa larutan standard yang telah diketahui konsentrasi dilakukan sebanyak minimal 30 kali.
4. Hitung nilai rata-rata dan standard deviasi dari data yang telah diperoleh, kemudian buatlah histogram distribusi frekuensi dan mencari ukuran akurasi dan presisi.
5. Membuat suatu control chart untuk memantau proses analisa sampel.
6. Penyebaran data disekitar nilai rata-rata pada control chart tidak melebihi batas atas ( $\bar{x} + 2\sigma$ ) dan batas bawah ( $\bar{x} - 2\sigma$ ).